

Tektonika a říční systém

- ▷ Odraz tektonických procesů v říčním systému, následná zvýšená eroze a akumulace, asymetrie povodí, tvar údolní sítě
- ▷ Analýza fluviálních tvarů reliéfu porušených tektonickými pohyby - říční terasy, analýza podélných a příčných profilů vodních toků
- ▷ Analýza okrajových zlomových svahů pohoří
- ▷ Zlomové svahy, jejich vývoj, degradace, možnosti jejich datování

Morfostrukturální analýza

- Tektonická geomorfologie používá metody **morfostrukturální analýzy**:
 - Analýza vztahu mezi **geologickou strukturou** (litologie, struktura - zlomy, vrásy) a **reliéfem =>** vliv podloží

Strukturní reliéf podmíněný úložnými poměry a selektivním zvětráváním a erozí



strukturní hřbet,
skalní stěna



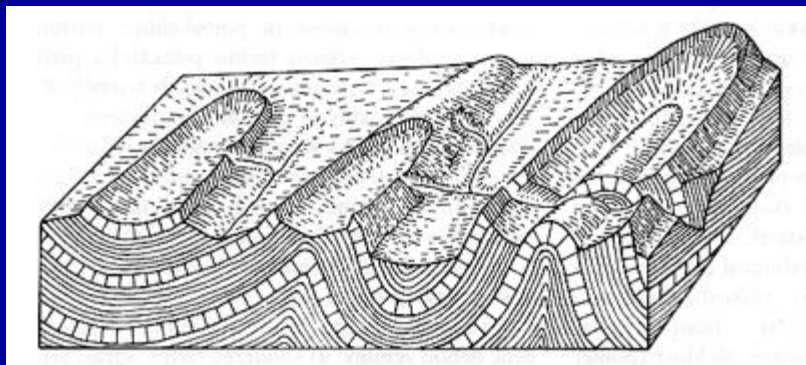
strukturní plošiny a
stolové hory - mesa (šp.
stůl)



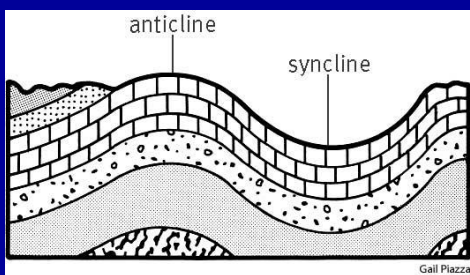
skalní římsy a převisy

Morfostrukturální analýza

- ▷ Tektonická geomorfologie používá metody **morfostrukturální analýzy**:
 - Analýza vztahu mezi geologickou strukturou (litologie, struktura - zlomy, vrásy) a reliéfem
- ▷ **Strukturní reliéf** podmíněný tektonickými pohyby – tektonický reliéf
- ▷ Konformní vrássový reliéf – synklinální údolí, antiklinální hřbety



Inverzní reliéf



morfostrukturní analýza reliéfu

= celkové zhodnocení vztahů mezi geologickými strukturami a reliéfem



Morfostruktura - část horninového prostředí s jednotným vývojem a strukturními vlastnostmi, maximálně homogenní uvnitř a odlišná od okolí (např. část pohoří se stejnou rychlosí výzdvihu.....)



pasivní morfostruktura - horninová stavba a starší tektonika

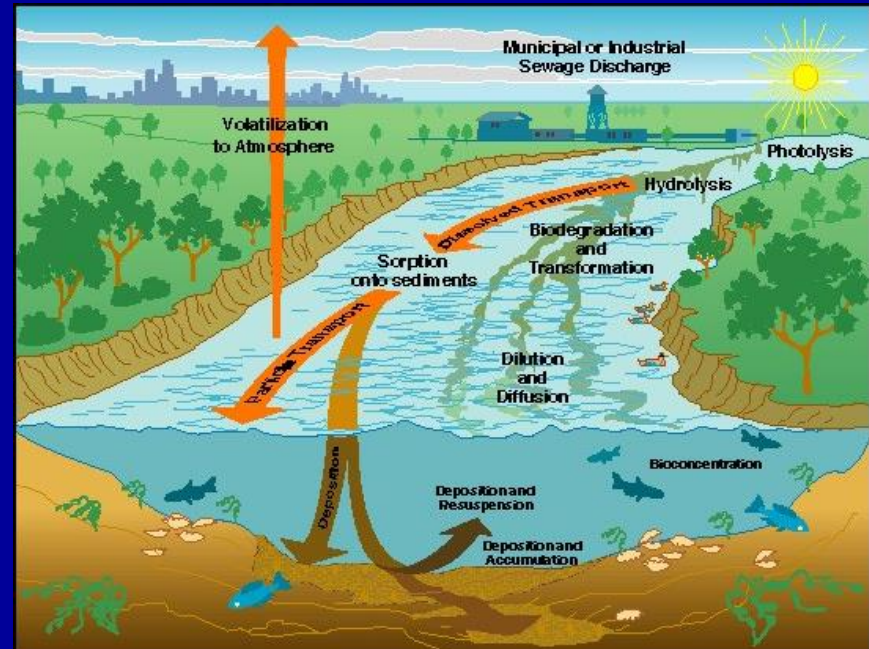


aktivní morfostruktura - mladá a současná tektonika všeho druhu, současné vulkány



Tektonické tvary reliéfu X tvary tektonikou ovlivněné

- ▷ Odraz tektonických procesů v **říčním systému**
- ▷ Údolní systém reaguje citlivě na procesy jak endogenního, tak exogenního původu - jeho analýza může obsahovat užitečné informace o neotektonické aktivitě (vertikální pohyby) – začátek analýzy
- ▷ Vodní toky - parametry šířka a hloubka koryta, množství transportovaného materiálu, plaveniny v suspenzi, dnové splaveniny, sklon koryta, sinuosita (křivolakost) koryta, rychlosť proudění atd.
 - tyto parametry jsou v rovnováze v říčním systému – citlivé na jakoukoliv změnu



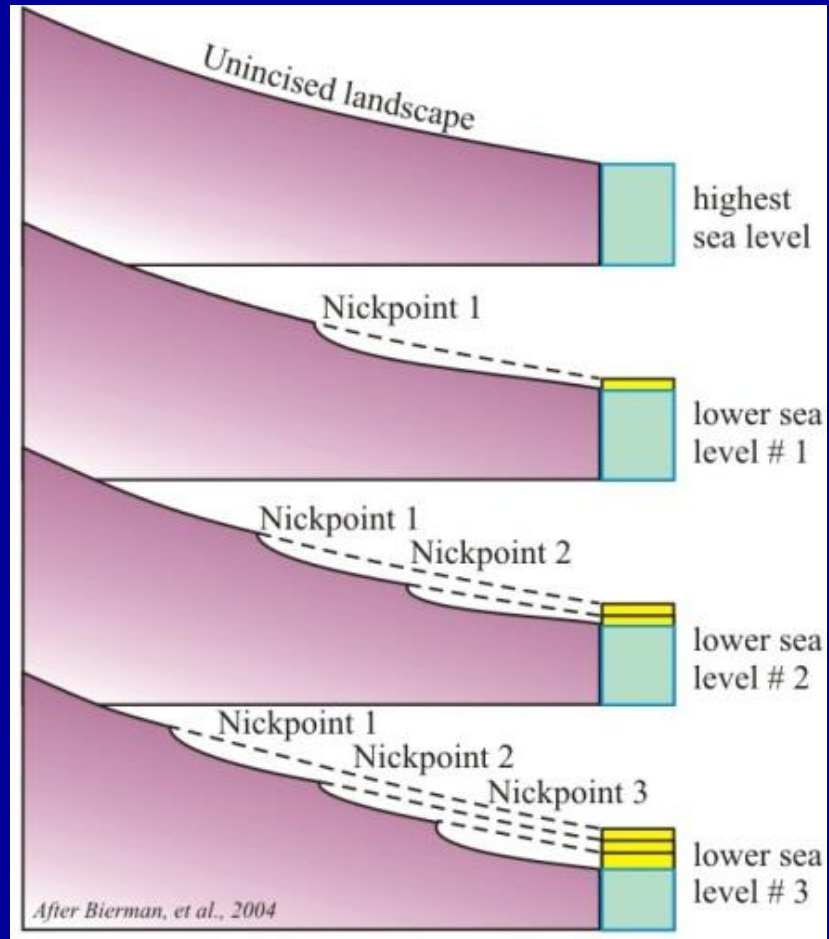
Odraz tektonických procesů v říčním systému

- Klimatické změny v kvartéru (2,6 mil let) – hluboký efekt na říční systém – globální změny hladiny světového oceánu způsobily ve velkém měřítku cykly agradace (akumulace) a degradace (eroze)



= změna erozní báze -

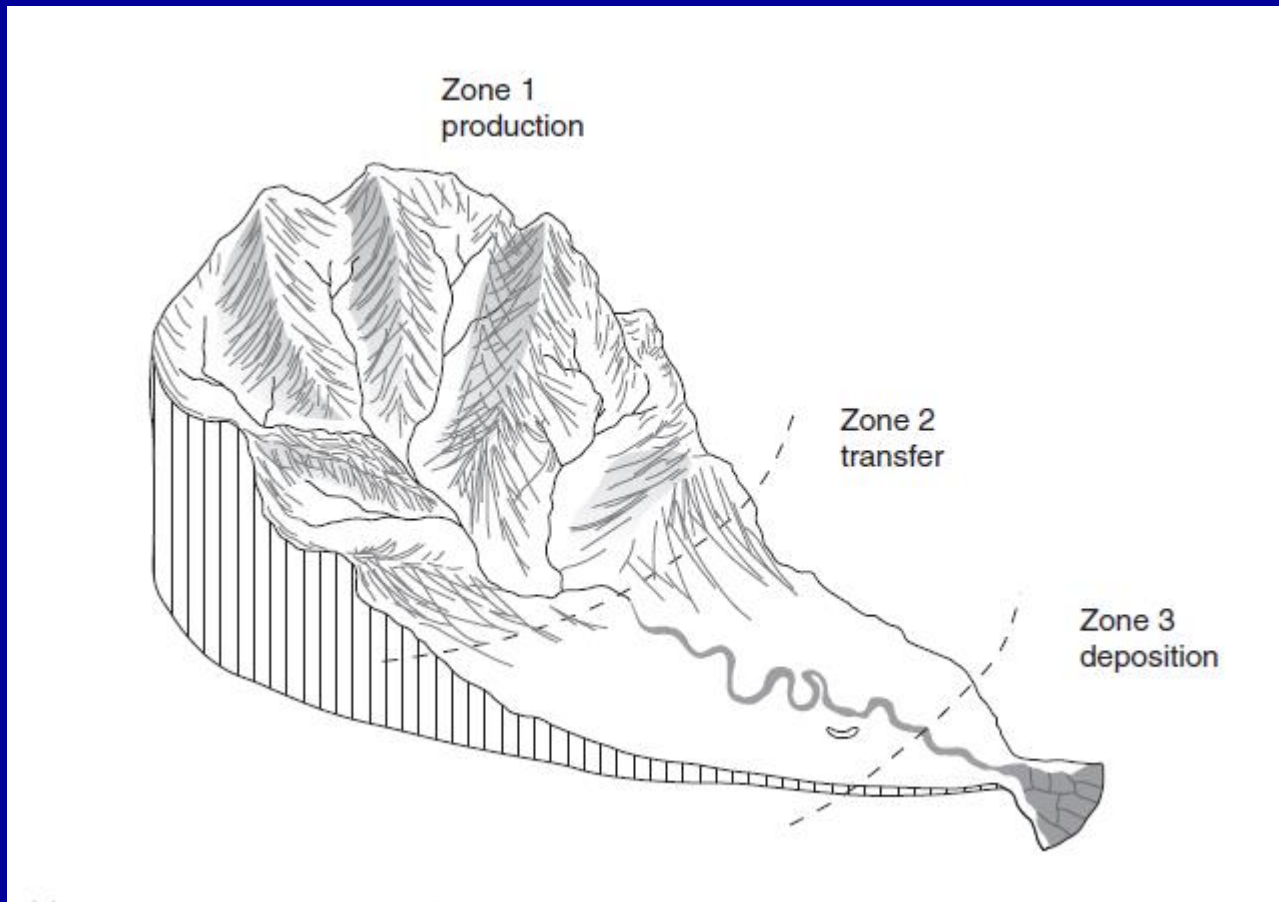
nejnižší bod říčního toku, pod kterým již řeka nemůže erodovat (lokální erozní báze – na toku; mořská hladina)



Odrázek tektonických procesů v říčním systému



Fluviální procesy: eroze, transport, akumulace



Odraz tektonických procesů v říčním systému

Typy řek podle množství unášeného materiálu

- ▷ **Alluvial rivers** – parametry jako drsnost koryta, viskozita, tření, sklon koryta atd. nedovolují odnášet materiál, řeky tečou ve svých náplavech
 - citlivější k tektonickým pohybům
- ▷ **Bedrock rivers** – materiál je transportován pryč, řeky tečou v obnaženém skalním podkladu
 - méně citlivé na tektoniku, trvá to dlouho než se takový tok přizpůsobí, projevy tektoniky jsou maskovány lokálními rozdíly v odolnosti hornin a struktuře
- ▷ **Graded river** (řeka s vyrovnanou spádovou křivkou) – ve stavu dynamické rovnováhy, pouze transportuje materiál, neeroduje ani neakumuluje

Alluvial rivers – citlivé na jakoukoliv změnu parametrů a reagují rychle, může v nich být zaznamenána aktivní tektonika z nedávné minulosti

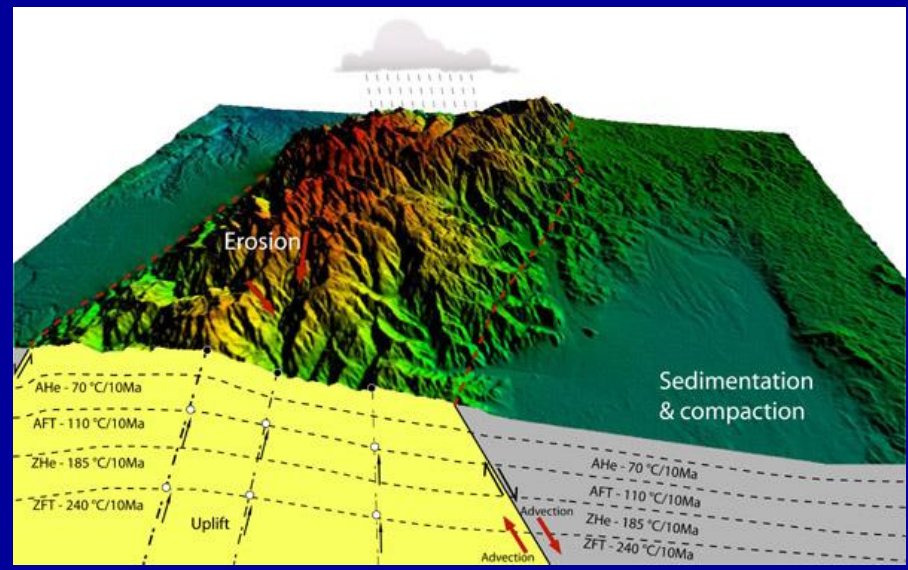
Odraz tektonických procesů v říčním systému

Akumulace a eroze

- ▷ **Tektonický výzdvih** – vyvolává zvýšenou erozi, nebo redukce ukládání
 - vyšší eroze = větší množství dostupného materiálu, náhlé zhrubnutí sedimentů v sekvencích náplavových kuželů

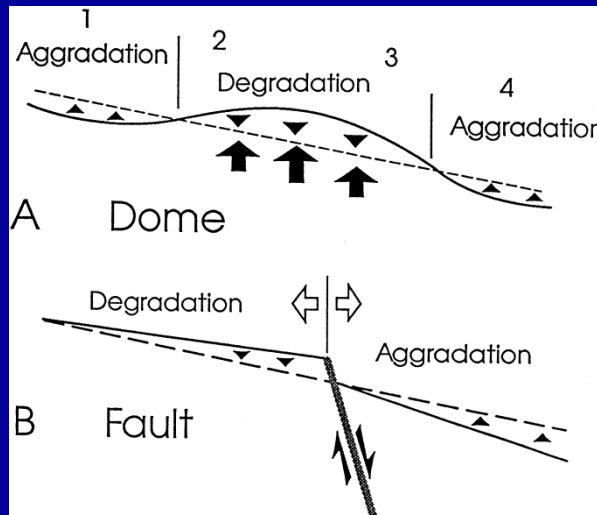
V oblastech s vysokou topografií (hory) – přínos materiálu je největší

V částech s normálními úložnými poměry – ztenčování mocnosti sedimentů poukazuje na výzdvih



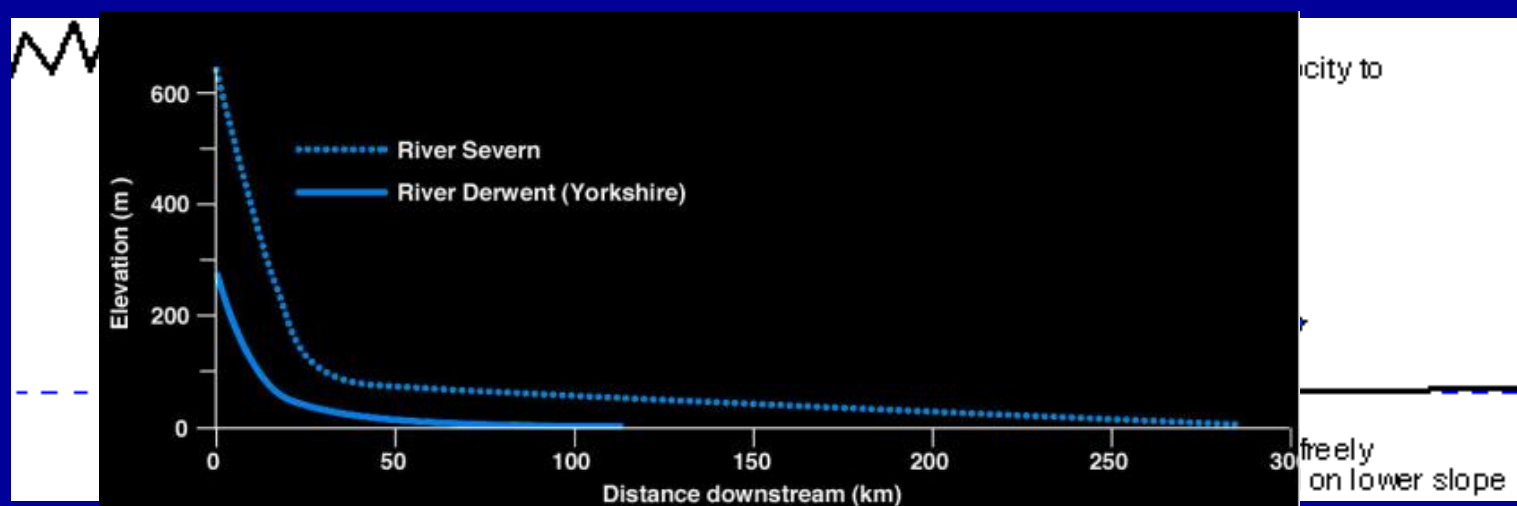
Odražení tektonických procesů v říčním systému

- Subsidence, pokles – podporuje sedimentaci nebo přinejmenším již zvyšuje existující akumulaci



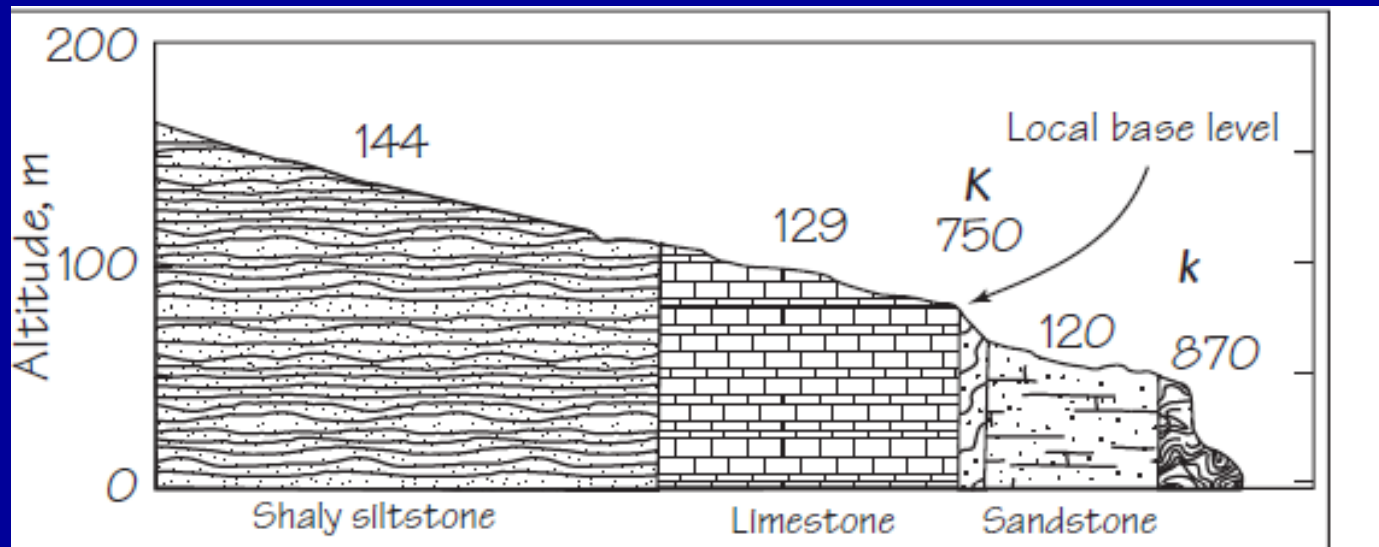
- Změny se projeví obvykle v podélném profilu toku – spádové křivce
Tektonika v regionálním měřítku - tvar křivky
lokální měřítko – anomálie, lomy ve spádu

Graded river – konkávní tvar



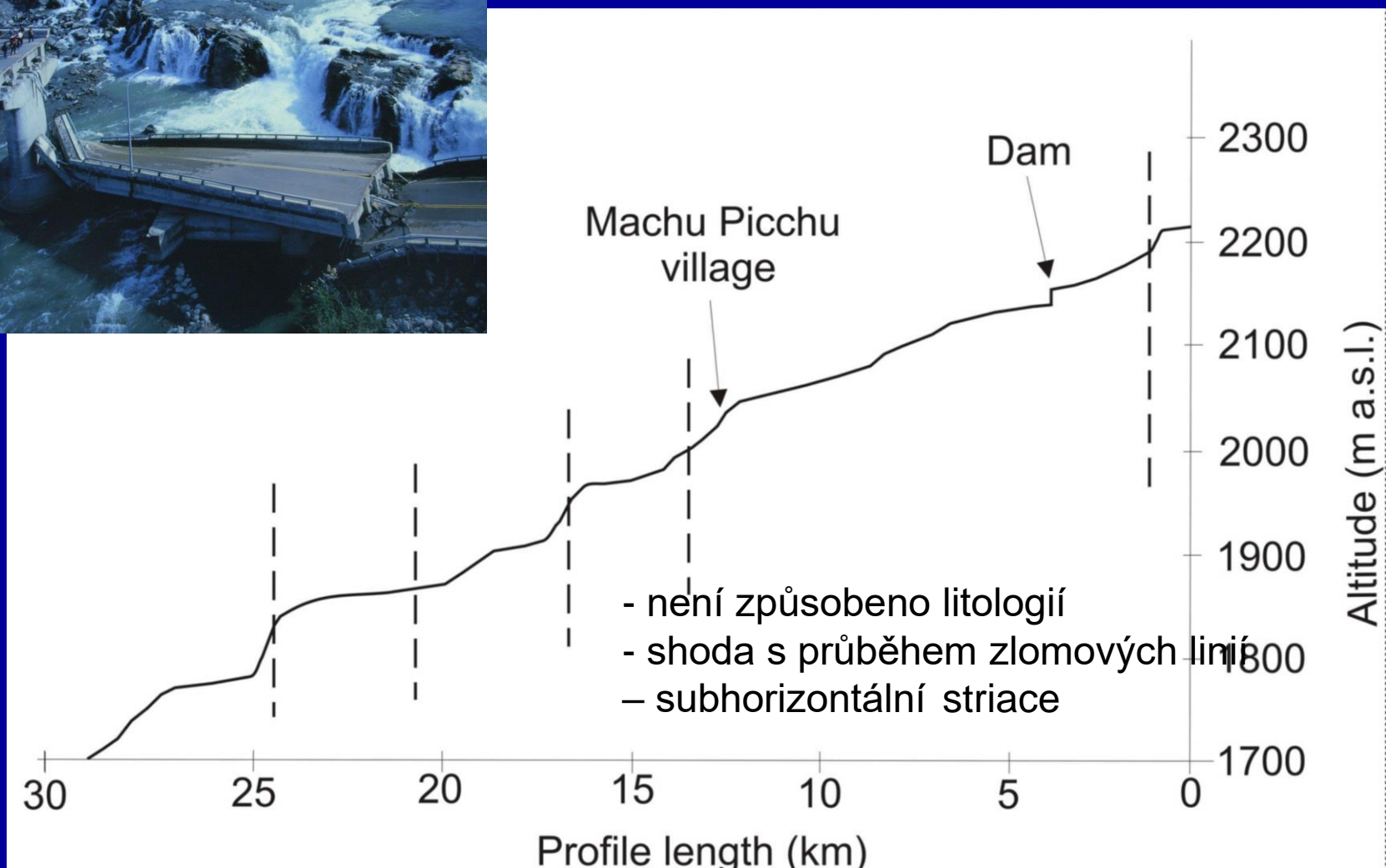
Odraz tektonických procesů v říčním systému

- !! příčiny anomálií (**knickpoint**) na spádové křivce různého původu:
 - odolnější souvrství / hornina
 - zahlubování hlavního toku (až zavěšené údolí)
 - dosah zpětné eroze
 - tektonické pohyby
 - změna vodnosti (např. přítok)
 - změna množství unášeného materiálu (sesuv, břehová eroze)
 - antropogenní vlivy



Lom ve spádu litologicky podmíněný

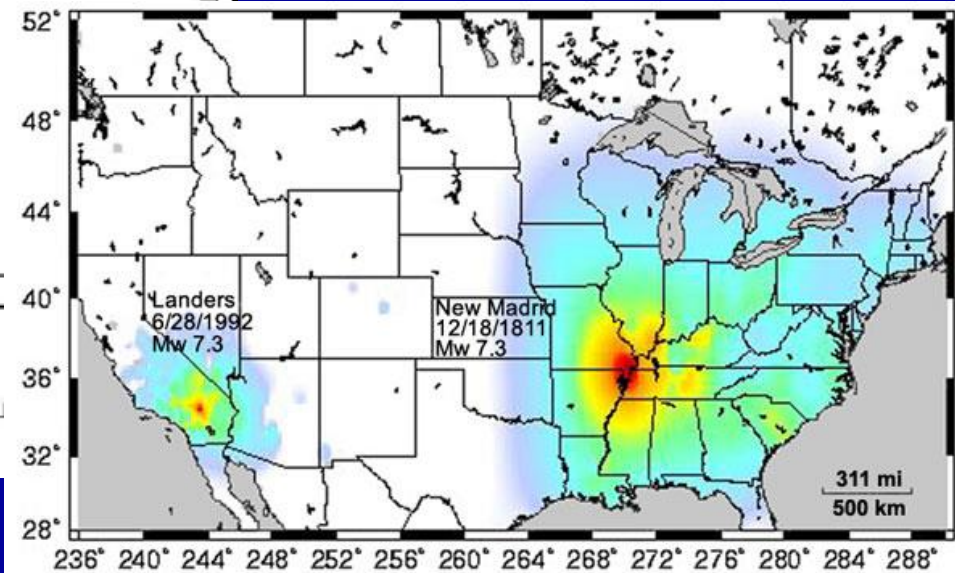
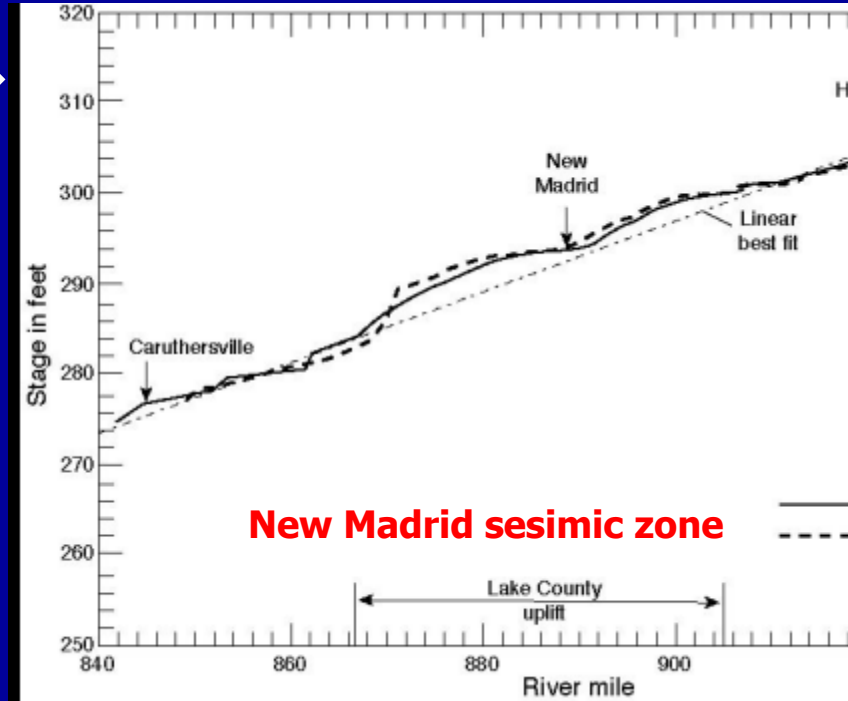
Odražení tektonických procesů v říčním systému



Anomálie tektonicky podmíněné

Odraž tektonických procesů v říčním systému

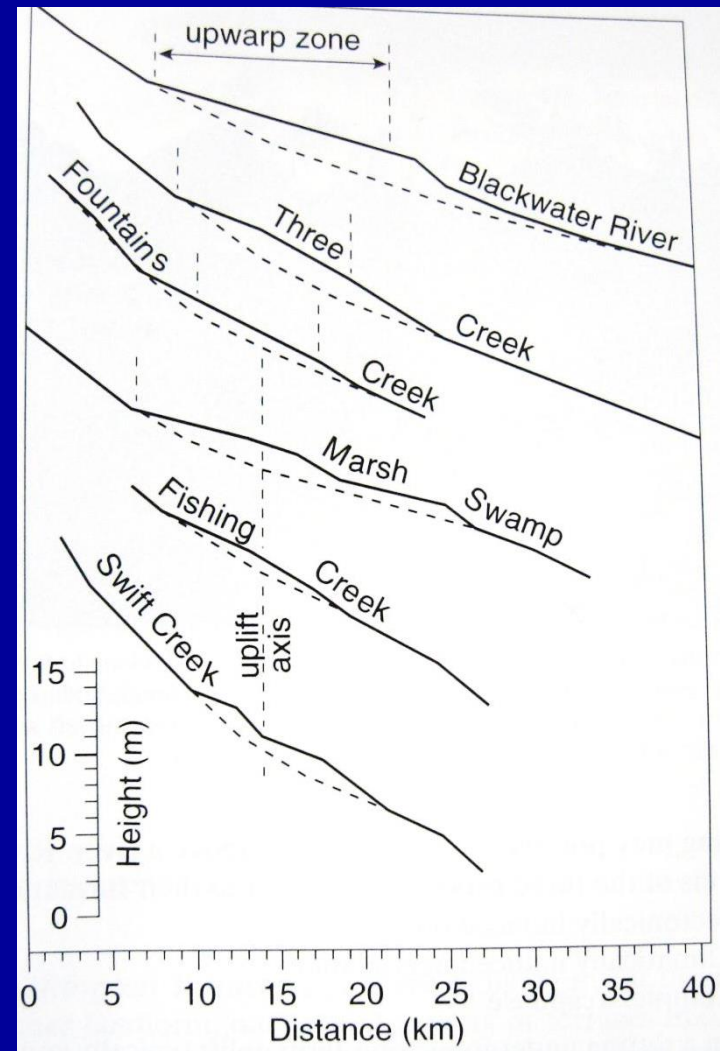
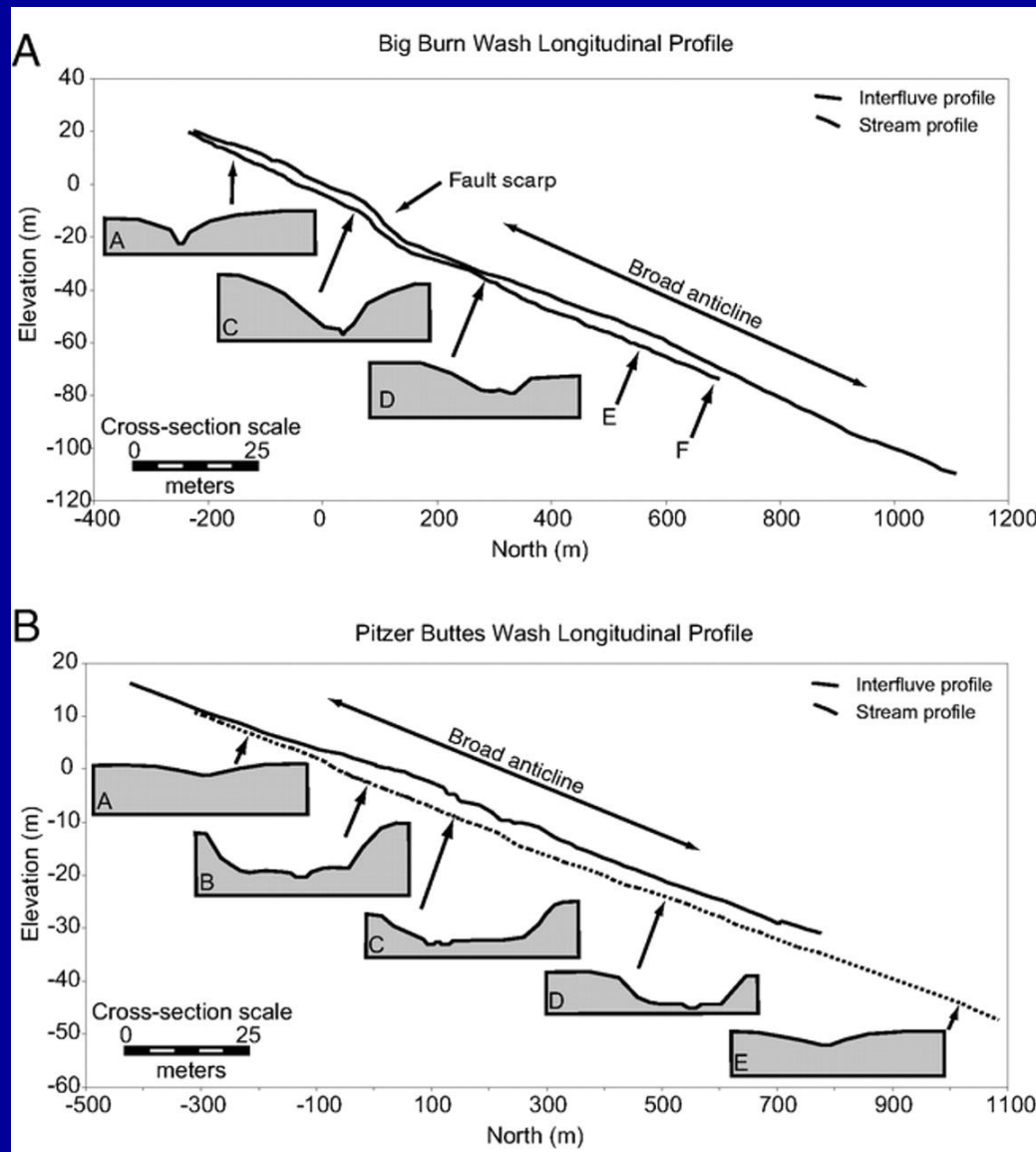
- New Madrid 1811-1812 – během měsíce 4 velká zemětřesení $M = 7-8$
Velké regionální změny v reliéfu – poklesy a výzdvihy území, trhliny, sesuvy...



Současný podélní profil – jako odpověď na výzdvih

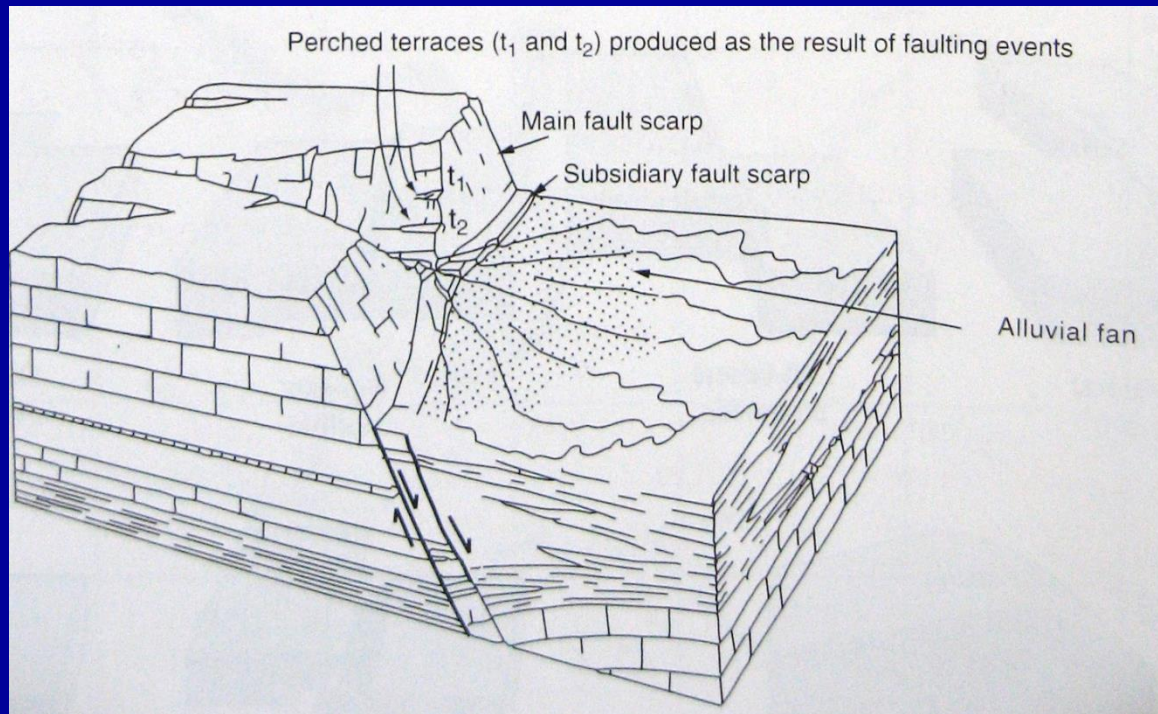
PERCEIVED SHAKING	Not felt	Weak	Light	Moderate	Strong	Very strong	Severe	Violent	Extreme
POTENTIAL DAMAGE	None	None	None	Very light	Light	Moderate	Mod./Heavy	Heavy	Very Heavy
PEAK ACC.	<.17	.17-1.4	1.4-3.9	3.9-9.2	9.2-18	18-34	34-65	65-124	>124
PEAK VELOCITY	<0.1	0.1-1.1	1.1-3.4	3.4-8.1	8.1-16	16-31	31-60	60-116	>116
INSTRUMENTAL INTENSITY	I	II-III	IV	V	VI	VII	VIII	IX	X+

Odraz tektonických procesů v říčním systému



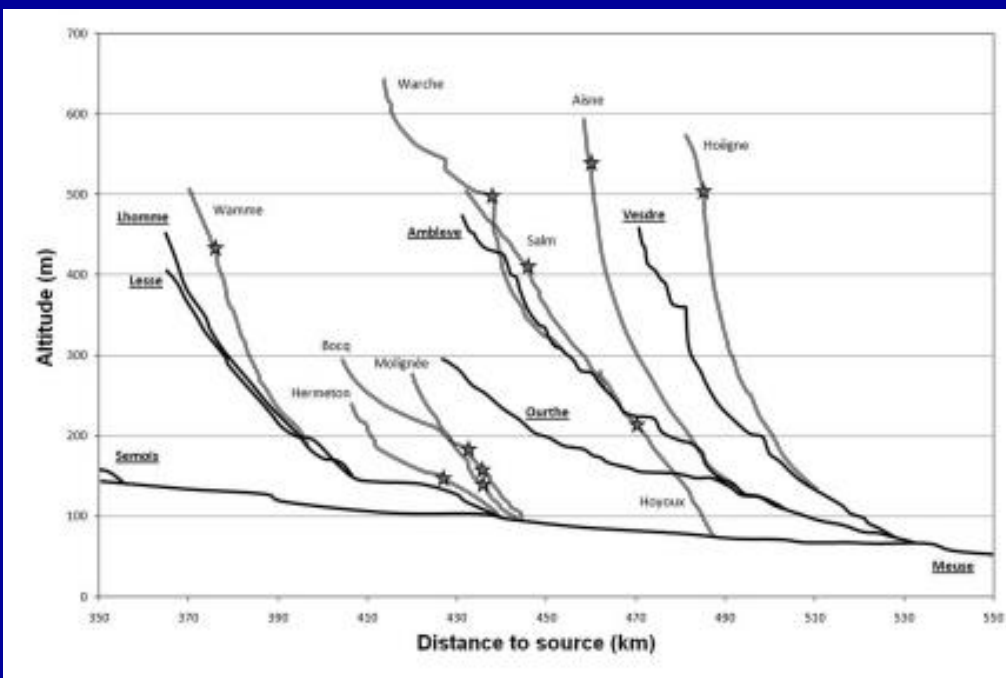
Série toků na US atlantickém pobřeží ukazující vyklenování

Změny v příčných profilech

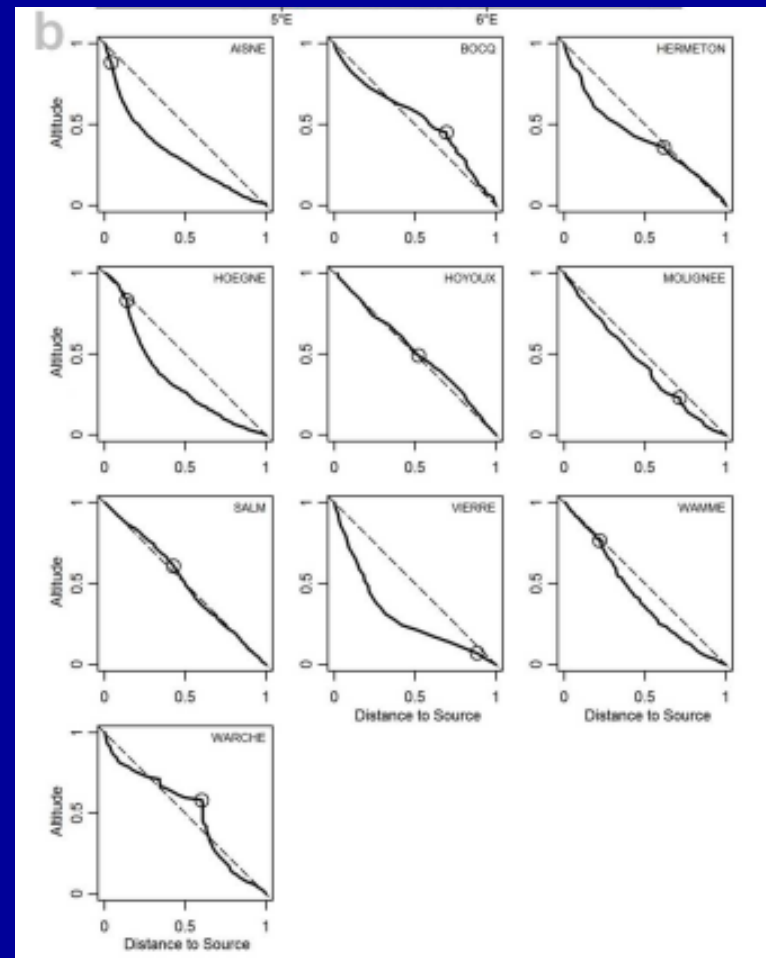


Odraž tektonických procesů v říčním systému

- Tvar spádové křivky – odráží regionální tektoniku
- Konvexita profilu
- Řeky tektonicky neovlivňované mají konkávní profil
 - odchylky: litologie říčního dna, odlišná rychlosť výzdvihu



Index konkavity



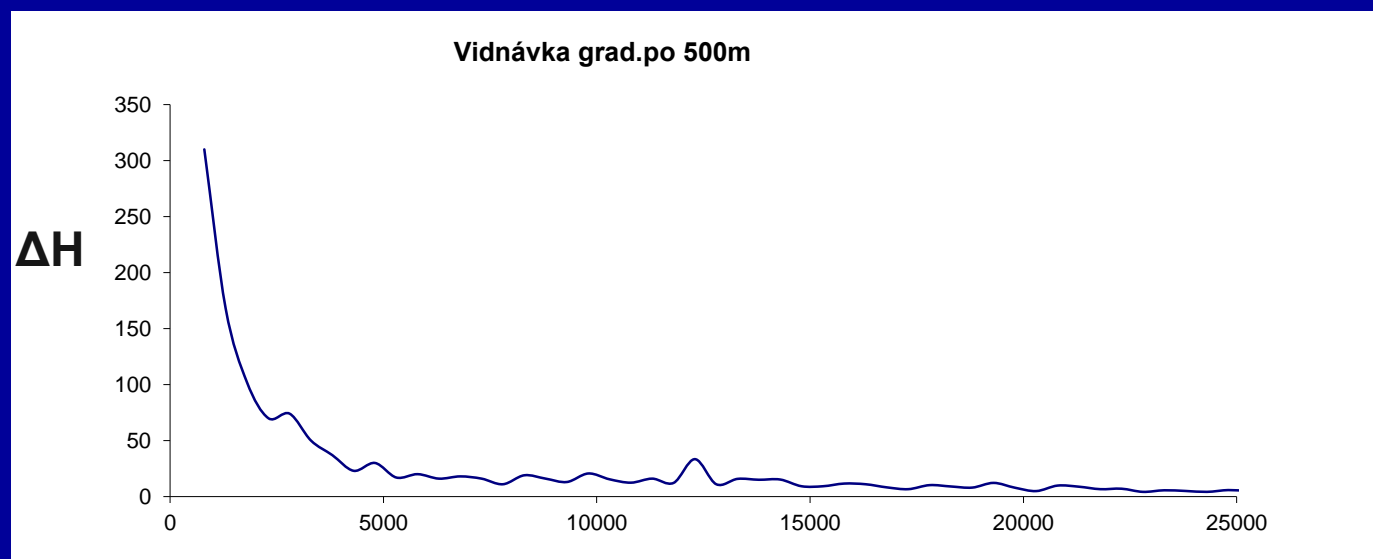
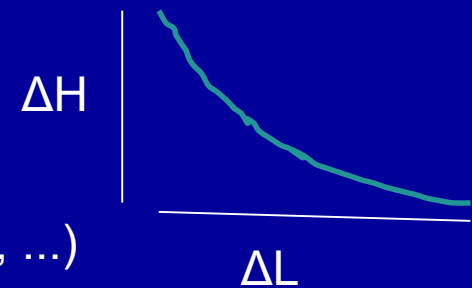
Normalizované podélné profily

Odražení tektonických procesů v říčním systému

- Analýza toků – několik metod – sestrojení podélného profilu, gradient, SL gradient, konvexita

- Gradient** – m/km $= (\Delta H / \Delta L)$

ΔL ... délka úseku (zvoleno konstantně např. 100 m, 500m, ...)



vzdálenost od pramene

Odraz tektonických procesů v říčním systému

□ SL-index (stream-length gradient) (Hack (1973))

indikátor anomalií v podélném profilu

$$SL = (\Delta H / \Delta L) * L$$

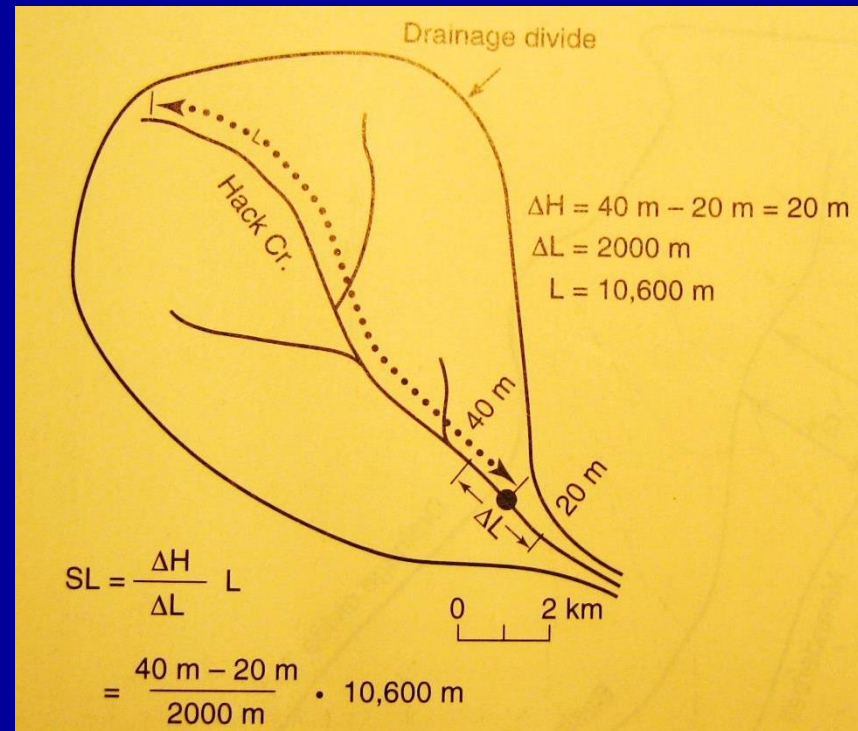
ΔH ... převýšení v rámci jednoho úseku,

ΔL ... délka úseku (zvoleno konstantně např. 100 m)

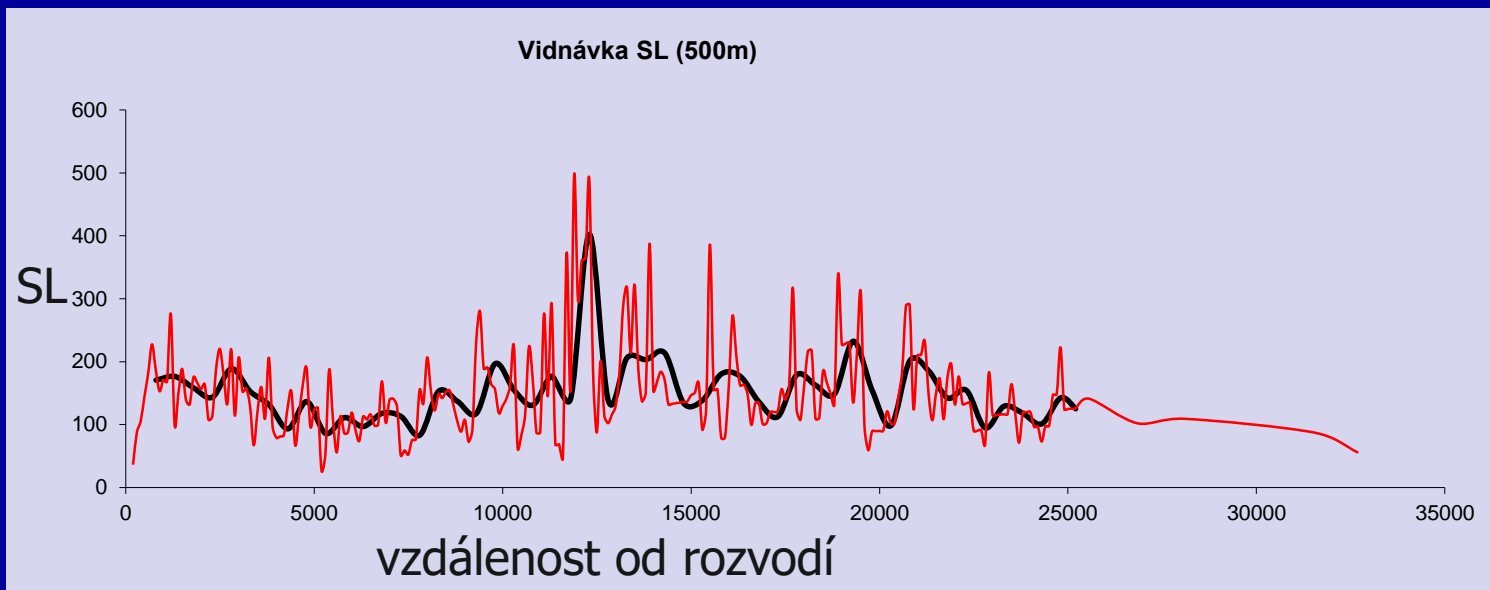
L ... vzdálenost středu úseku od rozvodí

Existuje vztah mezi průtokem, plochou povodí a délkou toku.

Dál od pramene – menší gradient, větší průtok – u SL – zohledněna vzdálenost od pramene



Odraz tektonických procesů v říčním systému

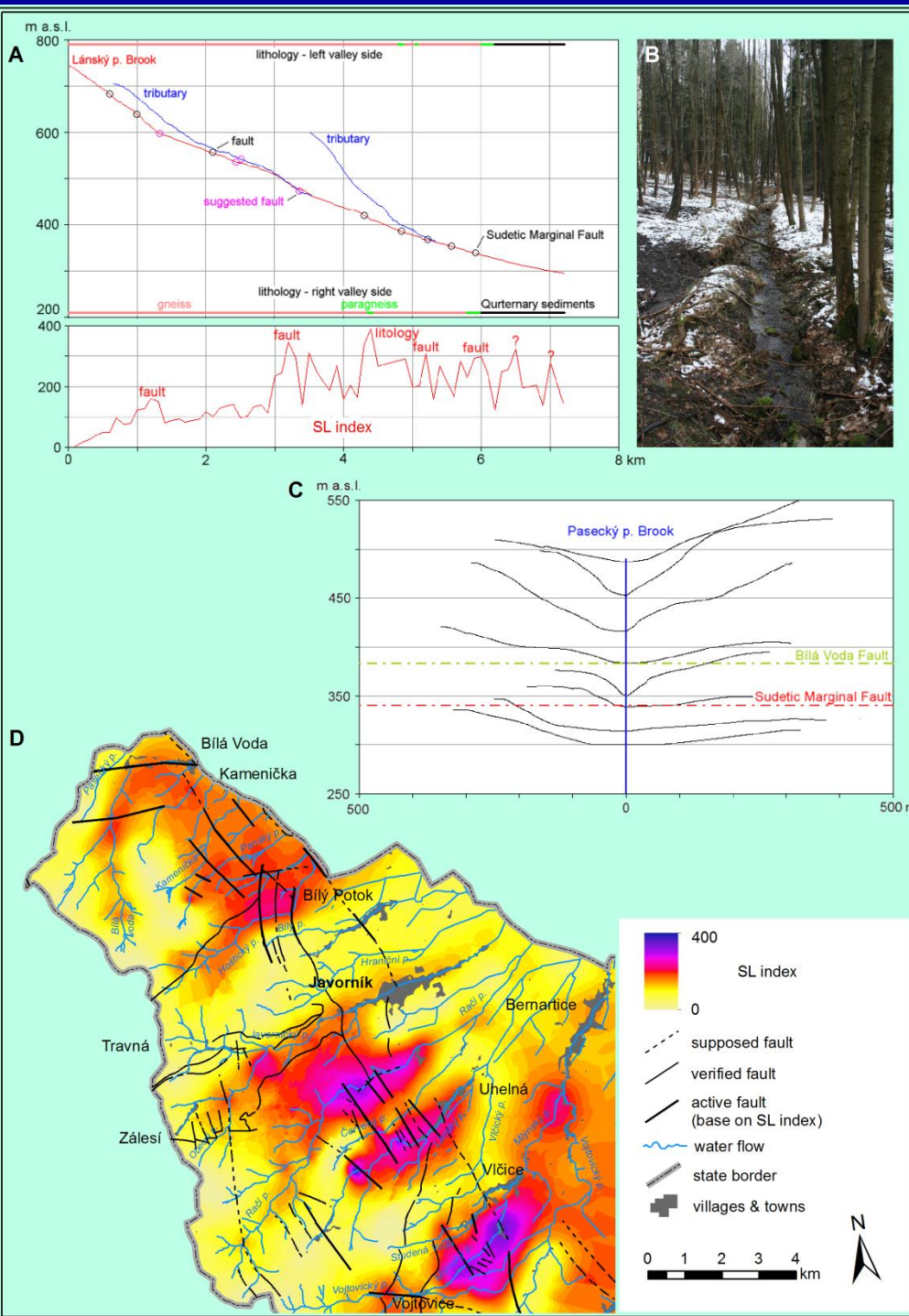


U řek s vyrovnanou spádovou křivkou SL index podél toku téměř konstatní

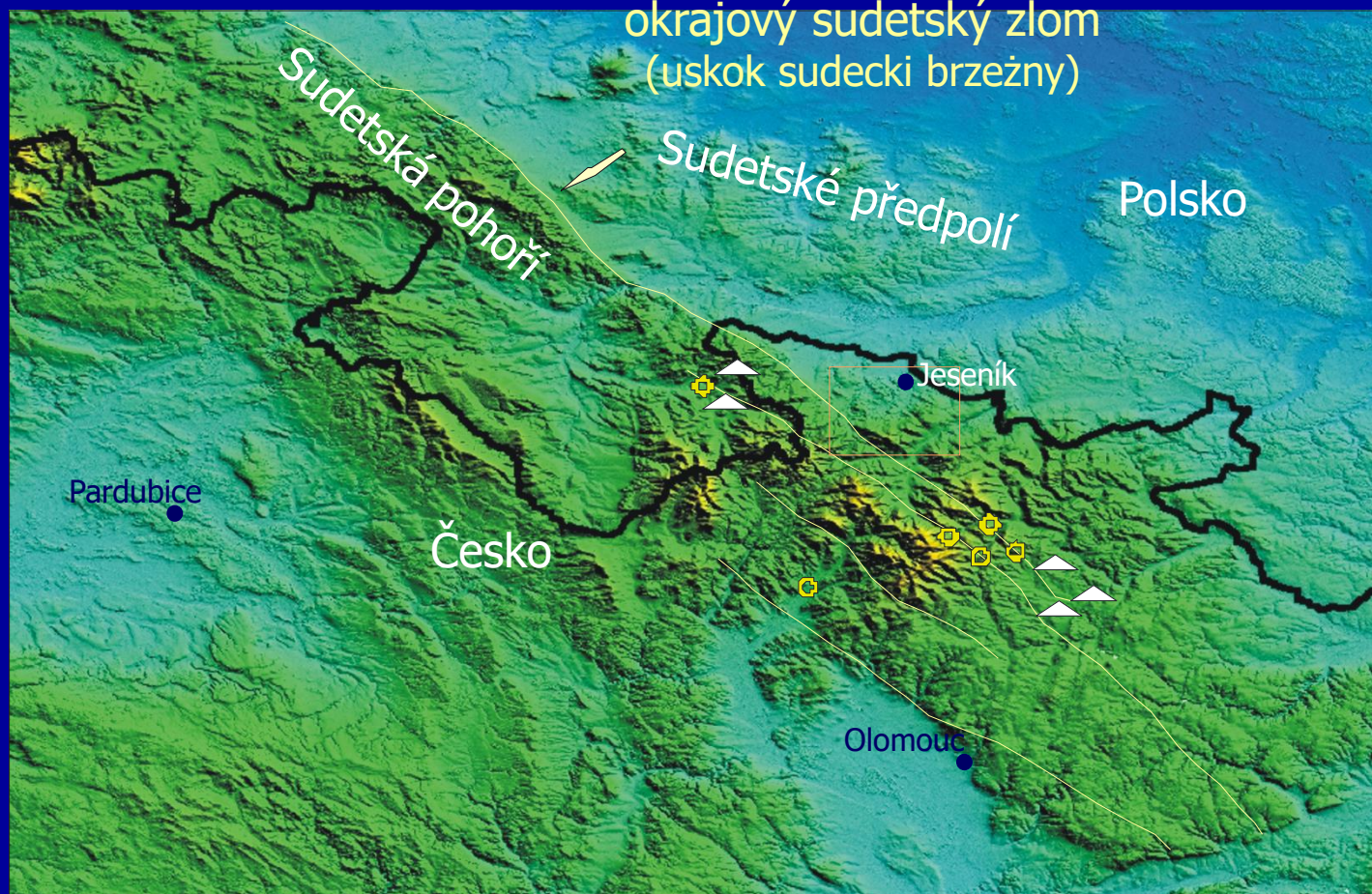
⇒ Změny v hodnotách mohou odrážet:

- litologický přechod
- tektonickou aktivitu
- lokální změny - dosah zpětné eroze,
 - soutok podobně vodních toků
 - antropogenní ovlivnění

Citlivost SL indexu na změny ve spádu toku umožňují hodnotit vztah mezi tektonickou aktivitou, odolností podloží a topografií



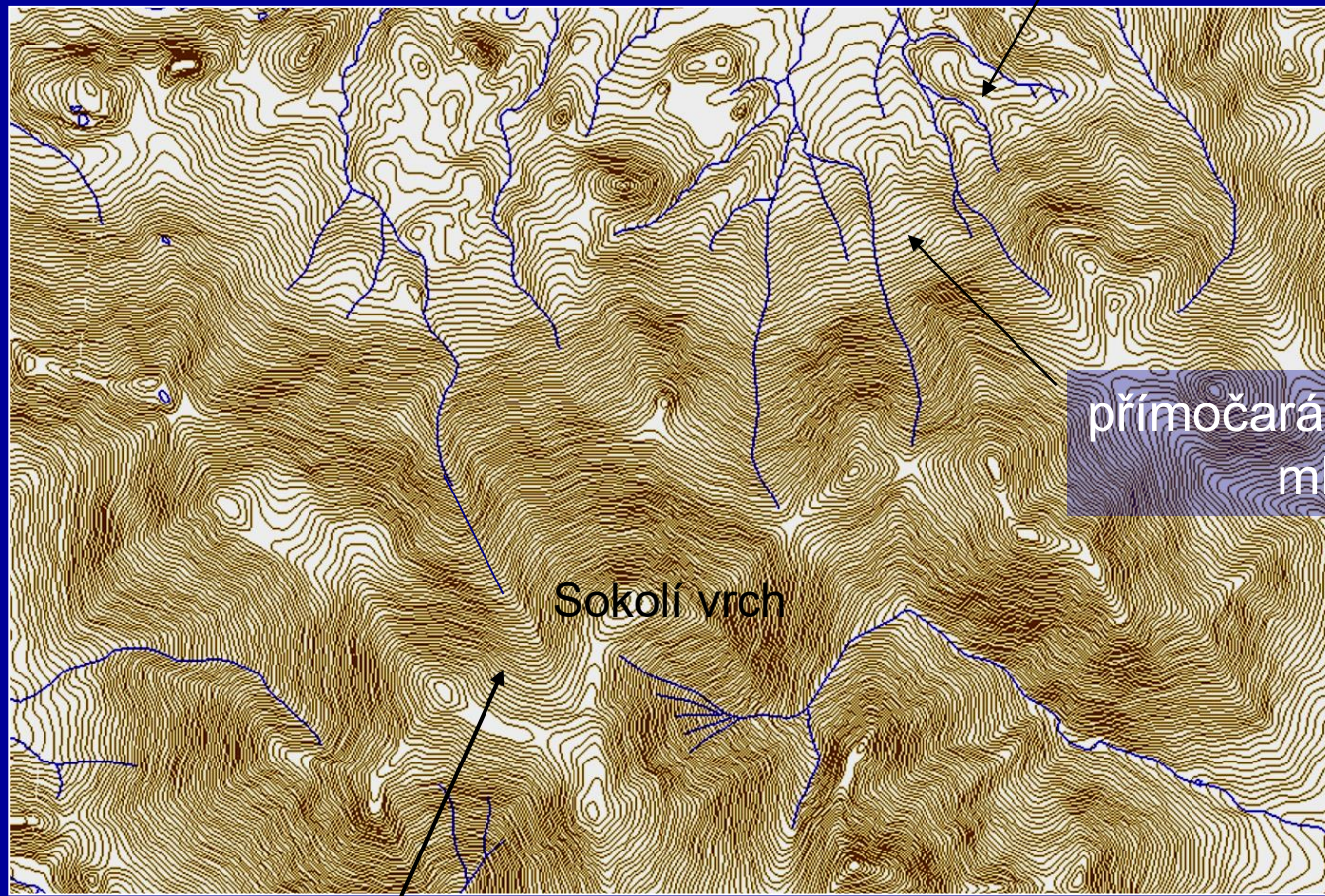
Odražení tektonických procesů v říčním systému



- ▲ neogenní – kvartérní vulkanismus
- minerální prameny s CO₂

Odraz tektonických procesů v říčním systému

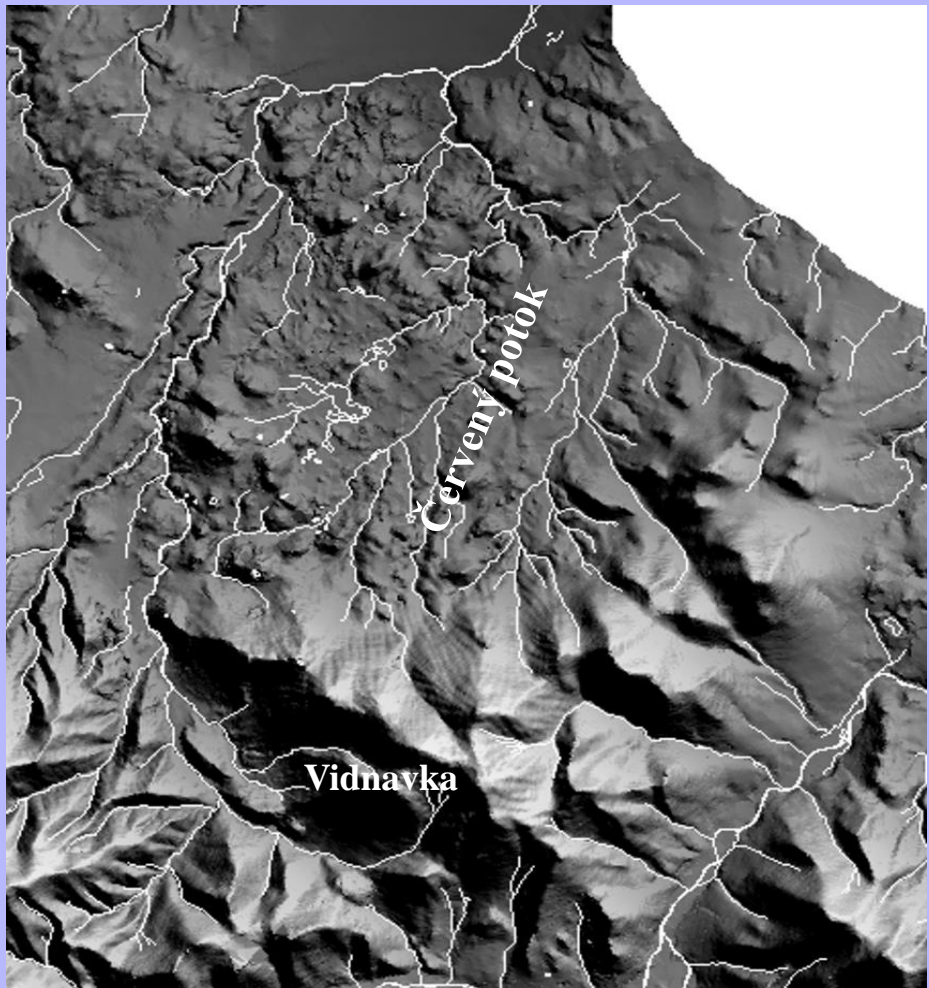
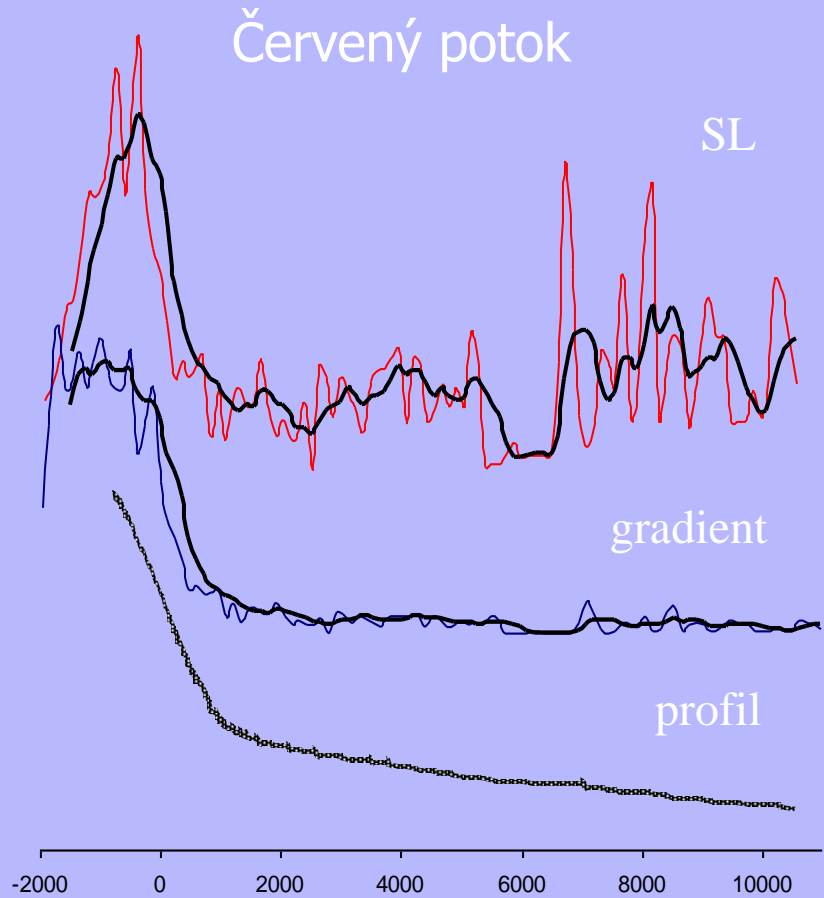
- analýza údolních tvarů v Sokolském hřbetu



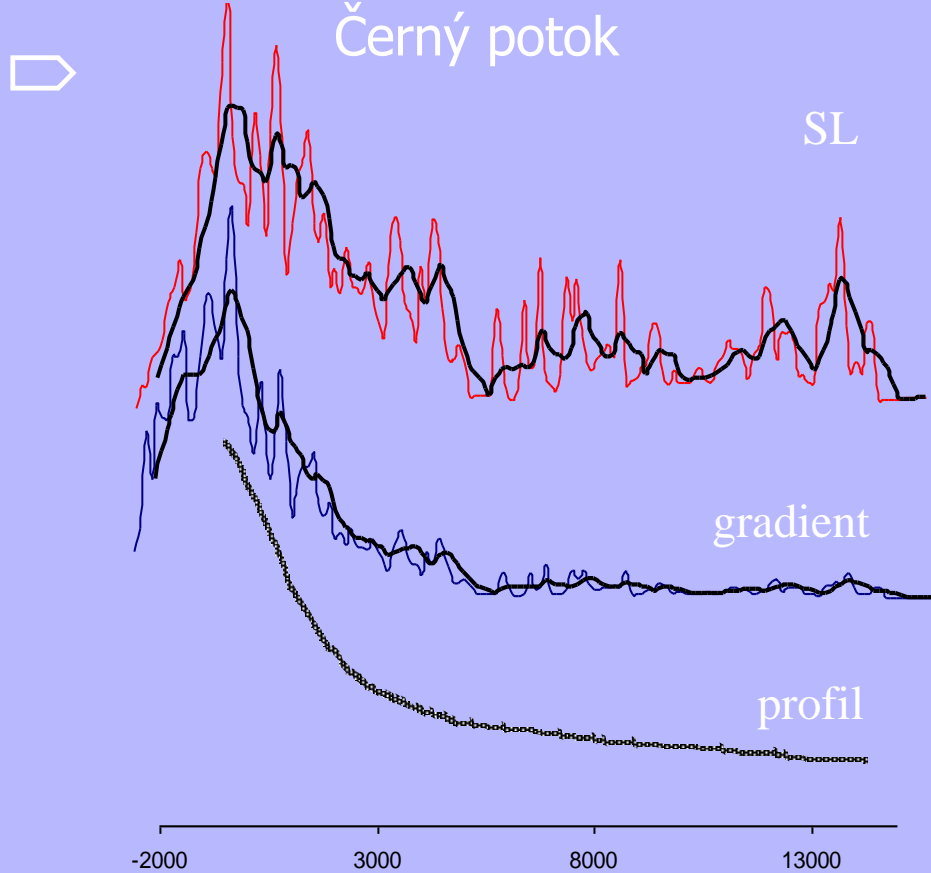
široké závěry údolí – starší fáze vývoje údolí

Odražení tektonických procesů v říčním systému

- podélné profily toků, spádové křivky, SL index



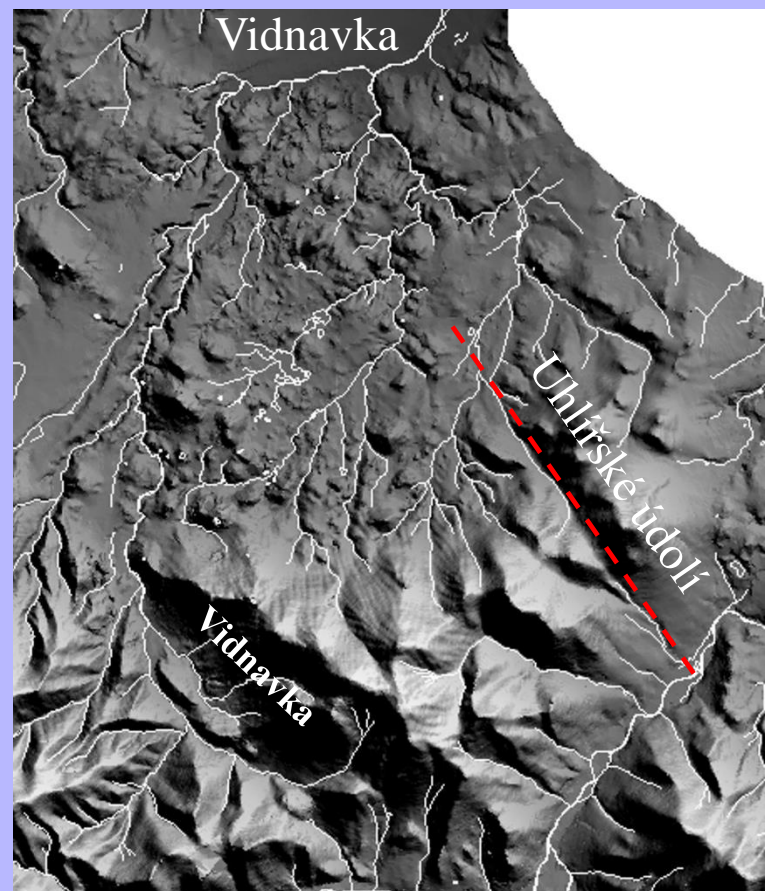
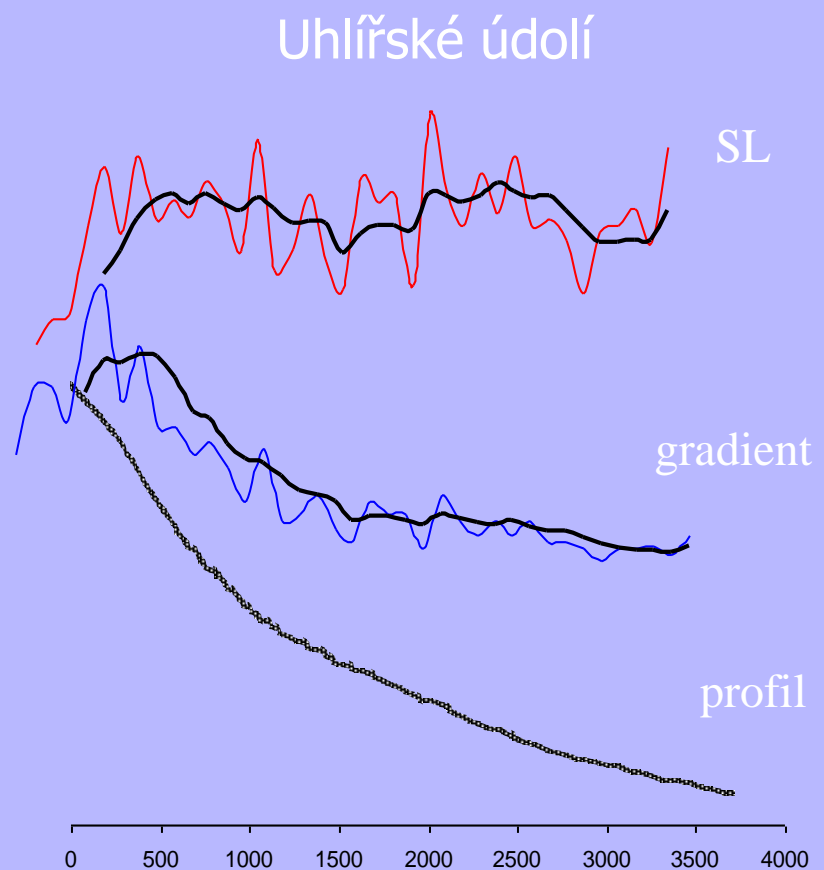
Odraz tektonických procesů v říčním systému



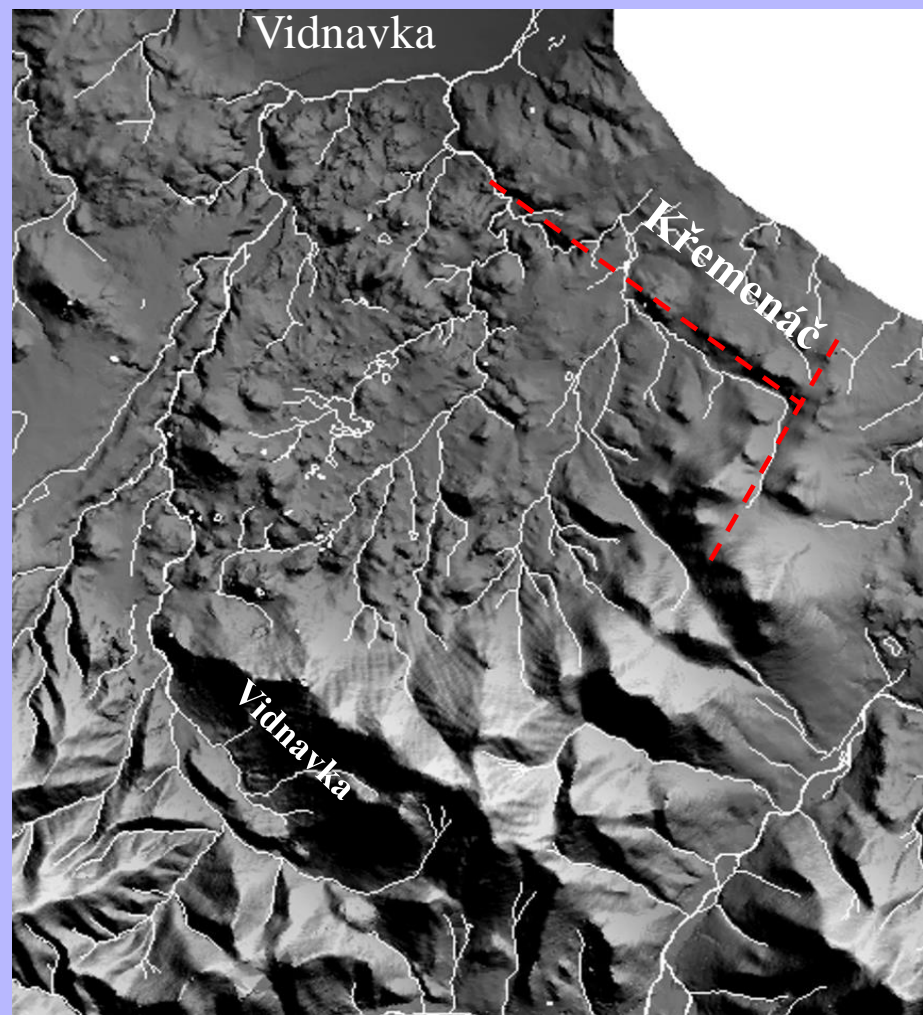
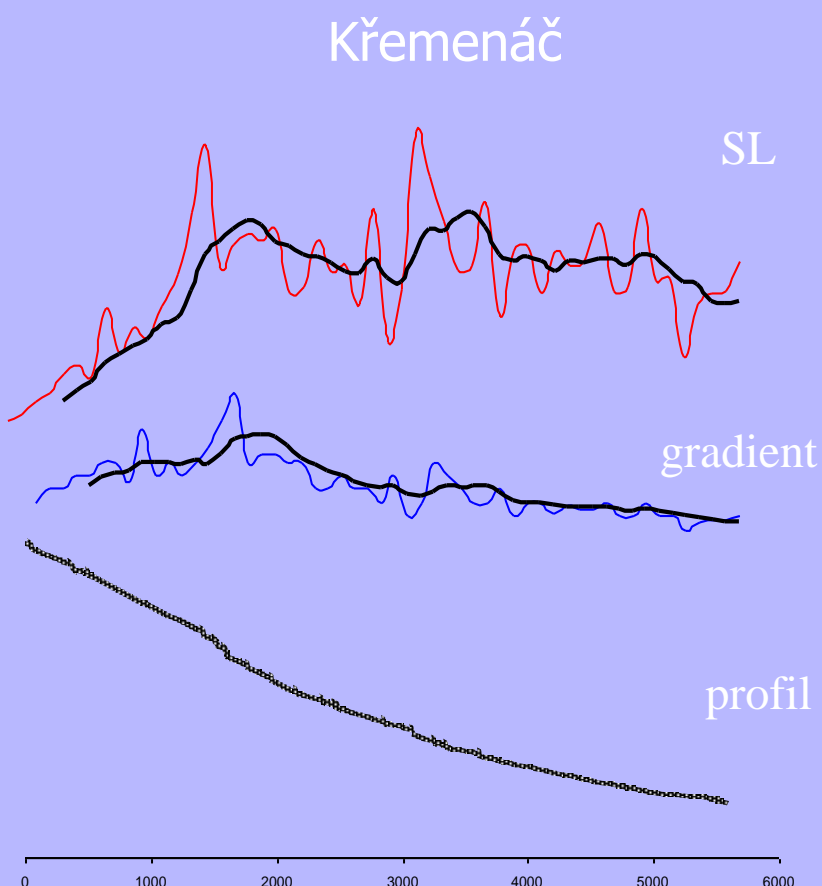
Odražení tektonických procesů v říčním systému



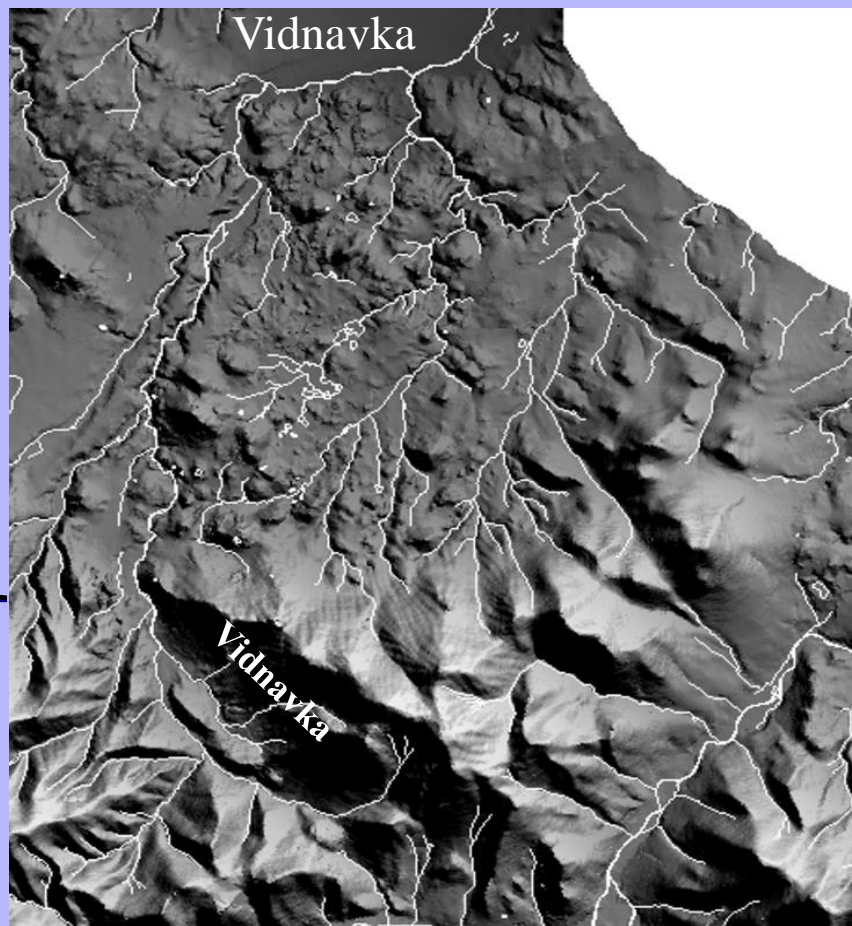
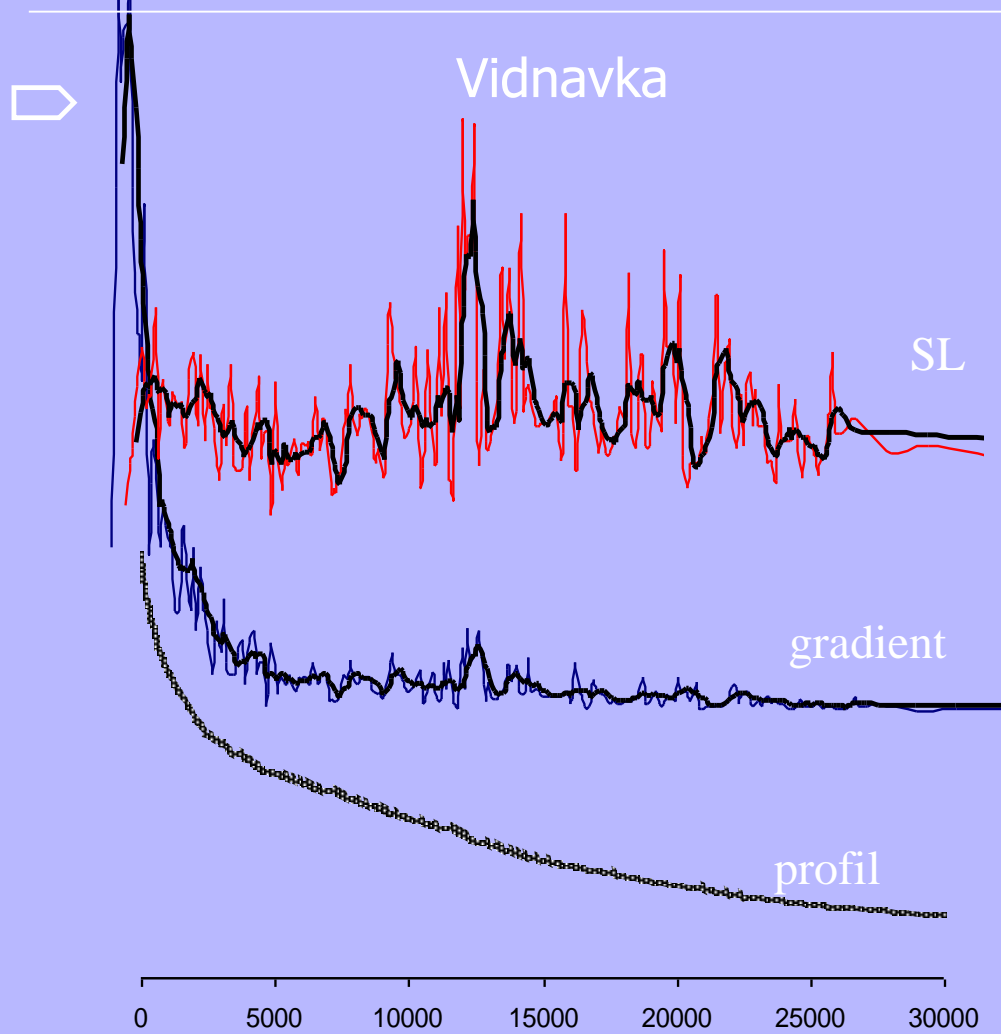
x výjimka



Odraz tektonických procesů v říčním systému

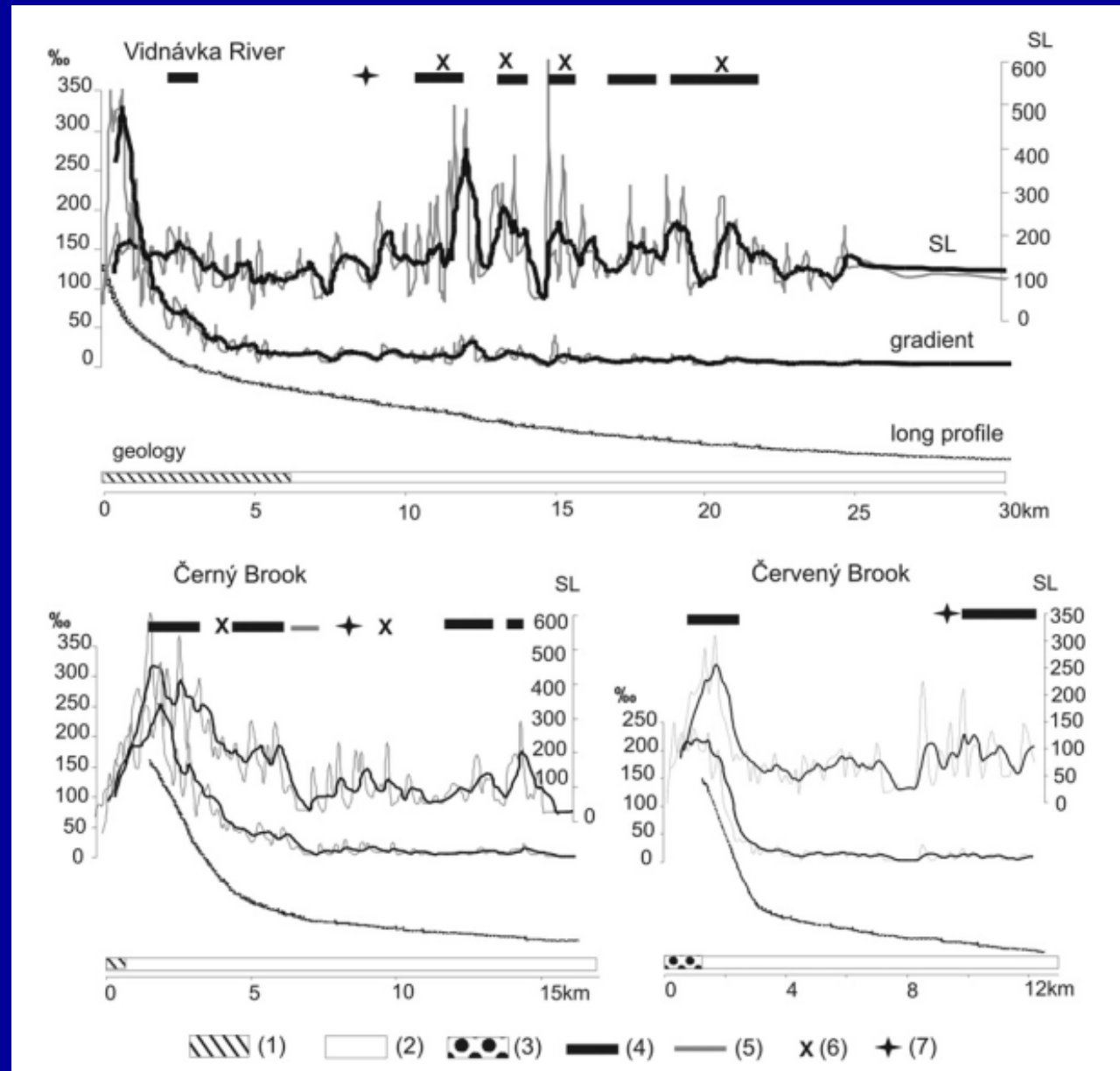


Odraz tektonických procesů v říčním systému

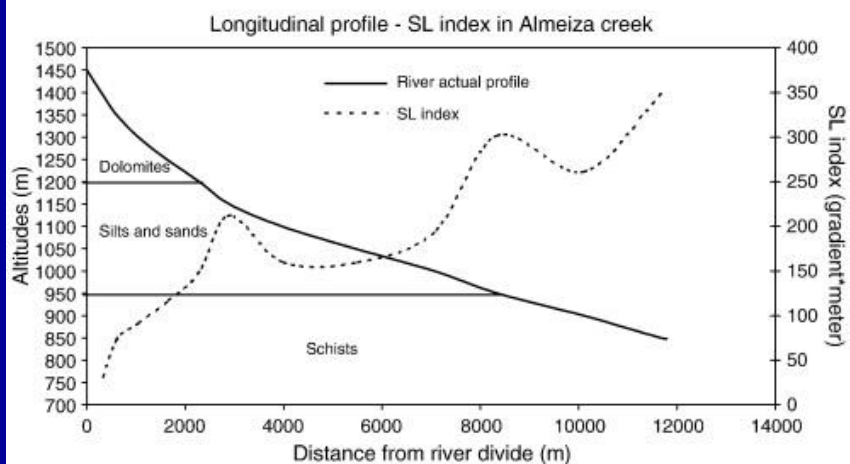
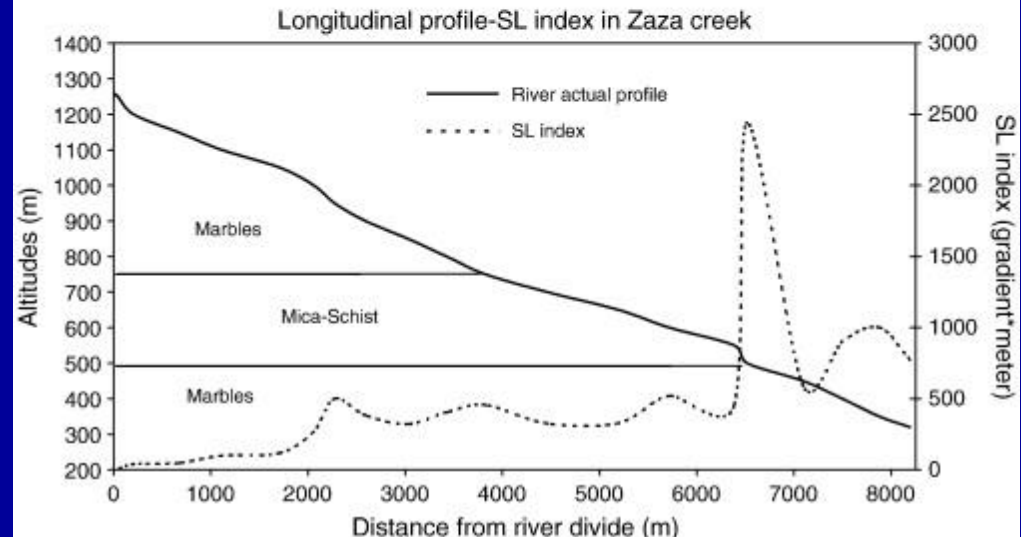
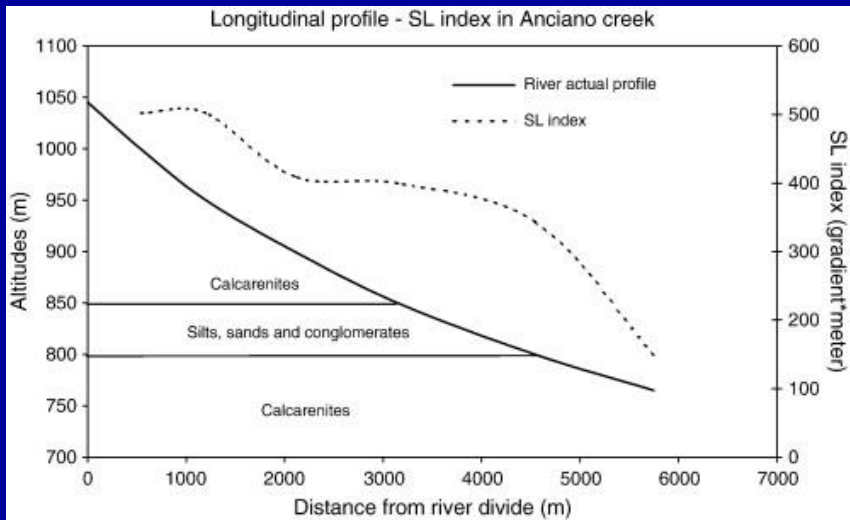
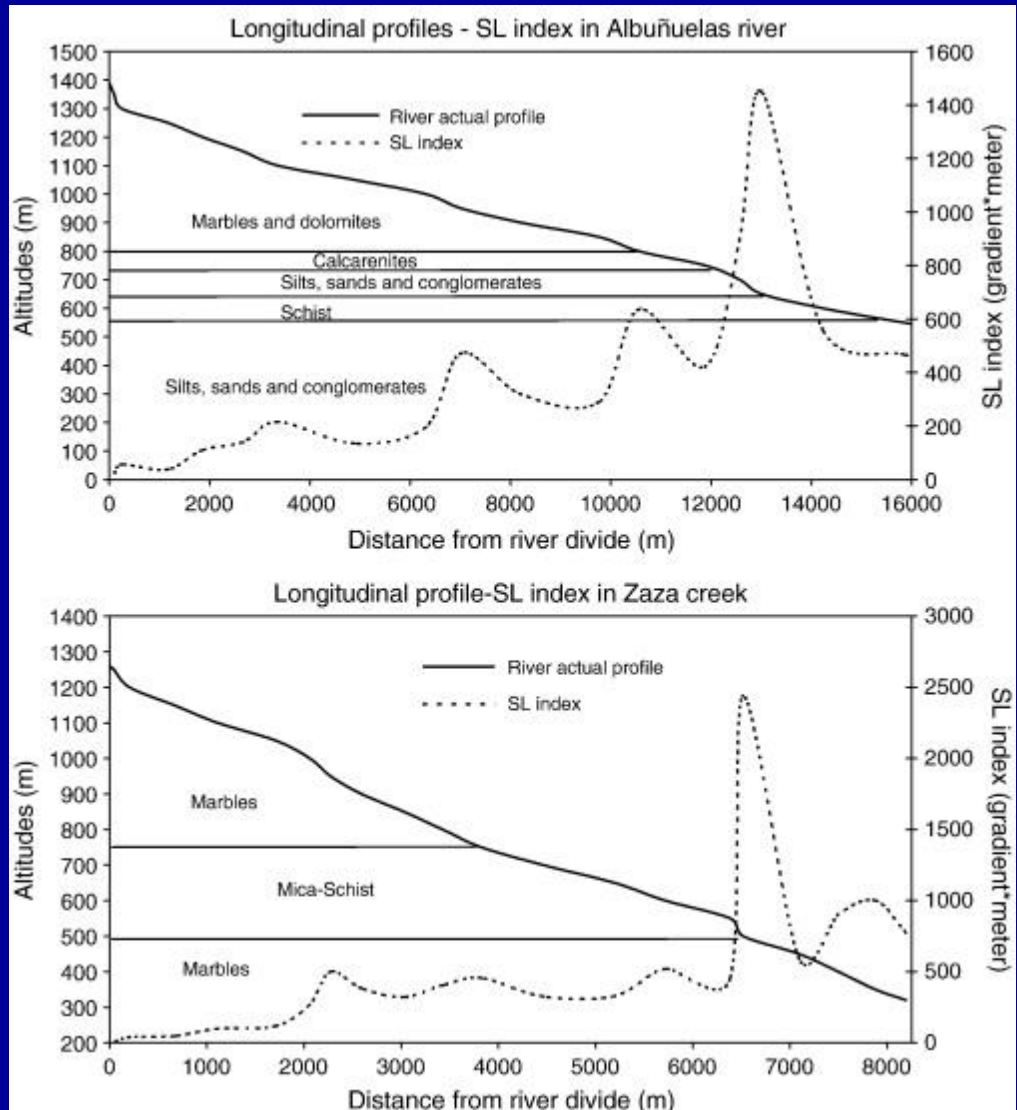


Odraz tektonických procesů v říčním systému

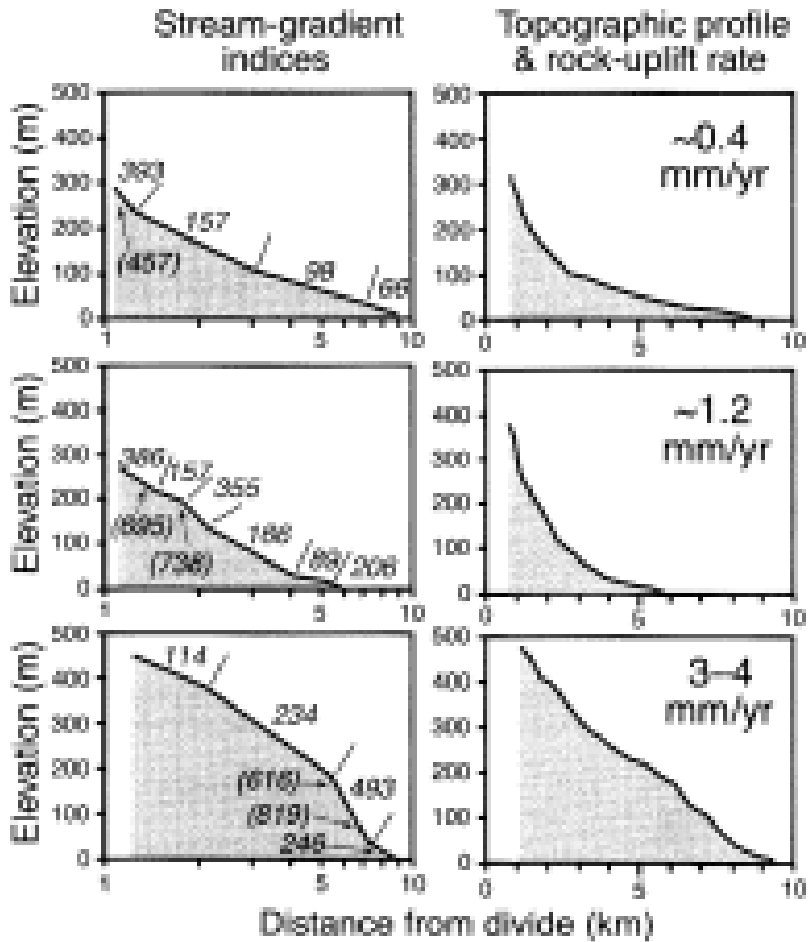
- (1) — metamorphic rocks (gneisses, marbles, phyllites, amphibolites),
- (2) — granitoids,
- (3) — segment of stream flowing along the lithological boundary;
- (4) — stream follows a morpholineament/fault,
- (5) — river crosses a morpholineament/fault,
- (6) — beginning of the deepened valley,
- (7) — river flows into the planation surface (etchplain).



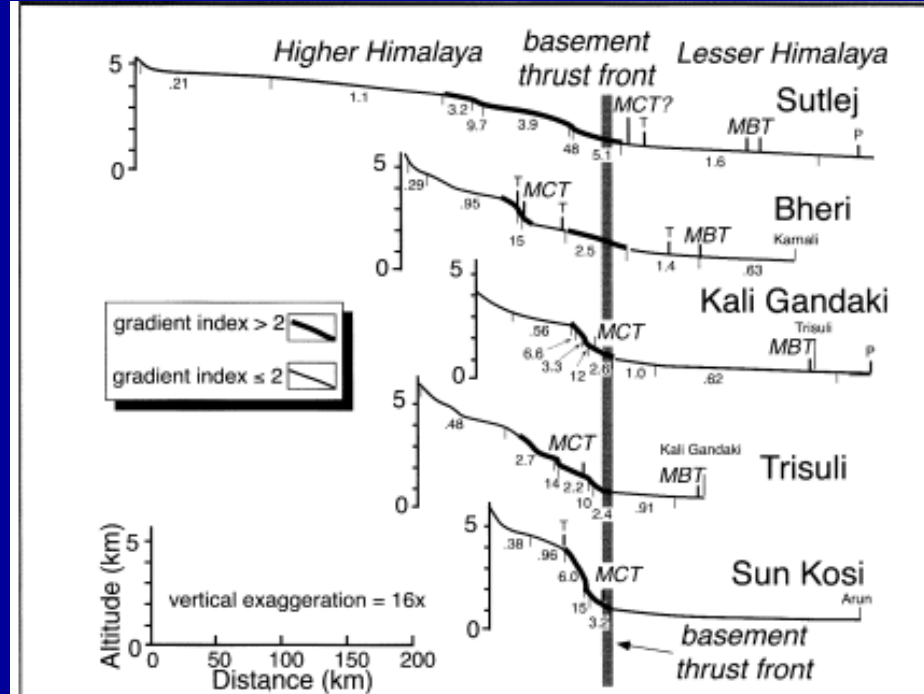
Odraz tektonických procesů v říčním systému



Odraž tektonických procesů v říčním systému

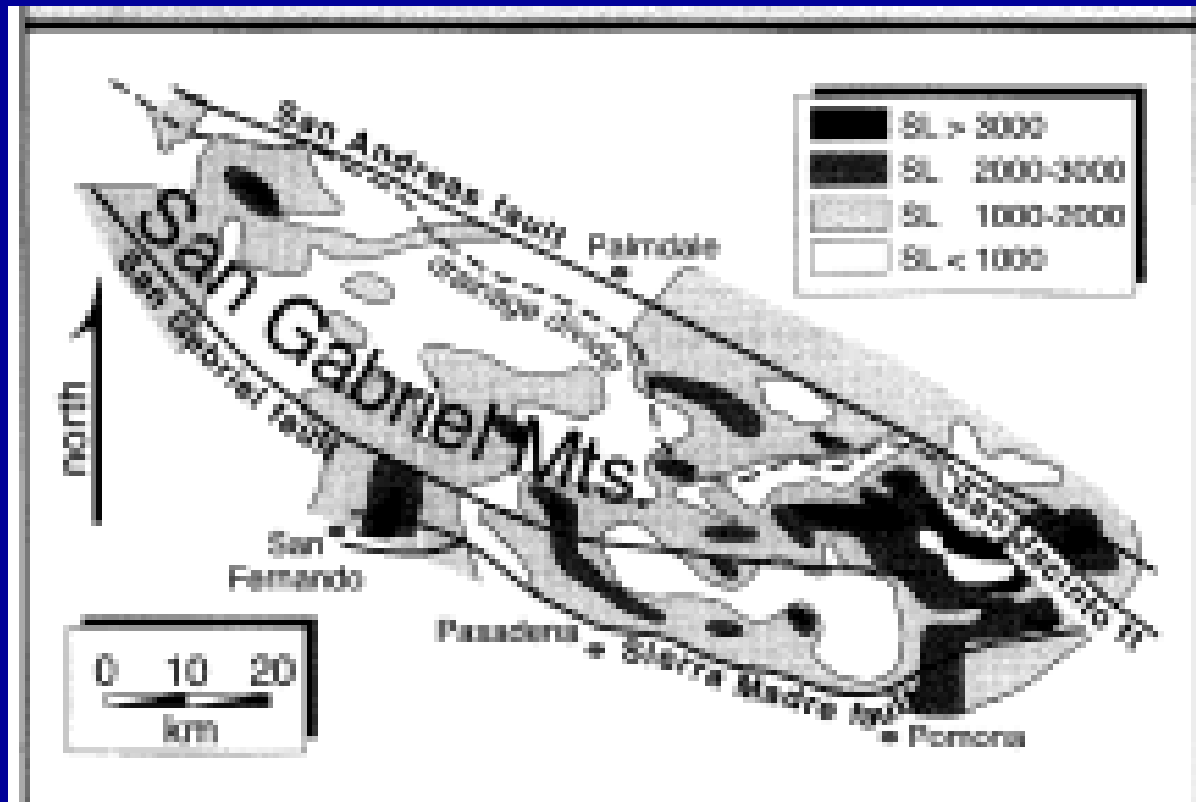


Note that the zone of rapid rock uplift has a steeper gradient, higher relief, and higher gradient indices.
Modified after Merritts and Vincent (1989)



Thicker segments of the profile indicate reaches where the local gradient index (SL) is more than twice the index (k) for the entire profile: $SL / k = 2$. The steepest gradients are not associated with the Main Boundary thrust or active deformation to the south. Rather they occur near the Main Central thrust and appear to result from upward ramping of the overthrusting Himalayas above a deep-seated basement thrust. Modified after Seeber and Gornitz (1983).

Odražení tektonických procesů v říčním systému



Interpolace SL – indexů

- místa se známým výzdvihem
- + poukazuje na místa pro další podrobnější výzkum

Odraz tektonických procesů v říčním systému

- ▷ Příčné profily toků
- ▷ Anomálie v podélných profilech => změny v příčných údolních profilech
- ▷ sklonová asymetrie údolních svahů – litologicky,
 - klimaticky (různá velikost denudace na různě orientovaných svazích)
- ▷ výšková asymetrie údolních svahů – litologicky, tektonicky, celkovým vývojem lokality
- ▷ Typy údolí – různé erozní fáze, intenzita eroze –
 - podmíněna - tektonickou aktivitou
 - strukturně litologickými podmínkami,
 - spádovými a hydrologickými poměry

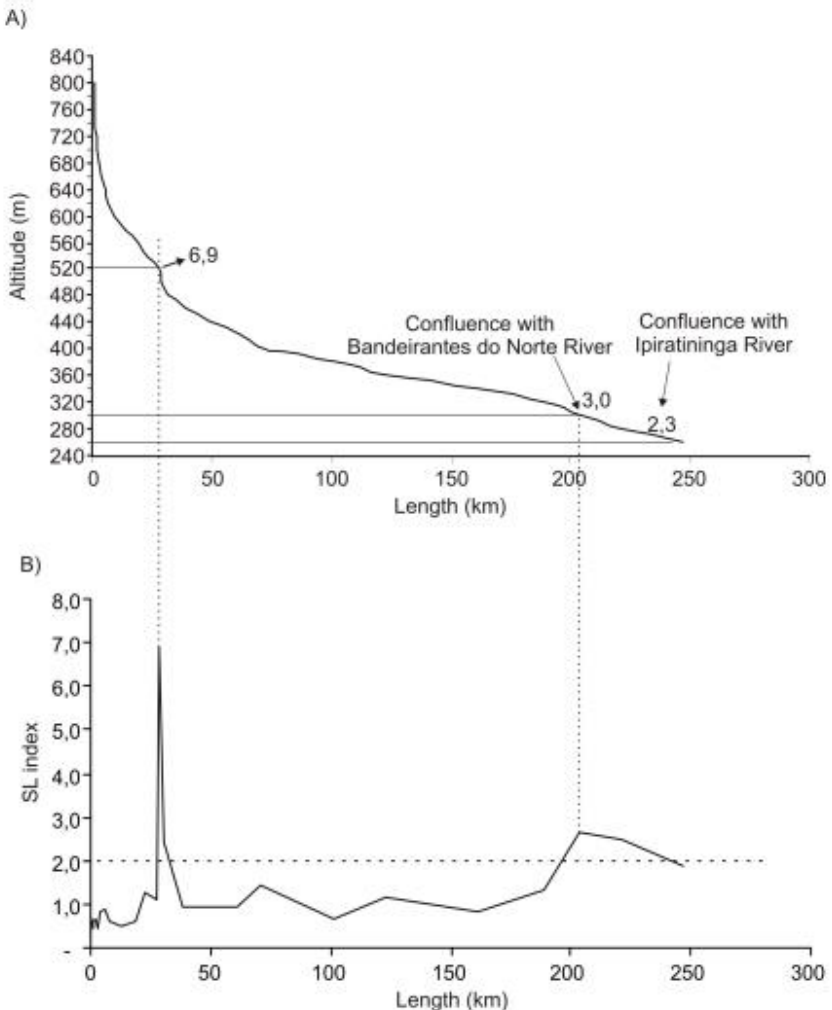


FIGURE 4. Longitudinal profile (A) and SL index of the Pirapó River (B).

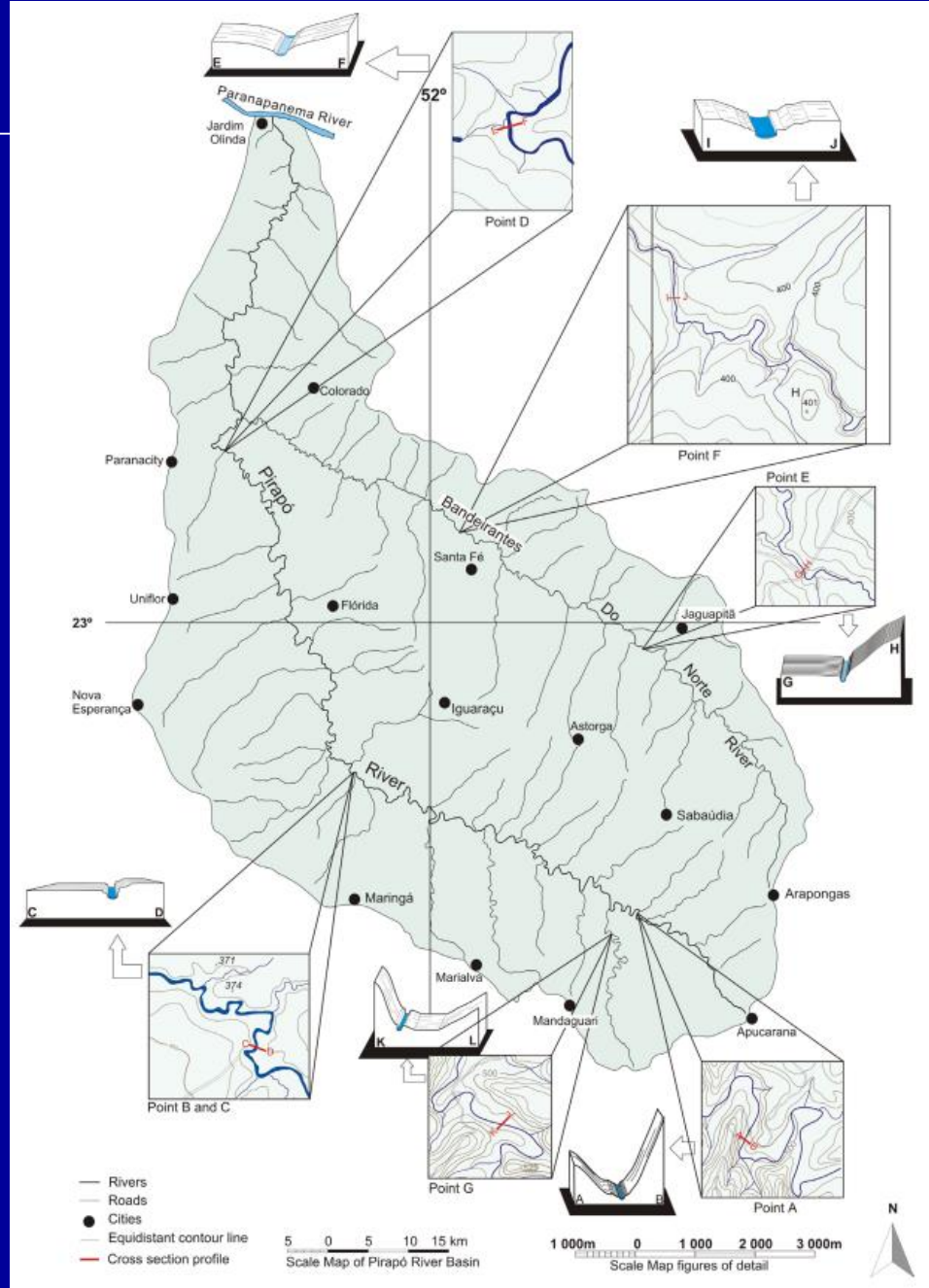
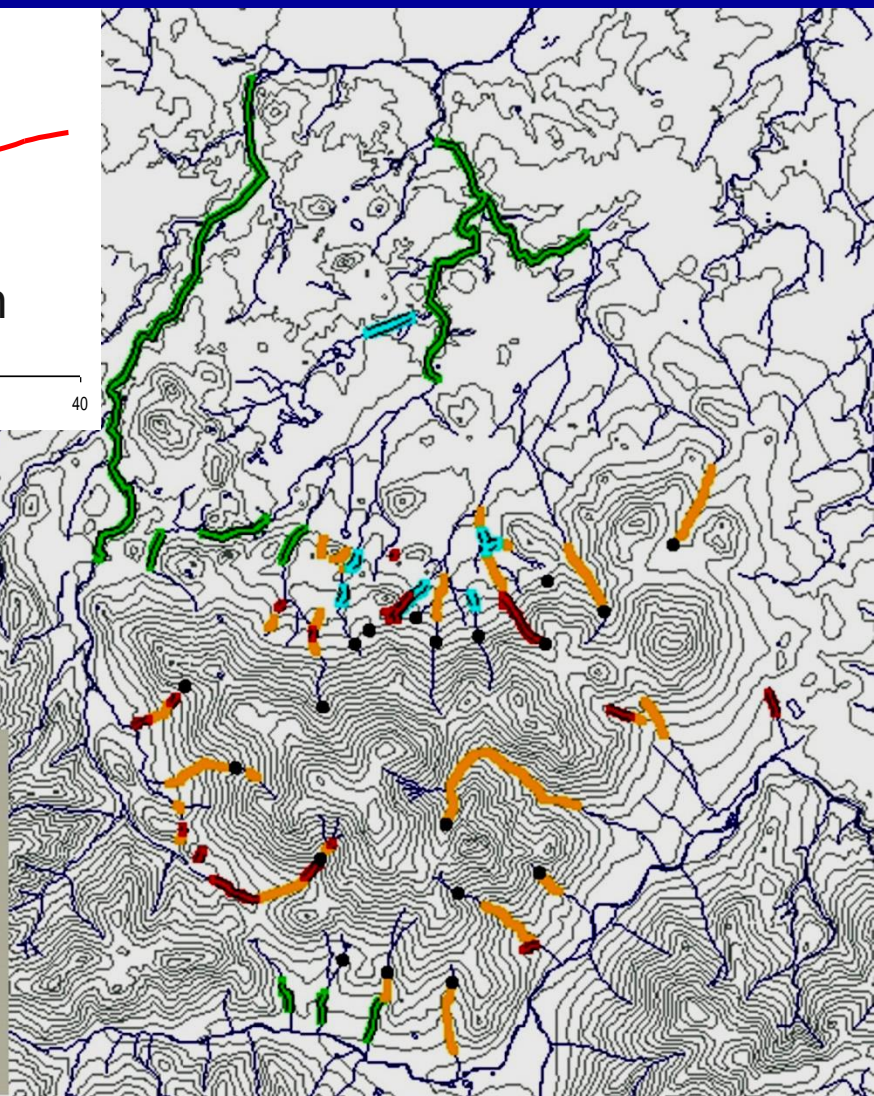
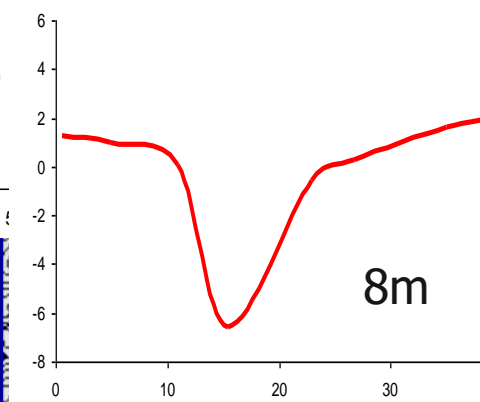
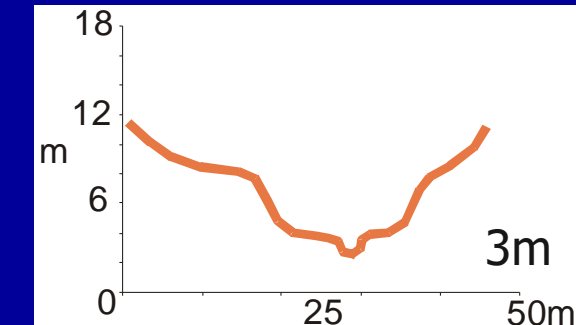
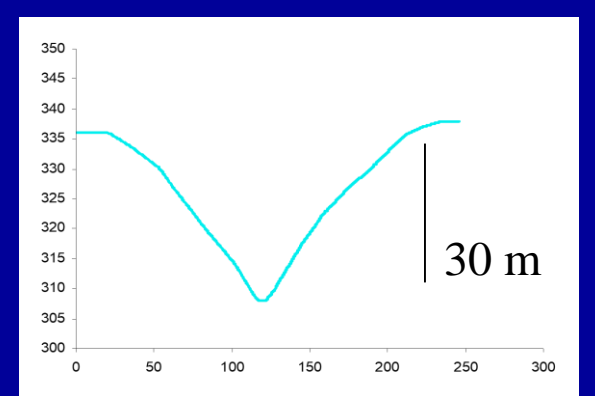
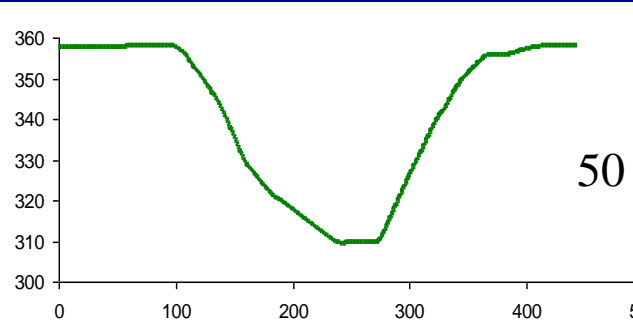


FIGURE 7. Hydrographic basin of the Pirapó River with anomalous points and valley cross sections.

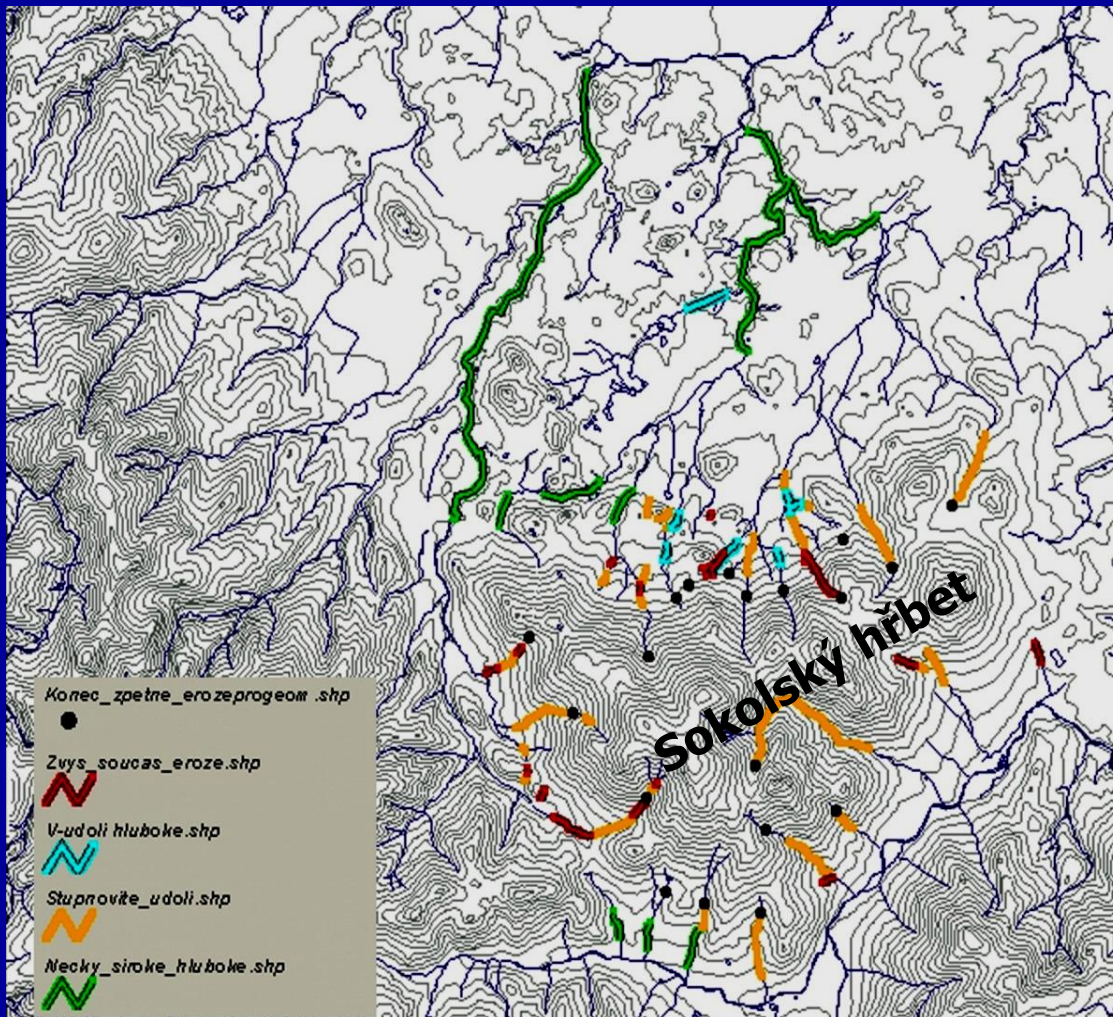
Odražení tektonických procesů v říčním systému

Typy údolí podle tvaru zářezu



Odrázek tektonických procesů v říčním systému

Pokračující výzdvih pohoří



úpatí zlomových svahů

- začátky
- ❖ zvýšené současné eroze,
- ❖ nejmladší erozní fáze
- anomálie v podélných profilech

Odraz tektonických procesů v říčním systému

Říční terasy

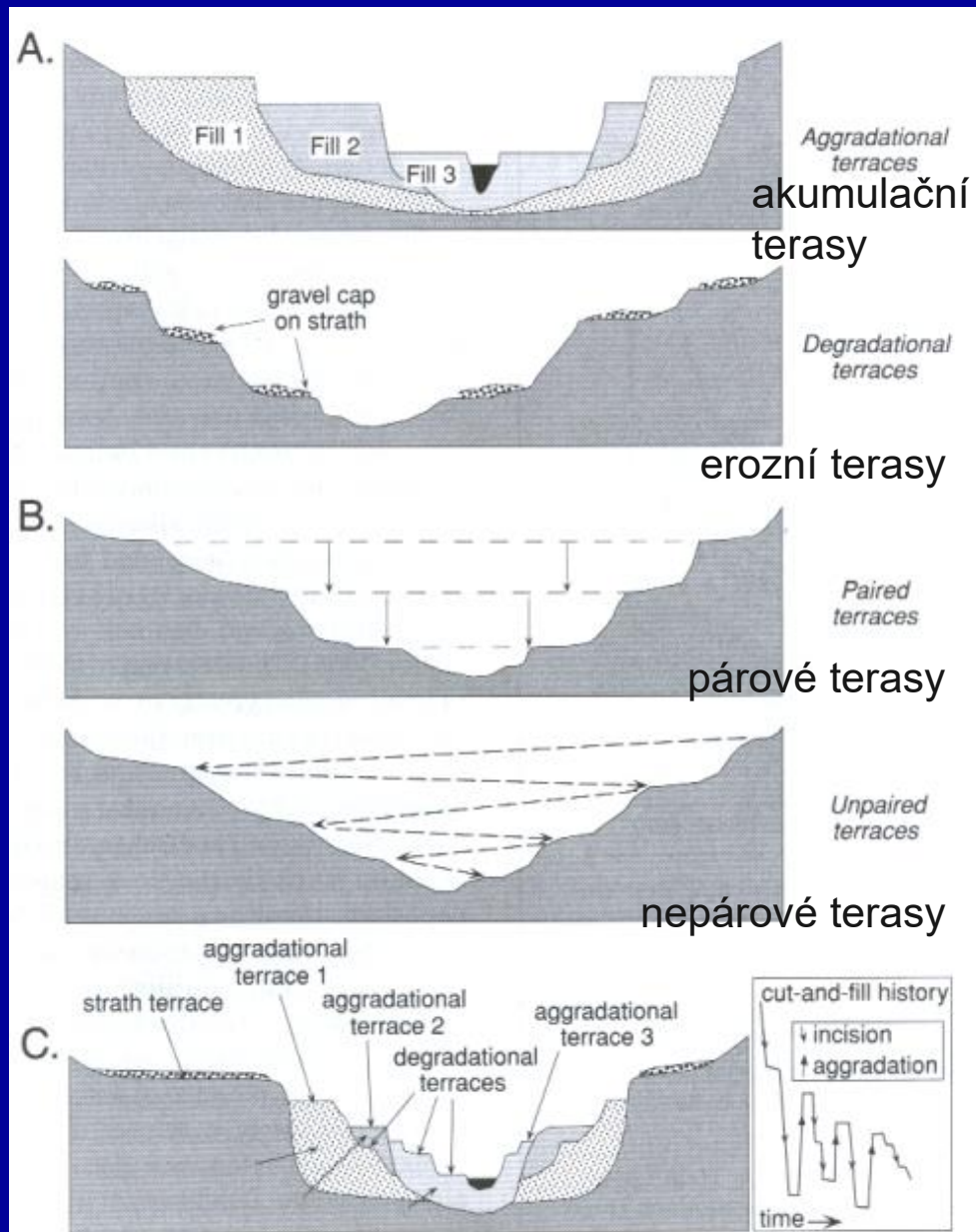
- bývalé údolní dno

▷ Vznik teras – komplexní odezva

- mnoho příčin
- opakovaný tektonický výzdvih
- pomalý stálý výzdvih se spoluúčinkováním střídání glaciálů a interglaciálů
- klimatický vliv - =/= plus pokles erozní báze

▷ Terasy – důležitý potenciální indikátor tektonické aktivity

- dále do minulosti



Odražení tektonických procesů v říčním systému



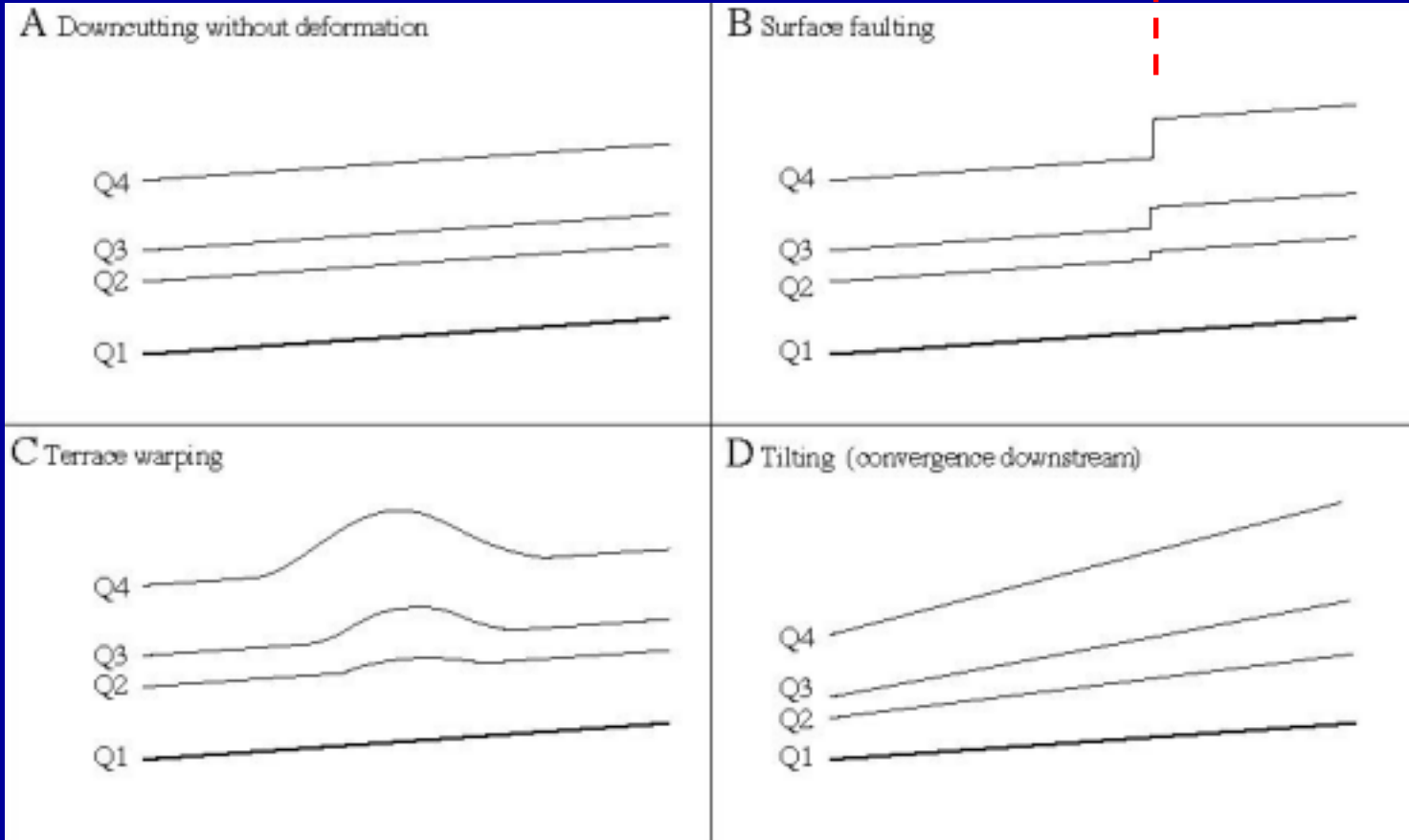
Terasy řeky Mijar v Kyrgyzstánu –
Trans Alai Range

Terraces of the Owens River



Odraz tektonických procesů v říčním systému

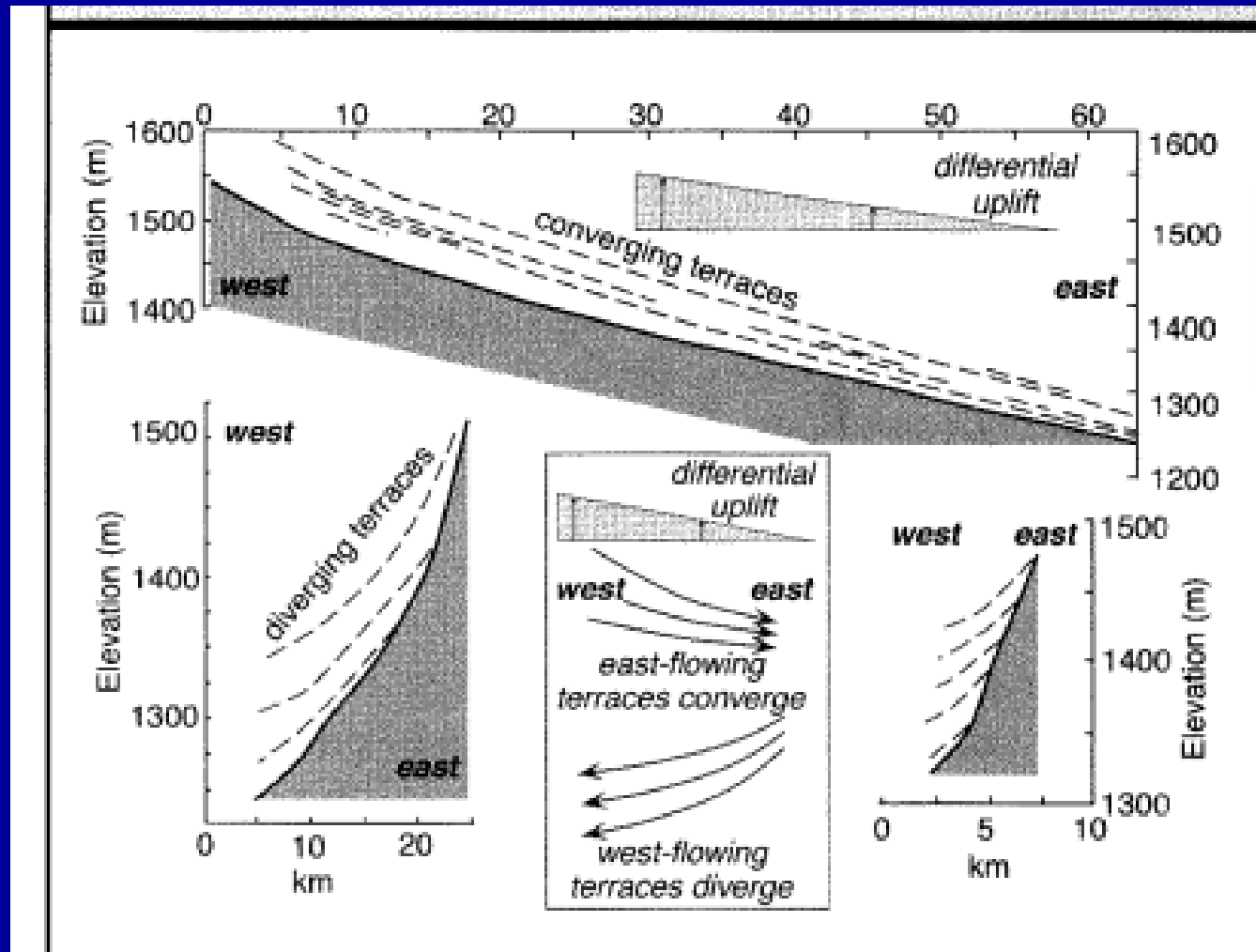
3 typy tektonické deformace teras



vyklenování

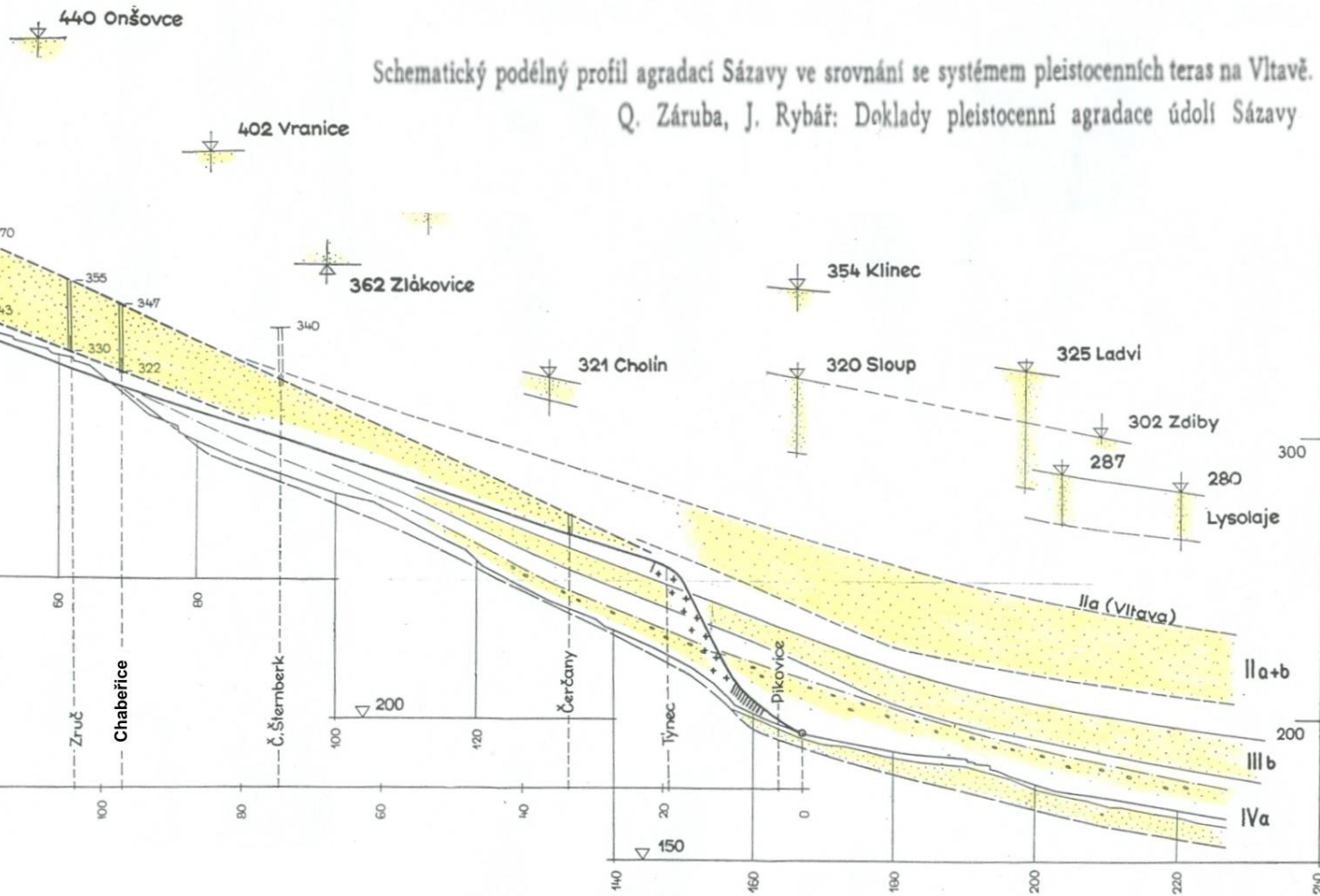
náklon terénu

Odražení tektonických procesů v říčním systému

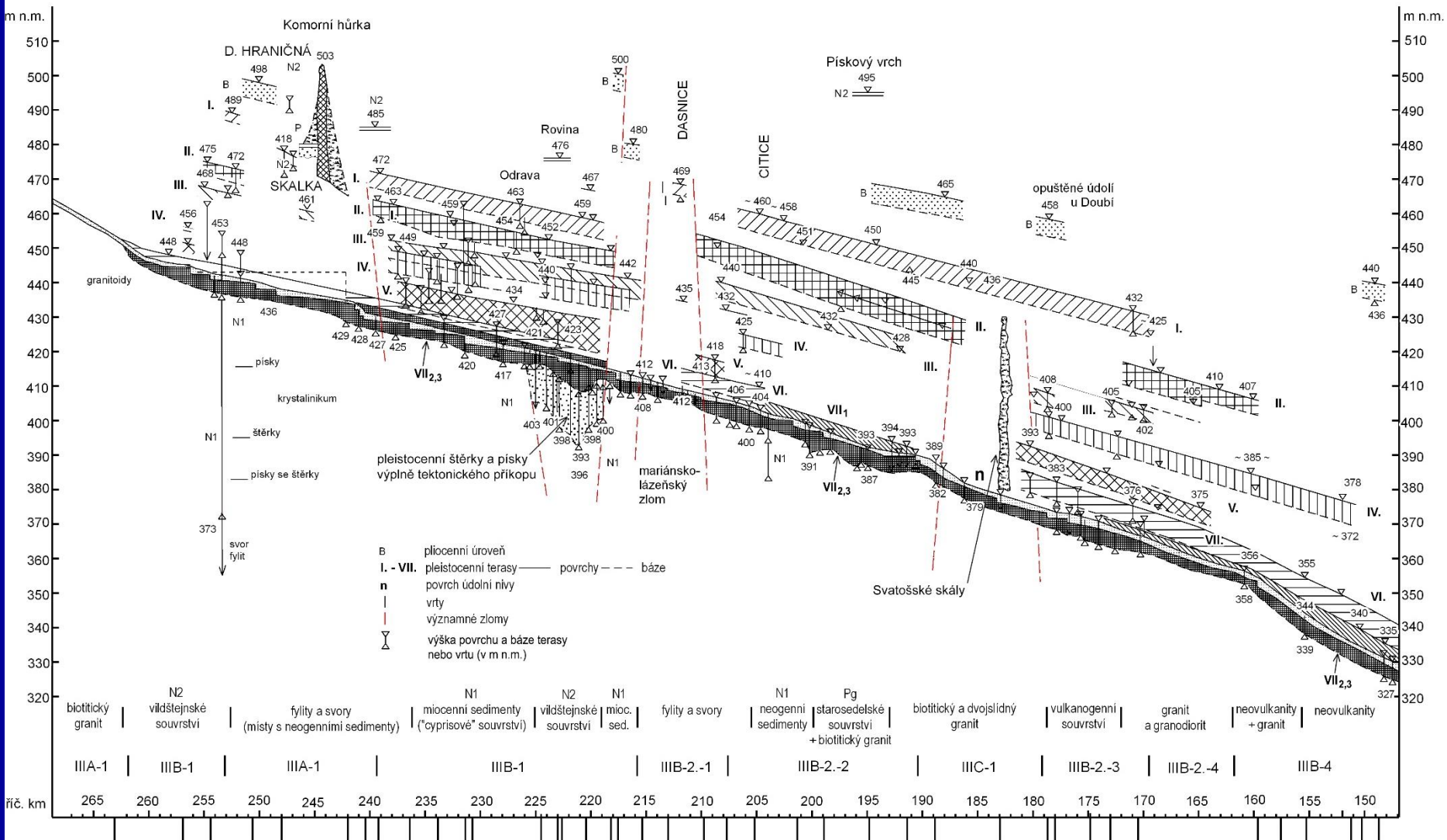


Východně „tekoucí“ terasy **konvergují po toku**,
na západ tekoucí **divergují směrem po toku**

Divergující terasy Sázavy



Terasy Ohře



Hranici potok
RÖSLAU (státní hranice)
POMEZNÁ - jez
POMEZÍ N.O. - jez
CETENOV - jez

Skalka - hráz
CHEB - jezy
železniční viadukt
TRŠNICE - jez
CHOCOVICE - jez
VOJKOV - jez
most

NEBANICE - most
Odrava
MOSTOV - jez
CHOŤKOV
Libocký p.
KYNŠPERK N.O. - jez
LIBAVÁ
DASNICE - jez

ŠABINA - jez
ČERNÝ MLÝN
CITICE - most

Svatava
SOKOLOV
KRÁLOVSKÉ POŘÍČÍ
STARÉ SEDLO - lávka
Chodovský p.
LOKET - most

Svatošské skály

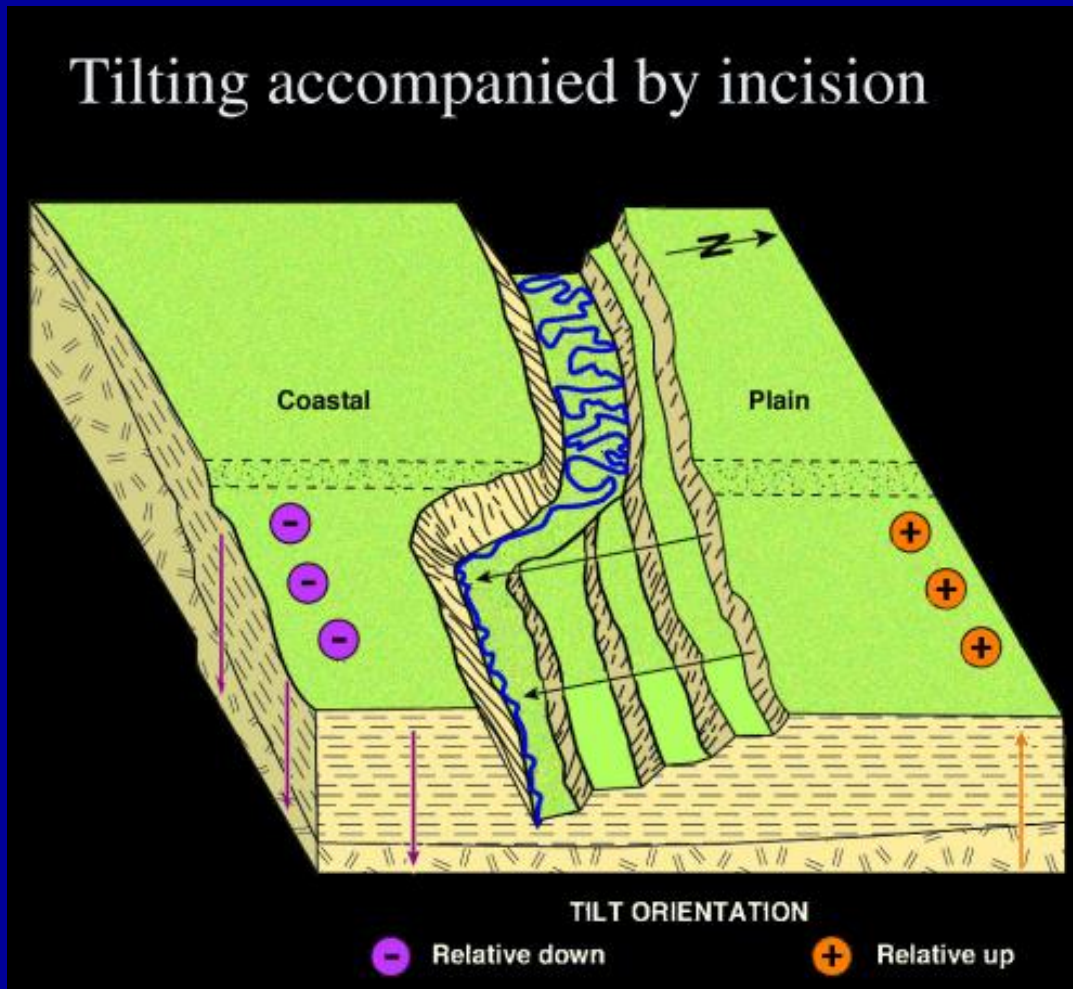
TAŠOVICE - jez
DOUBÍ - most
Rovina
Teplice
KARLOVY VARY
VŠEBOROVICE

DUBINA - jez
KYSELKA - most
RADOŠOV - most
VELICHOV - most
Bystřice
VOJKOVICE - most

Odraž tektonických procesů v říčním systému

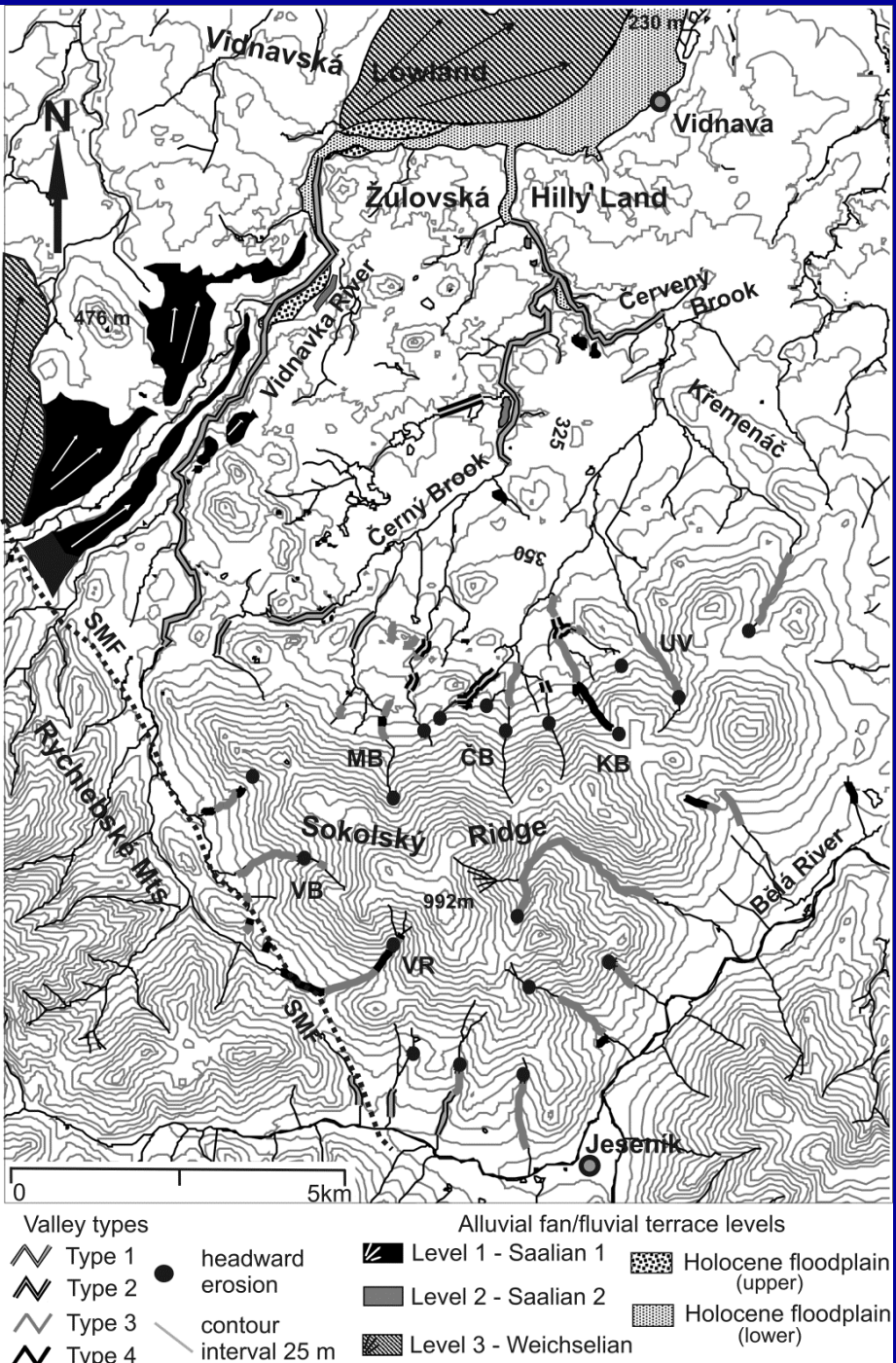


Příčný úklon terénu – nepárové terasy



Říční terasy Vidnávky

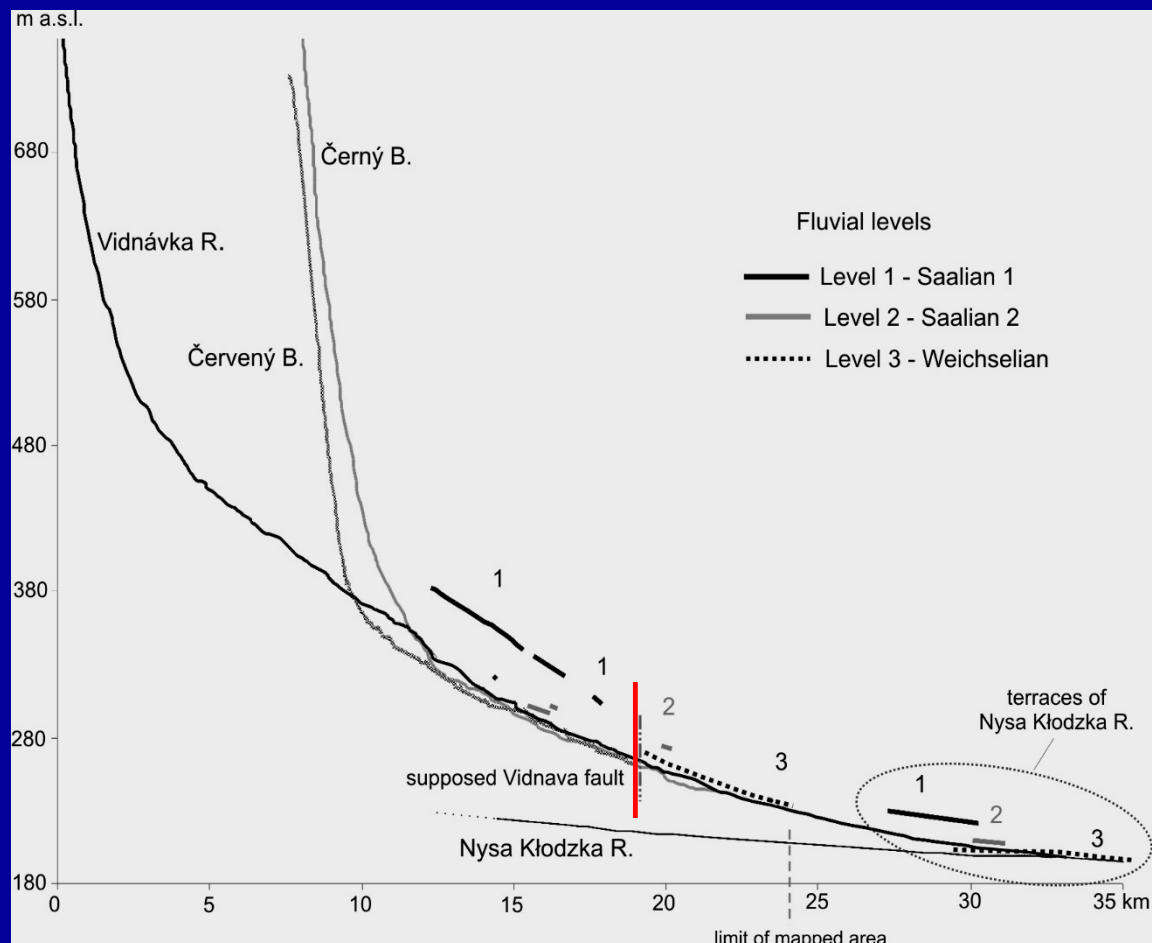
Terasy přítoků – normálně v menší relativní výšce nad tokem než terasy nad hlavním tokem v území



Odraz tektonických procesů v říčním systému

Výzdvih Žulovské pahorkatiny (?glacioizostaze)

Fluviální sedimenty-3 post-glaciální (po deglaciaci) pleistocenní úrovně teras a aluviálních kuželů



Úroveň 1 – Saale 1 Upper Terrace

Vidnavka - 38 – 48m (relativní výšky)

Černý potok - 20m

Červený potok - 35 – 40m

Úroveň 2 – Saale 2 Middle Terrace

Černý potok - 13 – 22m

Úroveň 3 – Weichselian Lower Terrace

Vidnavka - 4 – 8m

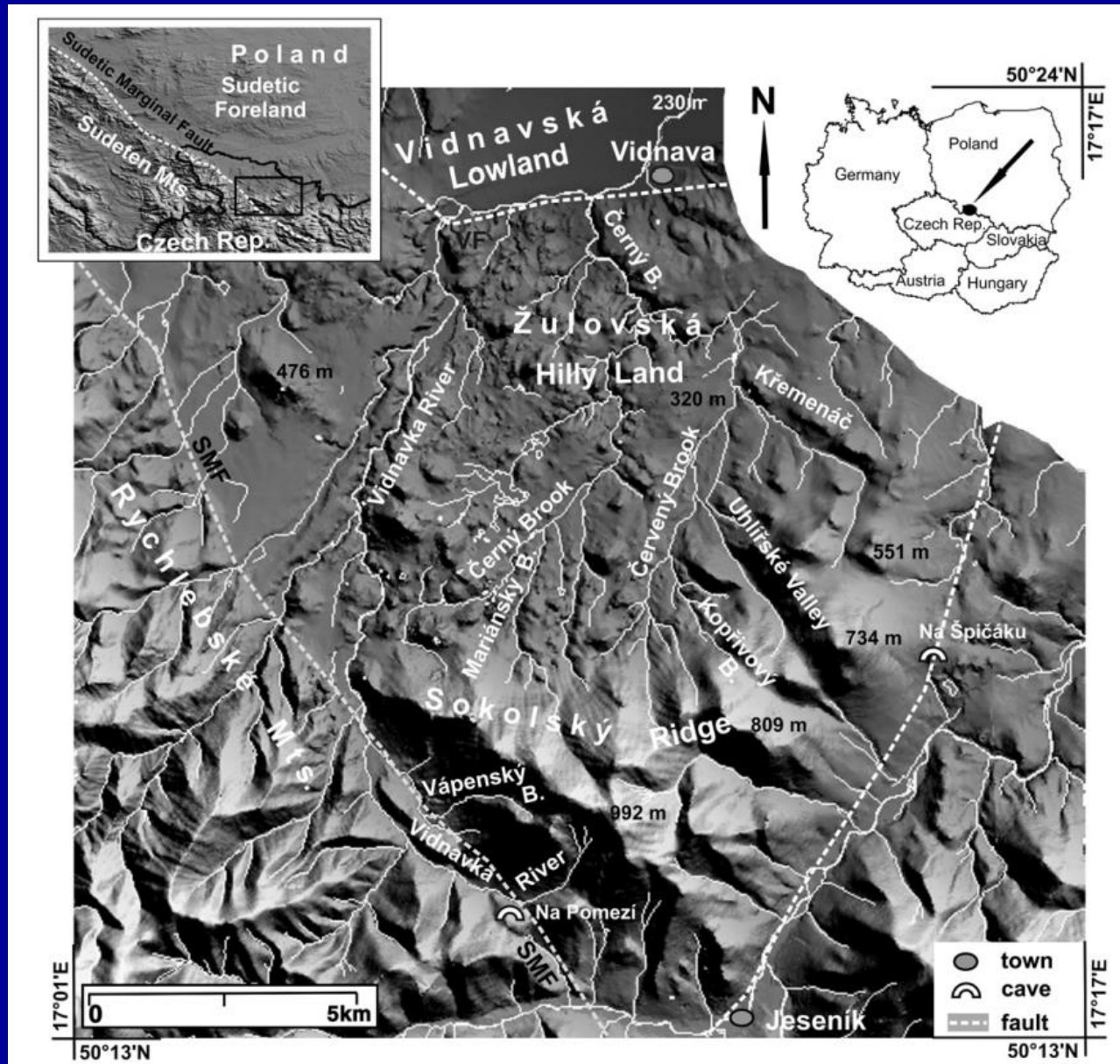
Anomálie v podélném profilu teras
(Kladská Nysa)

úroveň 1 – rozdíl 20m

úroveň 2 – rozdíl 8m

úroveň 3 - rozdíl 2-3m

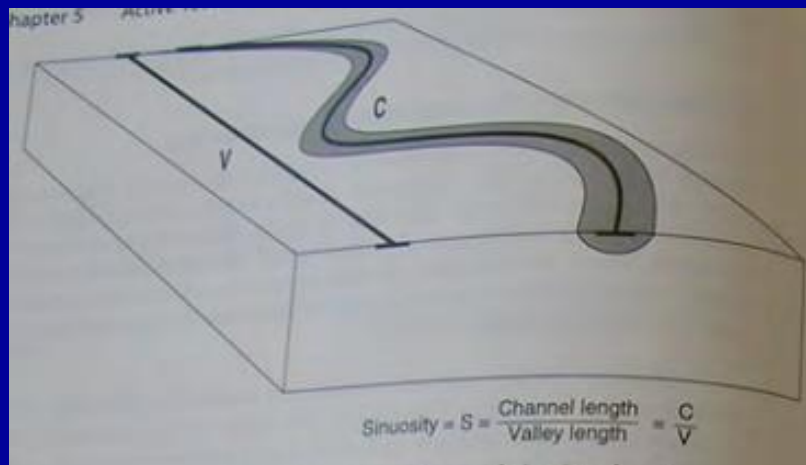
Odraž tektonických procesů v říčním systému



Odraz tektonických procesů v říčním systému

- ▷ **Sinuosita (křivolakost) toků**
- ▷ Řeky meandrují, aby zachovaly rovnováhu sklonu koryta s průtokem a unášeným materiálem

Sinuosita = délky koryta : délka údolí

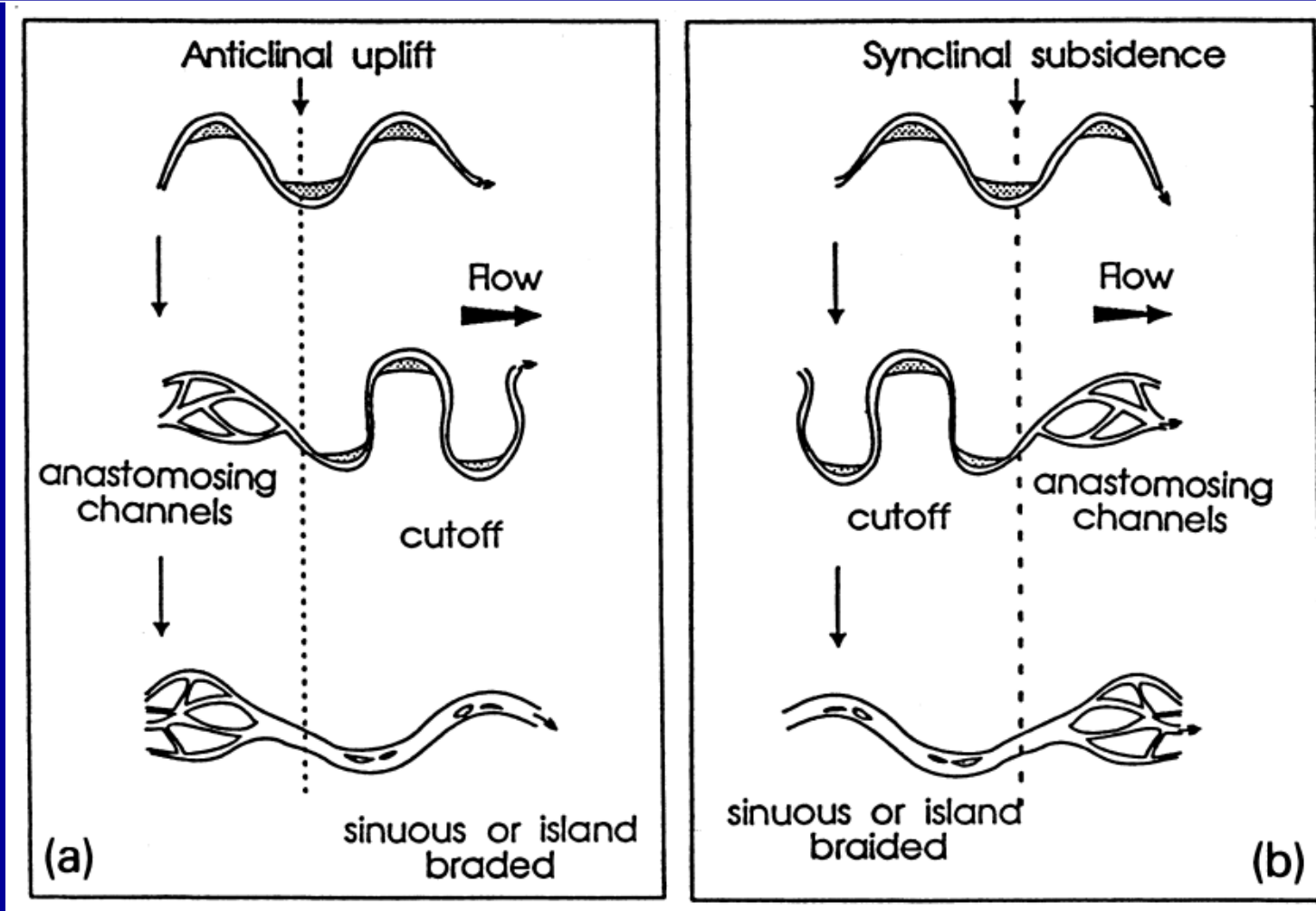


Řeka meandruje, když přímá spojnice údolního dna je příliš strmá pro udržení rovnováhy

- klikacení snižuje sklon koryta (prodlouží se tok – mírnější spádová křivka)

Při protékání vyklenujícího se území – na horním toku méně zakřivené, na dolním více

Odraz tektonických procesů v říčním systému



Odezva meandrujícího či přímého toku při protékání výzdvihovým územím (A) nebo poklesovým (B) (mix-loaded)

Braided (bed-load) river

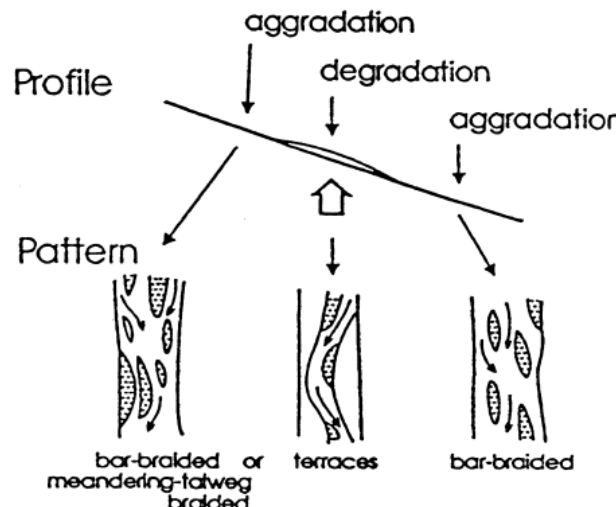
Slope deformation

A. Uplift

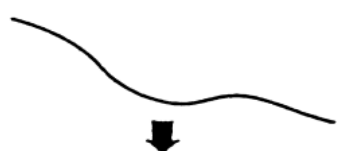


River adjustment

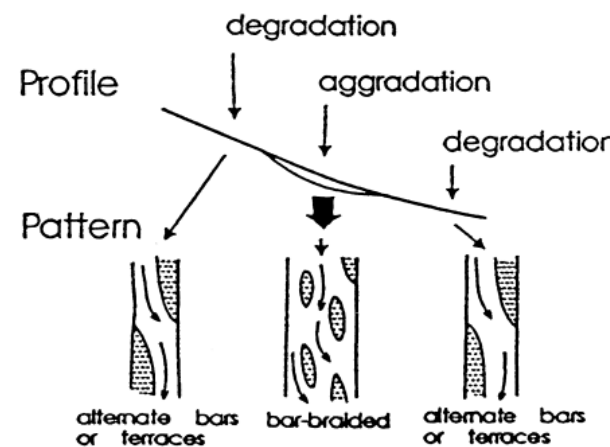
Profile



B. Subsidence



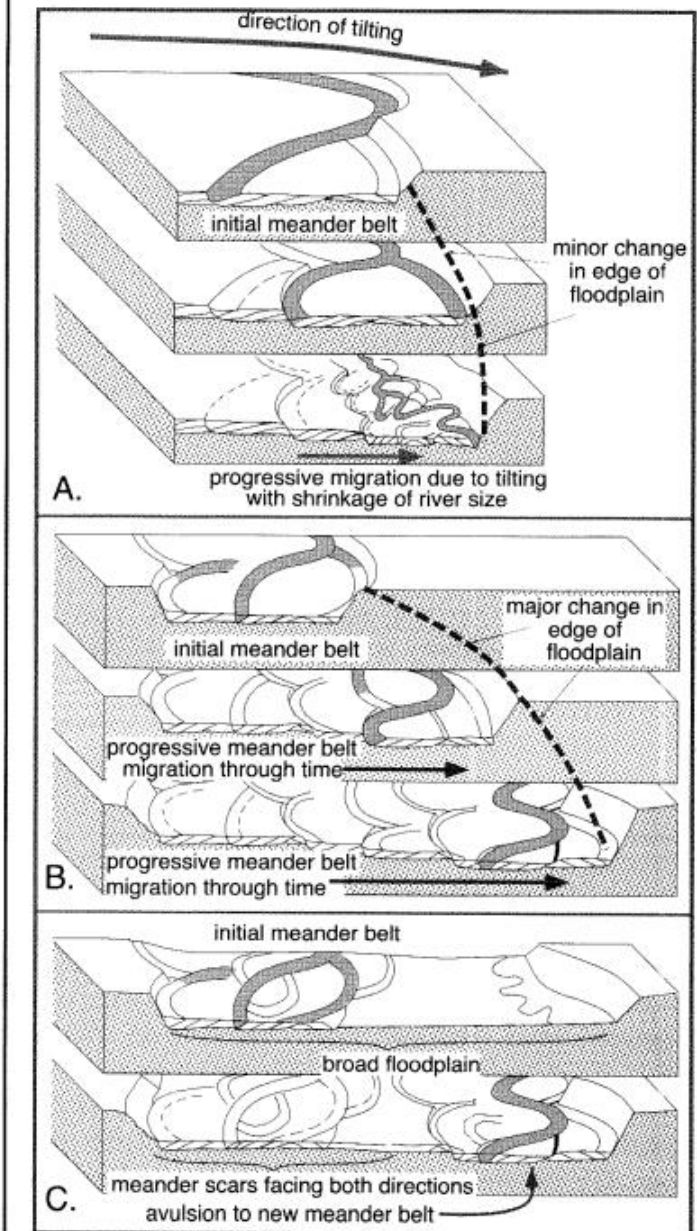
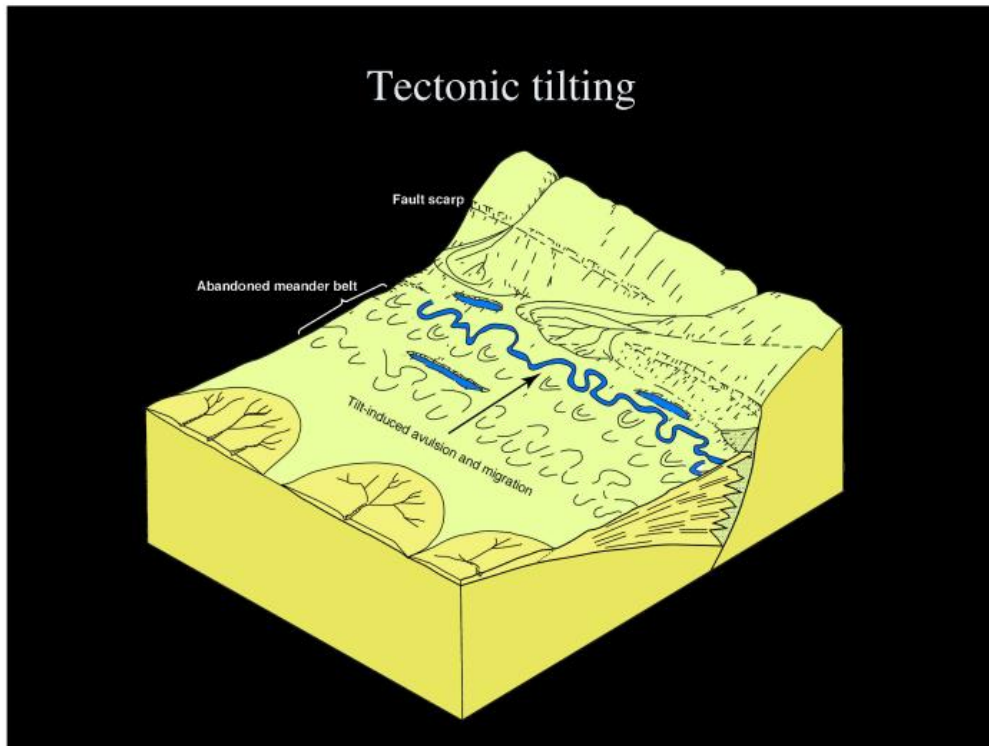
Profile



(c)

Odezva braided streams (C) (Ouchi, 1983)

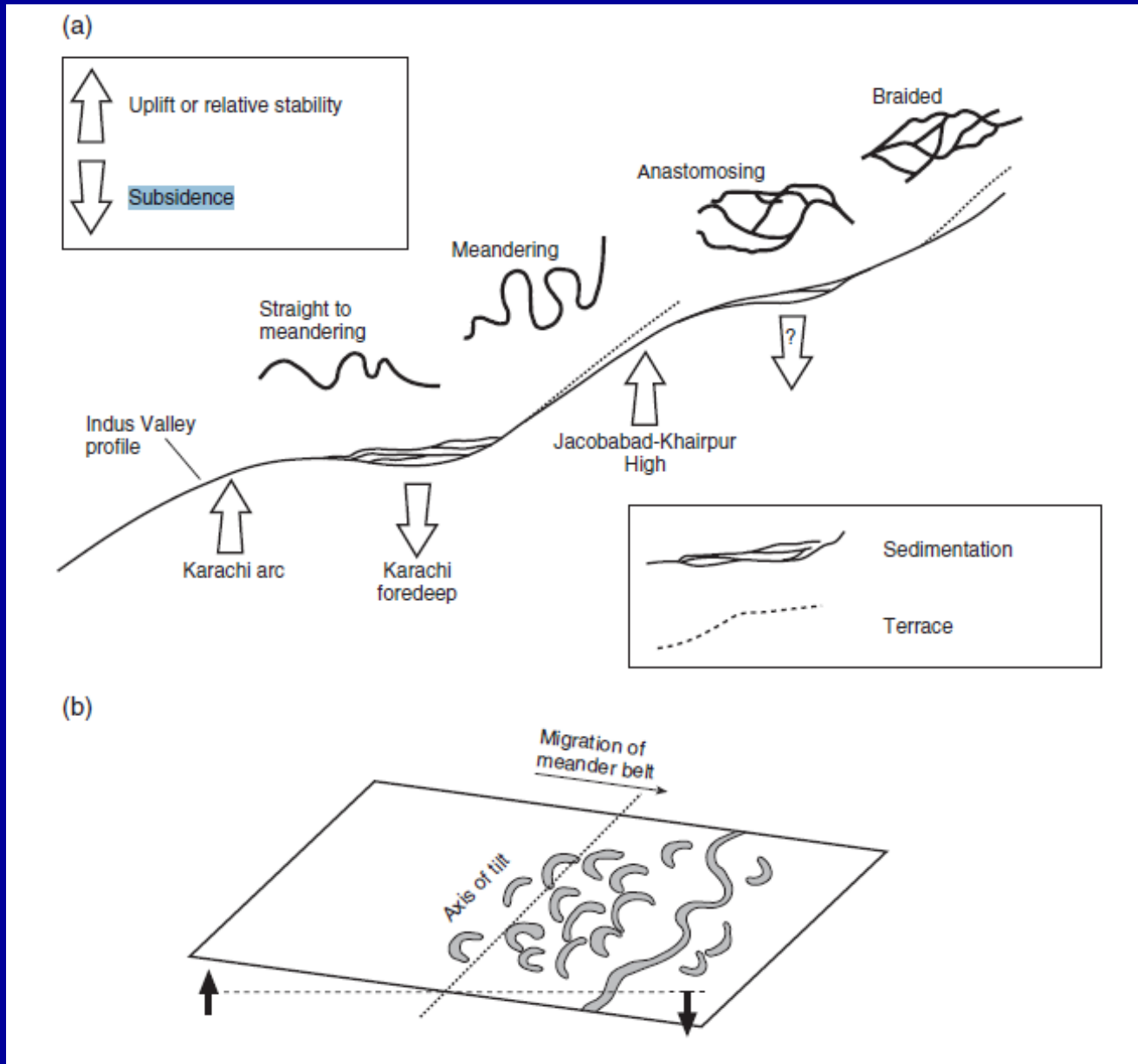
Odrázek tektonických procesů v říčním



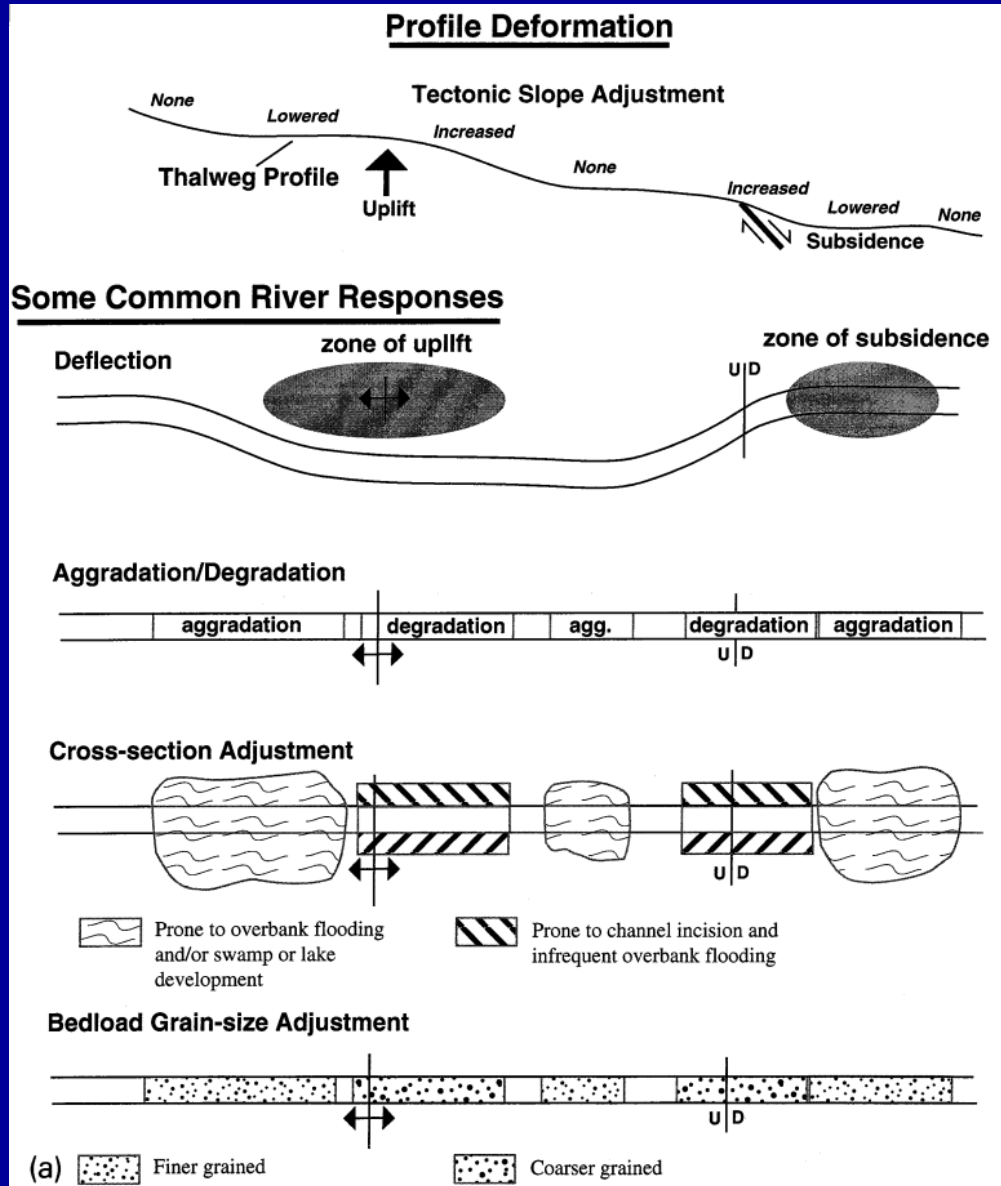
- A. Steady tilting with shrinkage of river size.
B. Steady tilting and migration. C. Abrupt tilting and avulsion across a floodplain. Modified after Alexander et al. (1994).

Odrázek tektonických procesů v říčním systému

Tectonically deformed river



Odraz tektonických procesů v říčním systému

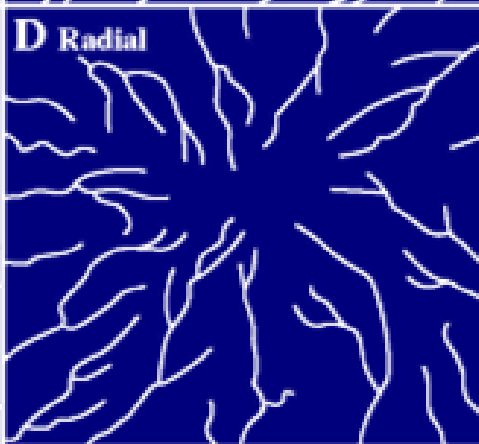
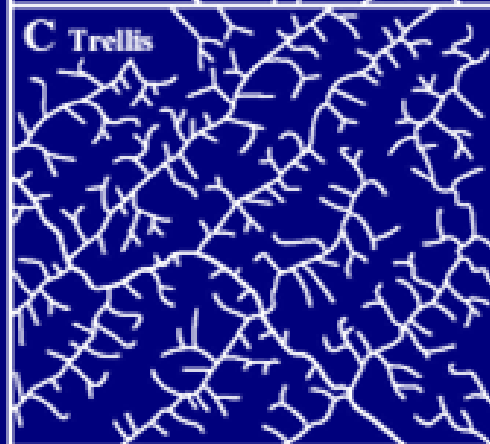
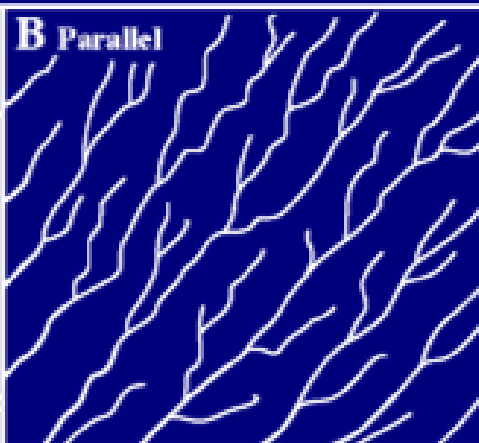
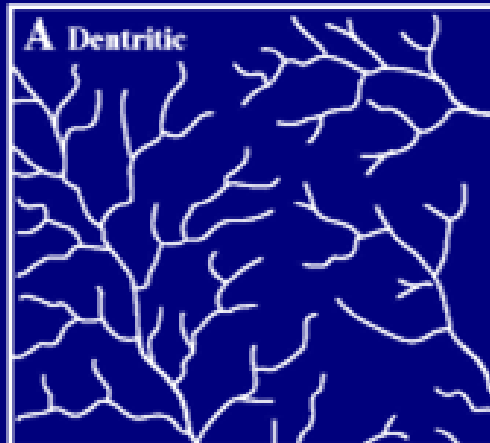


Odezvy toků na deformace v podélném profilu.

Odražení tektonických procesů v říčním systému

Říční síť

Changes in drainage and stream pattern



A Dendritic

B Parallel

C Trellis

D Radial

Dendritic

This drainage pattern forms on homogeneous bedrock or loose sediments in areas with gentle regional slopes.

Parallel

Parallel drainage pattern forms on steep slopes and where bedrock or landforms trend parallel to the regional slope.

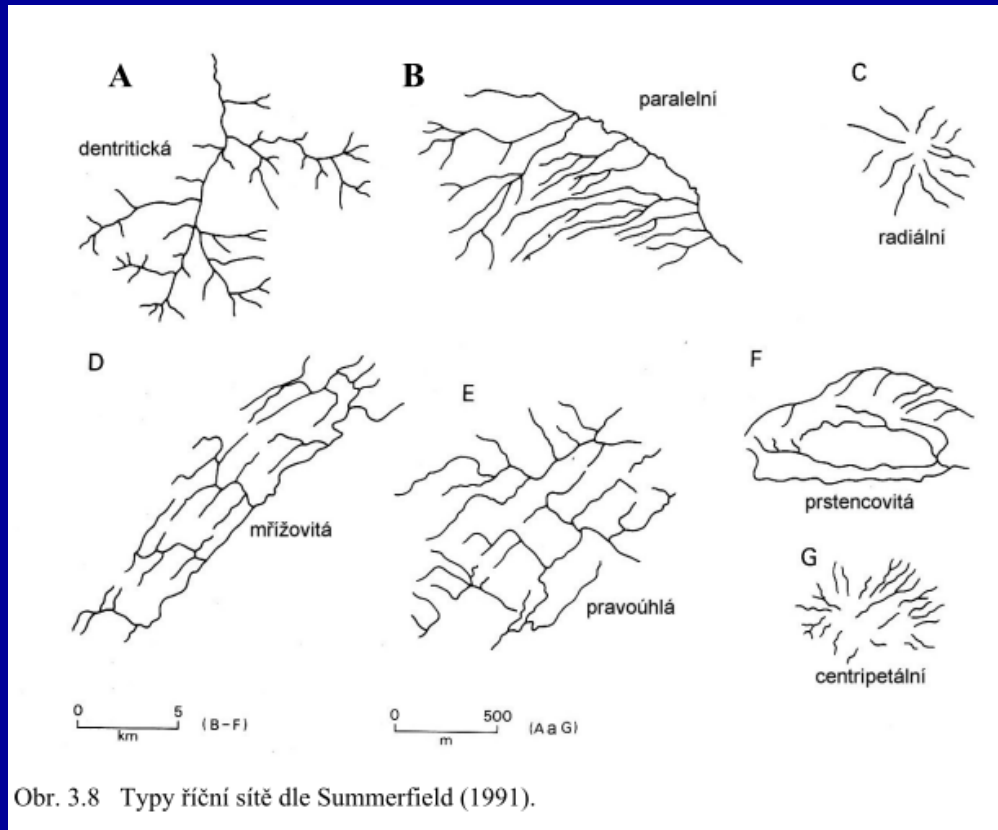
Trellis

Pattern forms where underlying rock has one or more planes of weakness oblique to regional slope, such as on folded sedimentary rocks, or where linear landforms like beach ridges control drainage.

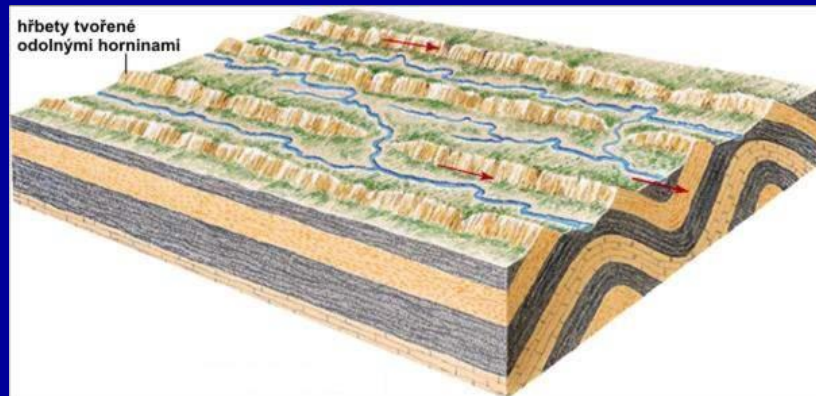
Radial

Pattern forms around structural high points such as volcanoes, salt domes, or tectonic upwarps.

Odraz tektonických procesů v říčním systému



Obr. 3.8 Typy říční sítě dle Summerfield (1991).



paralelní

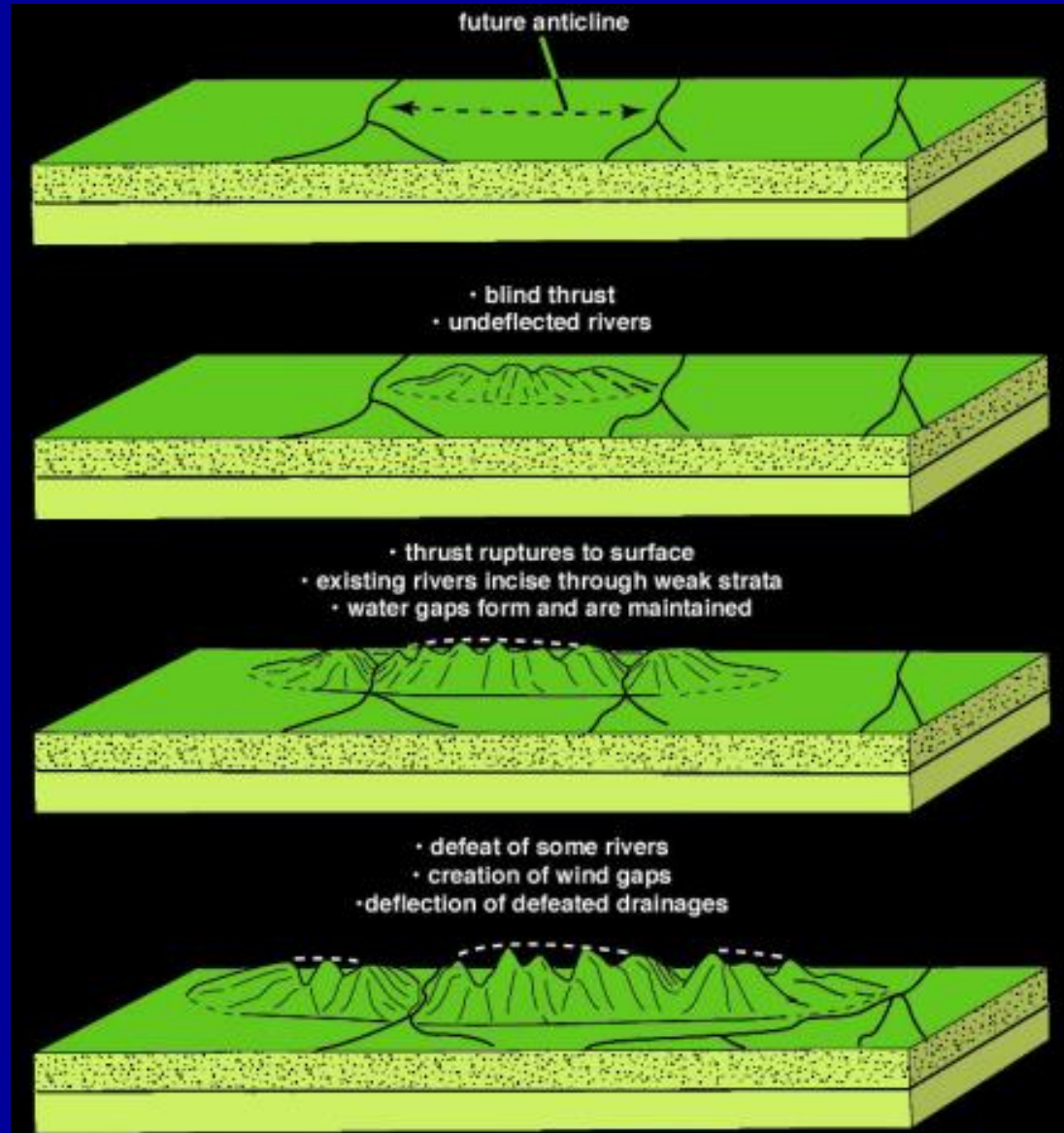
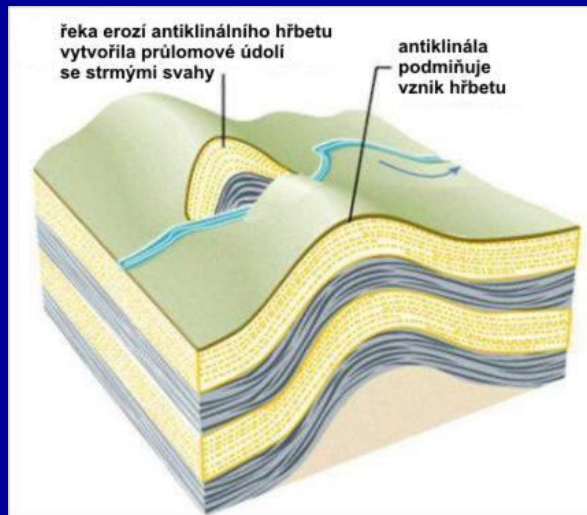


mřížkovitá

Odražení tektonických procesů v říčním systému

Změna říční sítě - odpověď na výzdvihy a erozní rozčlenění

- antecedentní údolí
 - water gap (průrva)
- opuštěná údolí
 - wind gap
- odklon toku (deflection)
- načepování – říční pirátsví



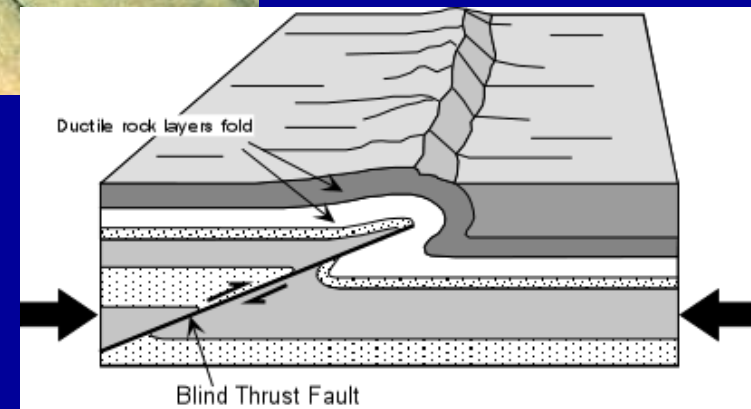
Odražení tektonických procesů v říčním systému



Active folding

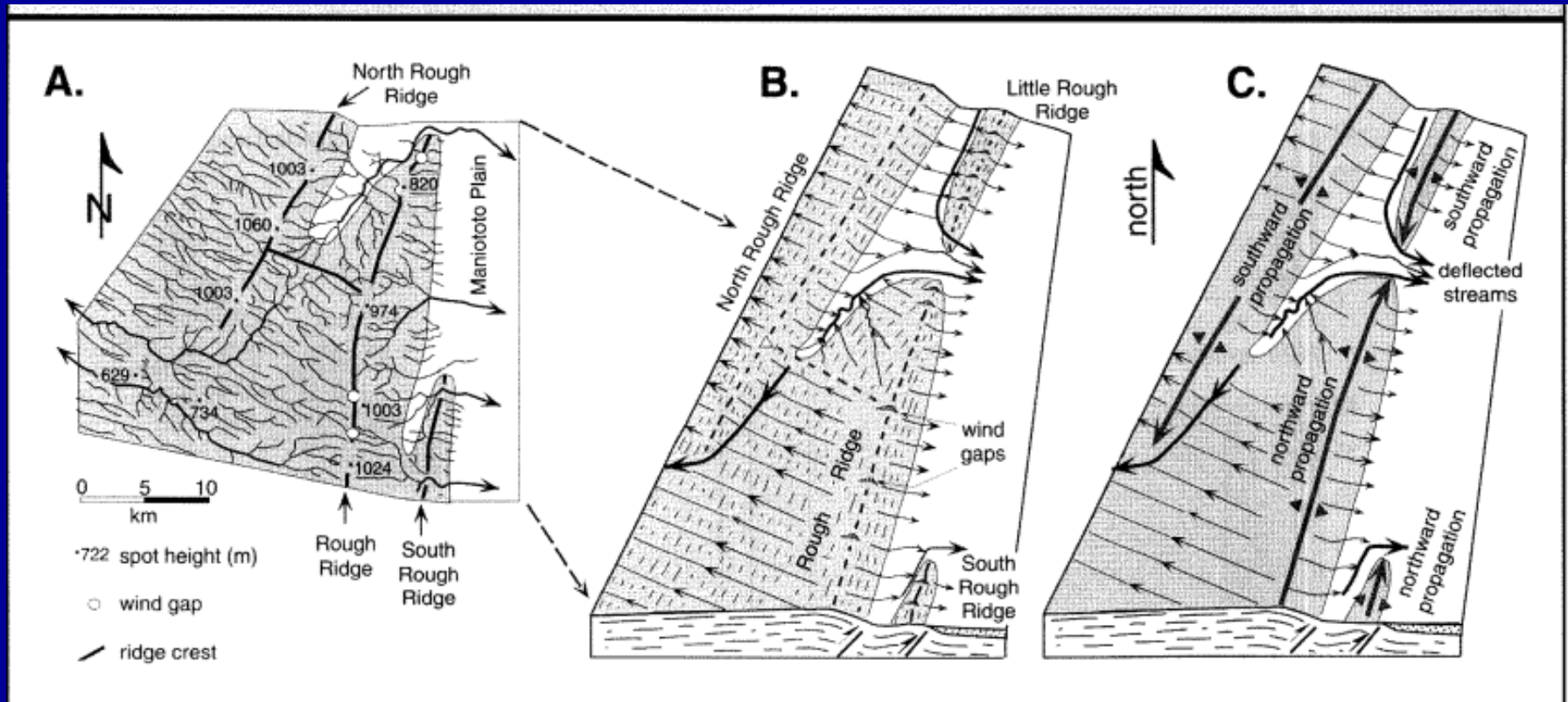
Fault-propagation fold
- fault related fold

„**Blind thrust fault**“ that does not rupture all the way up to the surface so there is no evidence of it on the ground. It is "buried" under the uppermost layers of rock in the crust.
„USGS“



Odraz tektonických procesů v říčním systému

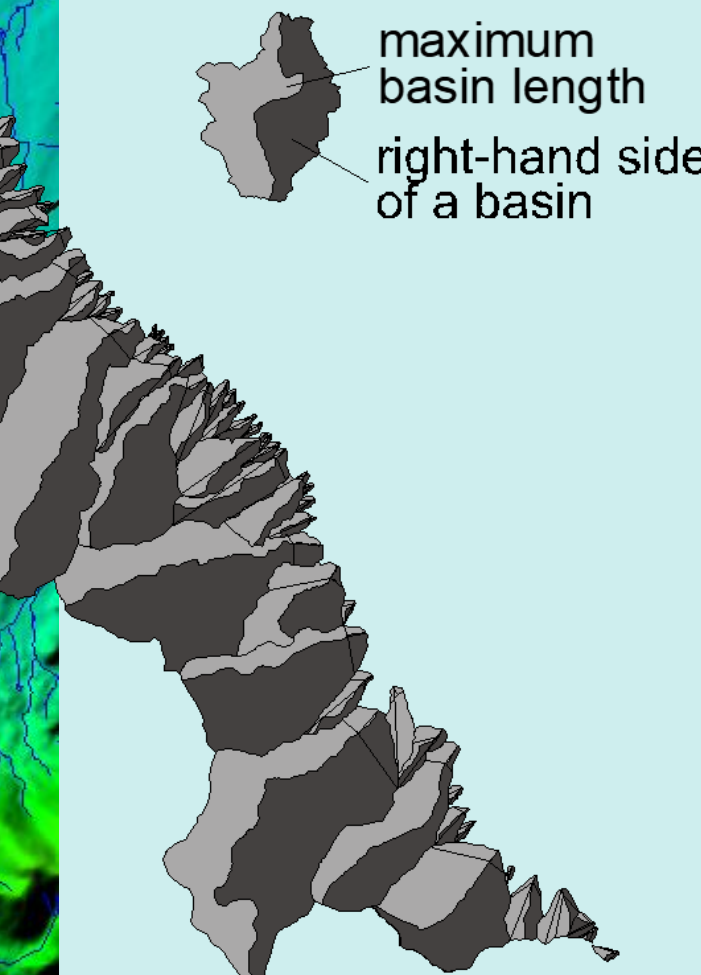
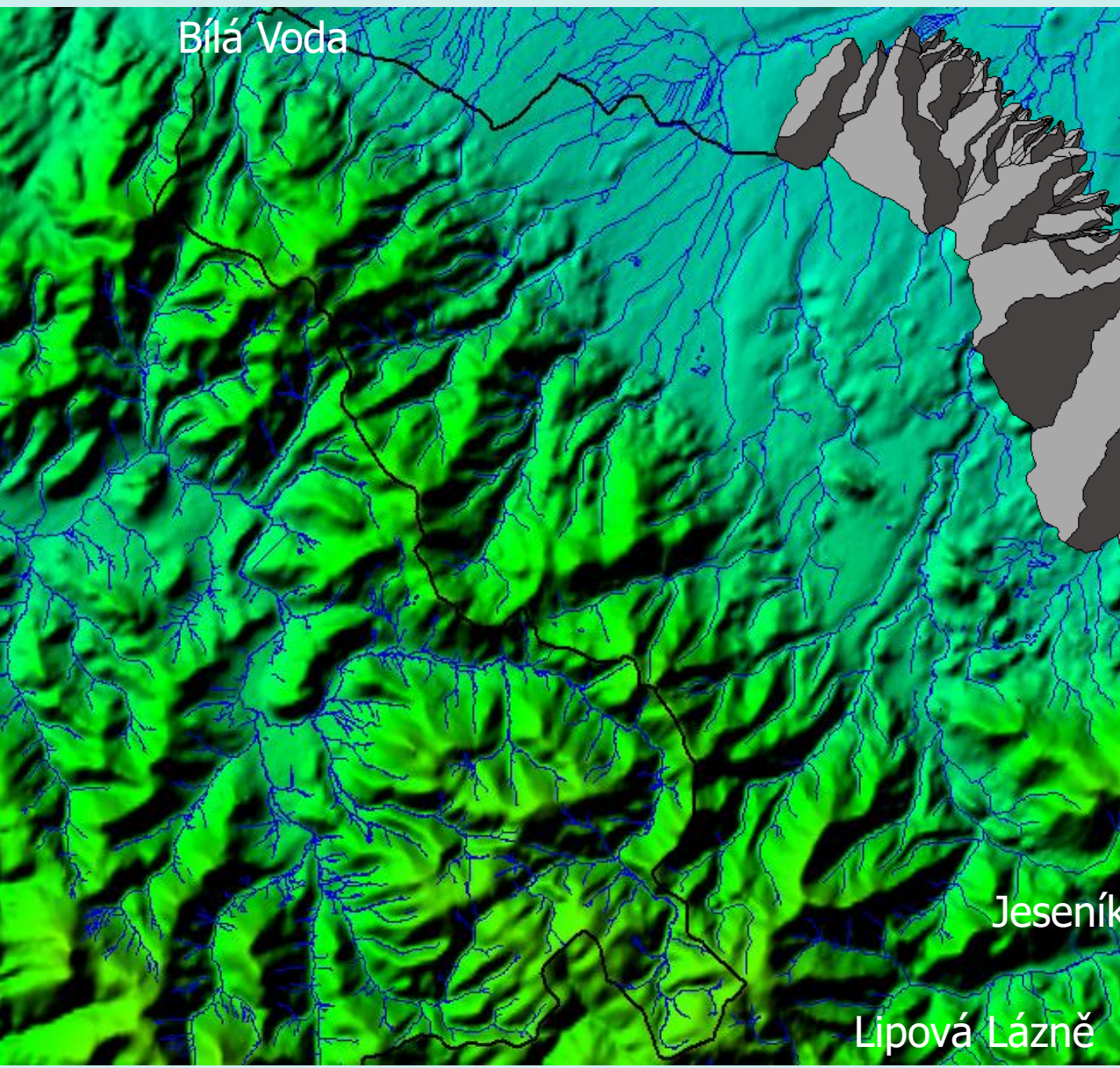
Asymetrie povodí v oblasti aktivní vrásno-zlomové tektoniky



Vrásová osa ukloněná – water gap snižuje se výška, odklonění toků u okraje vrásy

Odraz tektonických procesů v říčním systému

Bílá Voda



LIPOVÁ-LÁZ

Zlomové svahy, aktivní okraje pohoří

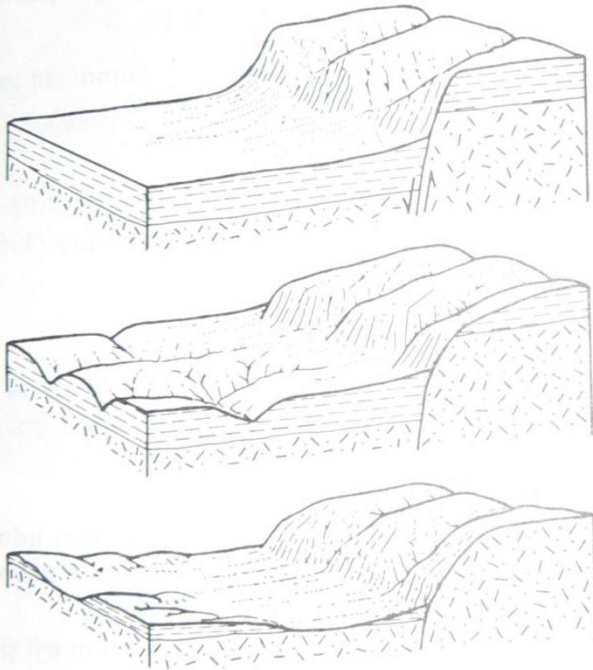
Zlomové svahy, svahy na zlomové čáře

Rysy vyskytující se u všech svahů vázaných na zlomy:

1. poměrně značný sklon svahu; je však třeba připomenout, že tento rys se může vyskytnout i u strukturních svahů, tj. terénních stupňů vázaných na odolnější horniny,
2. zlom při úpatí,
3. lichoběžníkové nebo trojúhelníkové facety na konci rozsoch mezi údolími rozrezávajícími svah; jak již bylo zdůrazněno, *facety* nejsou zbytky původní zlomové plochy,
4. poměrně přímý průběh svahu v půdorysu; zlomové svahy mohou být přirozeně i zvlněné, ale zpravidla probíhají přímočařejí než svahy strukturní nebo svahy vytvořené exogenními geomorfologickými pochody,
5. hluboko zaříznutá údolí tvaru V se skalními dny, které sahají až ke zlomu,
6. zvětšení sklonu dna údolí poblíž zlomu; zejména u aktivních zlomových svahů se zvětšuje spád vodního toku a údolí se zužuje,
7. údolí, která nesahají až k úpatí svahu, nýbrž jejich dna končí stupňovitě neboli visutě nad úpatím svahu (tzv. *visutá údolí*),
8. řady pramenů při úpatí svahů,
9. výlevy lávy podél zlomů při úpatí.

Další rysy, které se často vyskytují u svahů vázaných na zlomy, i když nejsou přímo dokladem zlomů, jsou tyto:

1. časté sesovy; sesovy jsou relativně rychlé, krátkodobé klouzavé pohyby hmot na svahu podle jedné nebo více smykových ploch, které jsou vyvolány působením zemské tíže,
2. výskyt výklenků, sedel a lomů spádu ve hřbetech bez zřetelné strukturní kontroly, tj. bez zřetelné závislosti na odolnosti hornin,
3. dlouhé, přímé a rovnoběžné úseky vodních toků, které probíhají přes horniny různé odolnosti,
4. pravoúhlé ohyby vodních toků; v místech ohybu vodní tok nezřídka přibírá přítok tekoucí v původním směru hlavního toku, jindy za rozvodím vzniká nový vodní tok, tekoucí ve směru hlavního vodního toku v sousedním povodí.



1



2

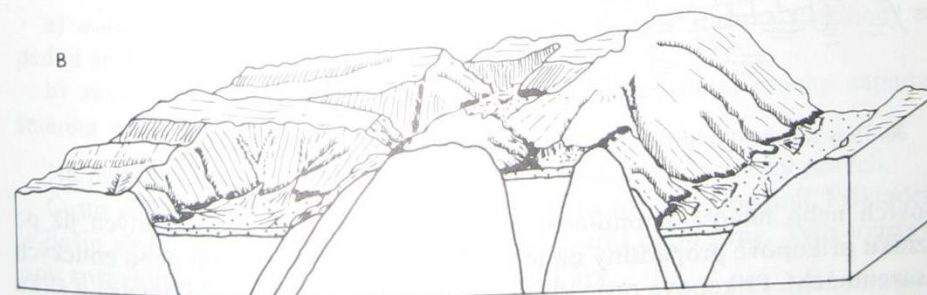
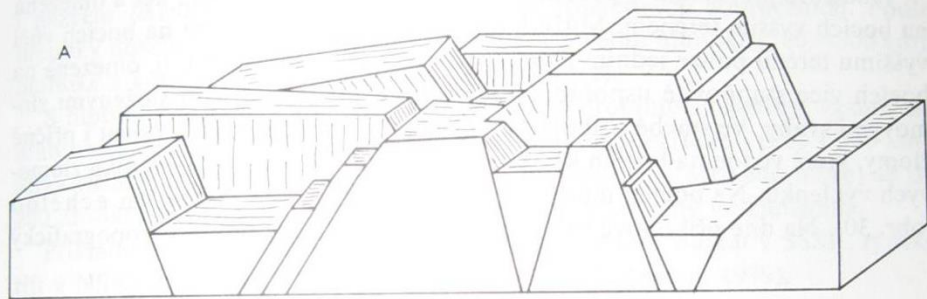


3

Zlom

Pouze u zlomových svahů se pak vyskytuje tyto rysy:

1. nezávislost svahu na geomorfologické odolnosti hornin; např. jestliže jsou na svahu méně odolné horniny než v nižším terénu nebo jsou-li jak na svahu, tak i v nižším terénu nekonsolidované horniny, můžeme plným právem pokládat terénní stupeň za zlomový svah,
2. výskyt malých prolomů při úpatí svahu; prolomy jsou tektonické sníženiny omezené zlomy,
3. výskyt jezer v místech, kde zlomový svah protíná údolí,
4. častá silná zemětřesení,
5. rozlámání staršího topografického povrchu, zejména můžeme-li dokázat, že stupeň porušil tvary nacházející se jak na vyzdviženém, tak i na pokleslému území, takže vznikla např. opuštěná údolí bez vodních toků,
6. rozlámání a deformace říčních teras (viz kapitolu Fluviální pochody).



29. Model vývoje tvarů vzniklých pohybem ker zemské kůry. Vysvětlivky: A — původní tvary

- hlavní rysy svahů vázaných na zlomy:
 - velký sklon
 - přímý průběh
 - nezávislost svahu na geomorfologické hodnotě hornin
 - hluboce zaříznutá údolí tvaru
- V porušující svah
- časté prameny při úpatí
 - vznik hrazených jezer
 - seismická aktivita

Zlomové svahy, aktivní okraje pohoří



► Aktivní okraj pohoří (mountain front)

- lineární (poklesové zlomy) nebo zvlněné (přesmyky)
- triangulární facety (*faceted spurs, flatirons*)
 - výzdvih, vzniku zlomového svahu, následné erozní rozčlenění
 - jejich báze - paralelní s průběhem zlomu (Cotton 1950; Bloom 1978; Stewart, Hancock 1990)
 - sklon facet - $25 - 35^\circ$ X sklon zlomu $50 - 90^\circ$ (Wallace 1978)
 - prostorové rozmístění – záleží na vývoji údolní sítě
 - stupňovité uspořádání facetovaných výběžků - výsledek
 - a) epizodického výzdvihu (Hamblin 1976; Anderson 1977)
 - b) distribuovaných pohybů podél paralelních zlomů v zóně hlavního zlomu omezujícího pohoří (Menges 1988; Zuchiewicz, McCalpin 2000)

Zlomové svahy, aktivní okraje pohoří



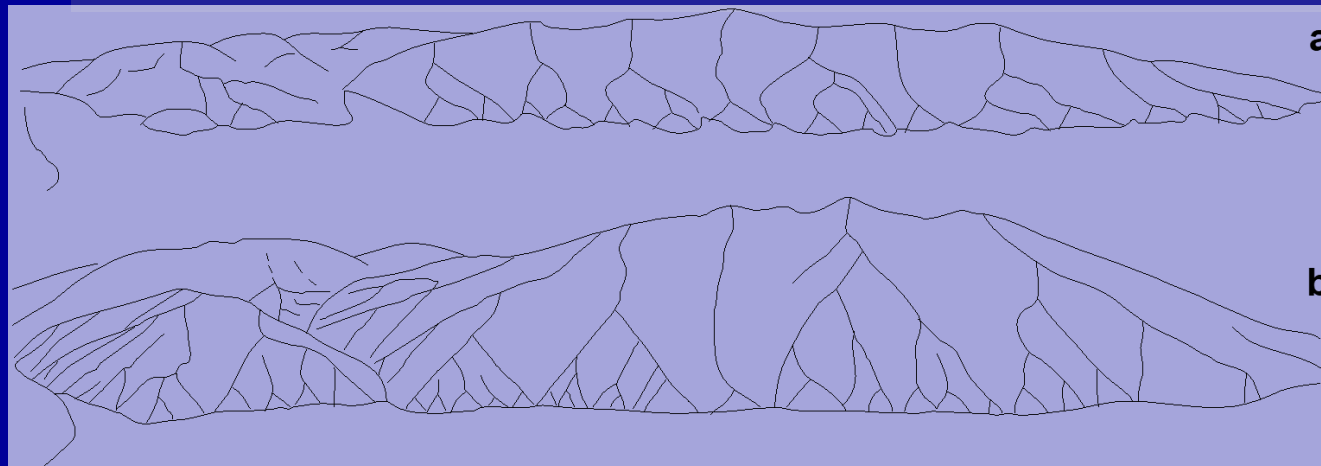
stupňovité uspořádání facet

Zlomové svahy, aktivní okraje pohoří

► Modelace facetovaných hřbetů - výsledek

a) fluviaální eroze současně působící s výzdvihem úpatní fronty
(Hamblin 1976; Wallace 1978)

b) zpětný ústup svahu, za přispění gravitačních svahových pohybů
(Anderson 1977)



**Spanish Fork –
segment zlomu
Wasatch
(Anderson 1977)**

a) paleogenní a
neogenní planace

b) současnost

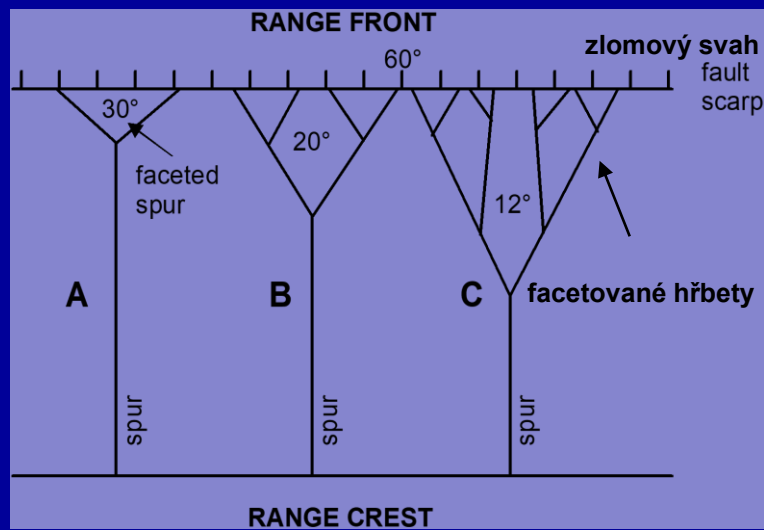
► Velikost facetovaných výběžků hřbetů - funkce vzdálenosti mezi hlavními

údolími rozčleňujícími úpatí pohoří a velikostí hřbetů mezi nimi

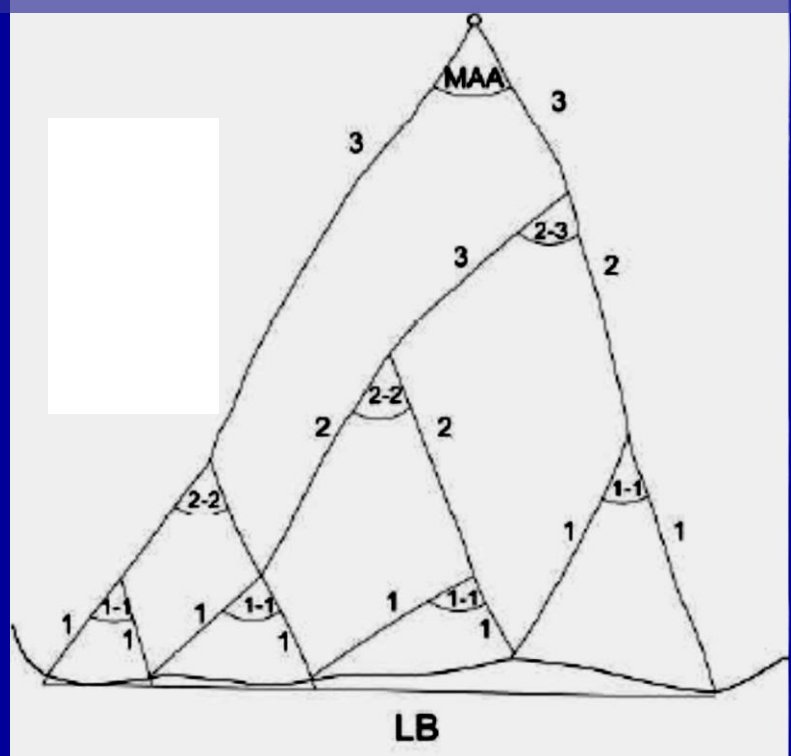
Zlomové svahy, aktivní okraje pohoří



Výška zlomového svahu, tzn. hřbetů zakončených facetou - funkce výzdvihu
průměrný sklon facety - rychlosť degradace svahu závislou na čase, různé
odolnosti podloží vůči erozi, úhlu mezi původním vyzdviženým svahem
a zlomovou plochou, šířce zlomové zóny (Wallace 1977)



vývoj facetovaných hřbetů s časem
ústup, snižování sklonu, rozčlenění



rozčlenění složeného facetovaného hřbetu
3 generace

Zlomové svahy, aktivní okraje pohoří

Facety Rychlebských hor

Studované segmenty – odlišná výška zlomového svahu (nadm. výška nejbližších elevací - zbytky facet)

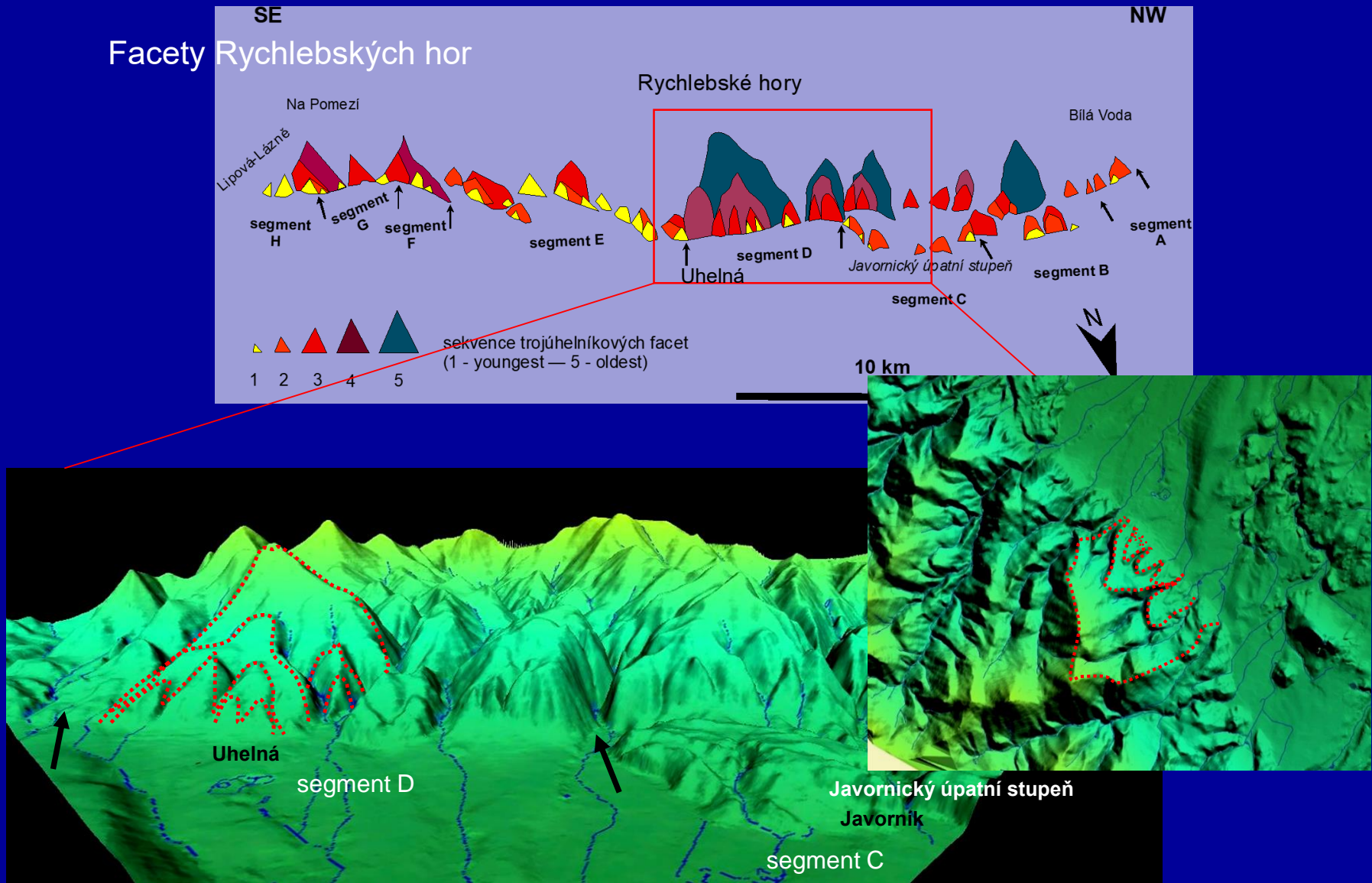
Trojúhelníkové či lichoběžníkové facety - dvou až pětistupňové (2 – 5 generací), podobně jako v polské části zlomové zóny OSZ a jsou tedy v různém stavu zachování a stupni erozního přemodelování (Badura et al. 2007).

Nejvyšší, tzn. nejvíce stupňové facety (5 generací) – Soví hory a Rychlebské hory (nejvýše vyzdvižené části okraj. sudet. zlomu)

Rychlebské hory – okolí Uhelné

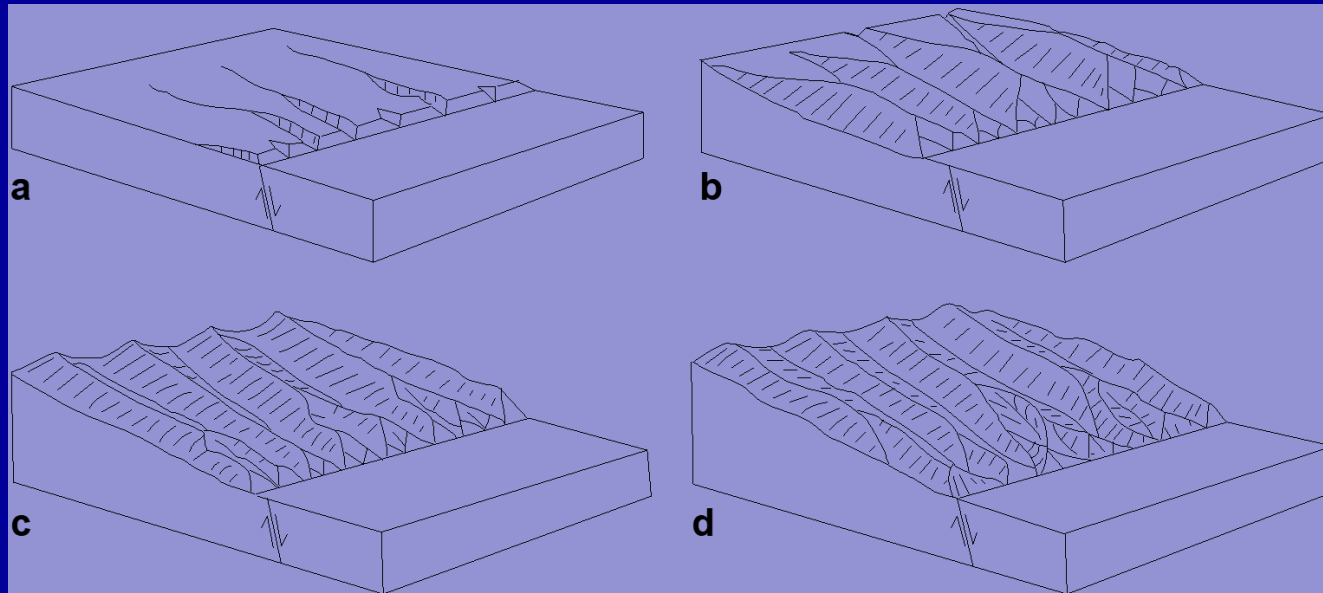
průměr. výška u facet – u 5 stupňových – 275m, 173m, 111m, 60m, 28m

Zlomové svahy, aktivní okraje pohoří



Zlomové svahy, aktivní okraje pohoří

Vývojová stádia složených facetovaných hřbetů



Anderson (1977)

Opakované epizodické pohyby – vznik

- n-set m vysoký zlomový svah,
- zlomově podmíněné okraje pohoří – 100ky km dlouhé,
až 1 km vysoké (Stewart, Hancock 1994)

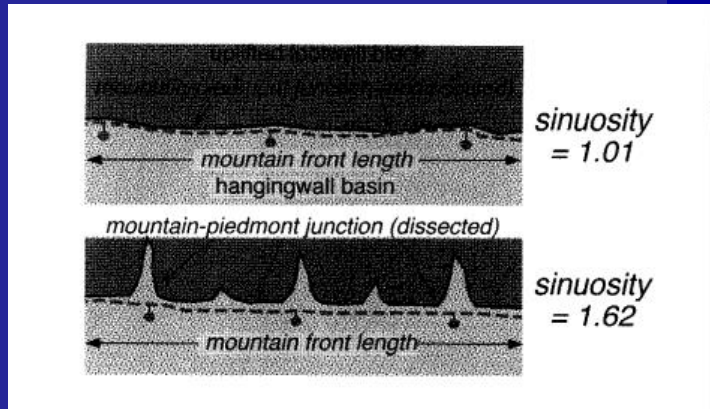
Zlomové svahy, aktivní okraje pohoří

Mountain front sinuosity index Smf (Bull, McFadden 1977)

$$Smf = (L_{mf})/(L_s)$$

L_{mf} - length of mountain front

L_s - straight-line length of mf



- stupeň rozčlenění dříve přímočarého úpatí vázaného na zlom

vyšší Smf – menší aktivita, více rozčleněné úpatí

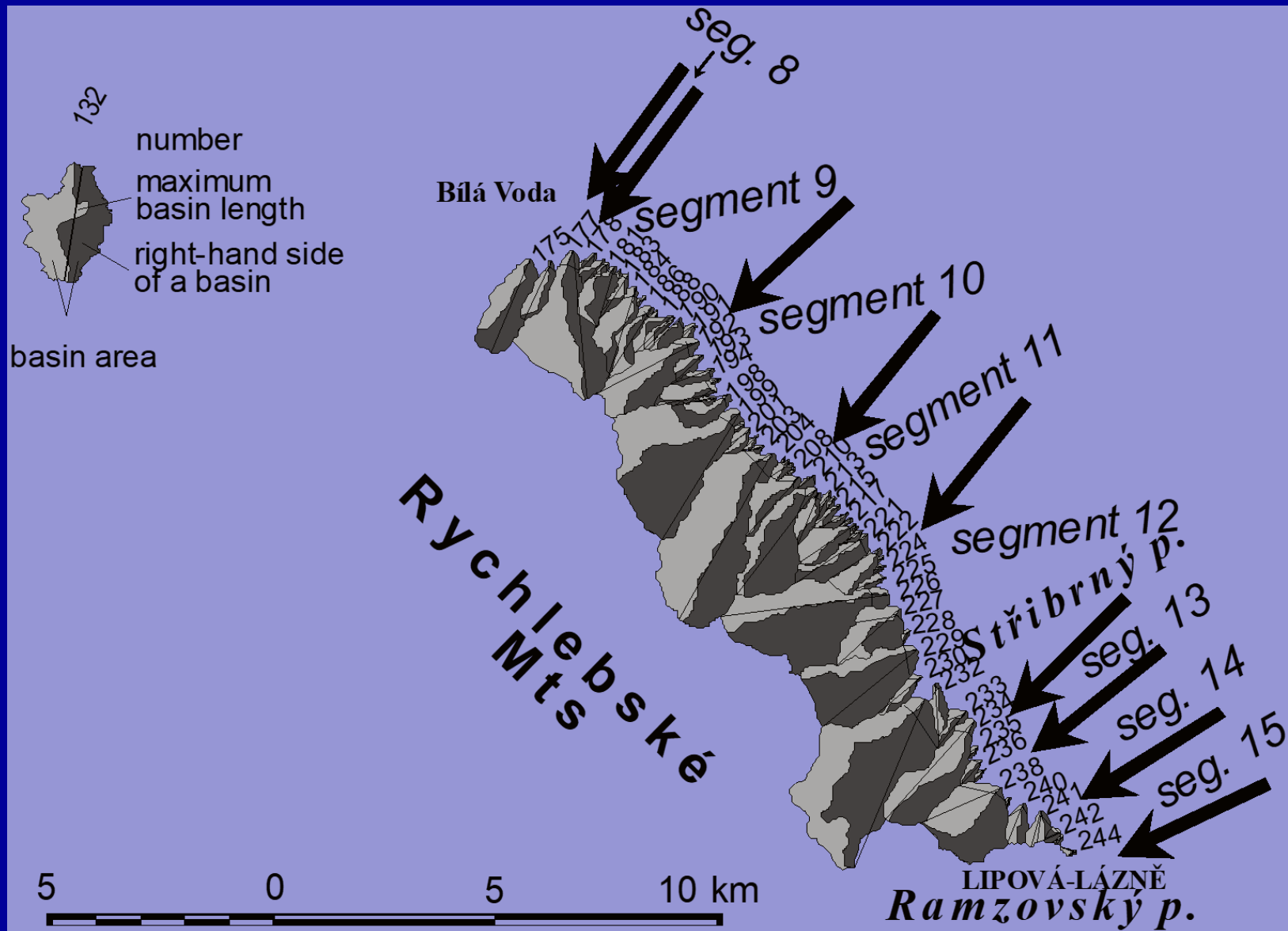
Smf index < 1,4 indikuje tektonicky aktivní okraj pohoří,

1,4 až 3 odrážejí menší aktivitu, avšak stále aktivní tektoniku,

> 3 již neaktivní okraj pohoří, svah erozí a denudací ustoupil min. 1km z původní pozice vázané na průběh zlomu (Keller, Pinter 2002)

Smf pro studované segmenty A – H: 1,013 až 1,11. Pro celý úsek OSZ včetně polské části průměr činí 1,051 což poukazuje na (!) relativně vysokou aktivitu a mladý výzdvih (viz Badura et al. 2007).

Zlomové svahy, aktivní okraje pohoří



Zlomové svahy, aktivní okraje pohoří

Parameter -

valley floor width - valley height ratio Vf (Bull, McFadden 1977)

$$Vf = 2Vfw / [(Eld - Esc) + (Erd - Esc)]$$

Vfw = valley width

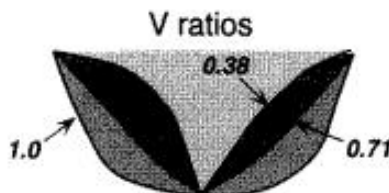
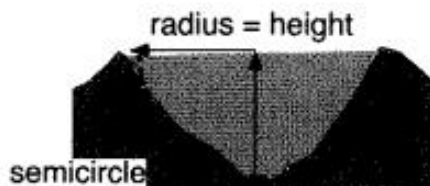
Eld , Erd , Esc = výška rozvodnic nad dnem údolí (pravá, levá část povodí)

nízké hodnoty (<1,0) - hluboká údolí s aktivně zahľubujícími se toky
(obvykle spojováno s výzdvihem)

Ve studovaném úseku OSZ: Vf pohybuje průměrně v daných segmentech
mezi 0,06 - 0,97.

Zlomové svahy, aktivní okraje pohoří

FIGURE 10.6. Measurements of valley shapes in foot-wall blocks



Top: Valley-floor width-to-height ratio. Middle: Parameters for calculating a “V ratio.” Bottom: Examples of V ratios for several valley shapes.

Morfologie zlomových svahů a jejich datování za použití difuzního modelu



Zlomové svahy

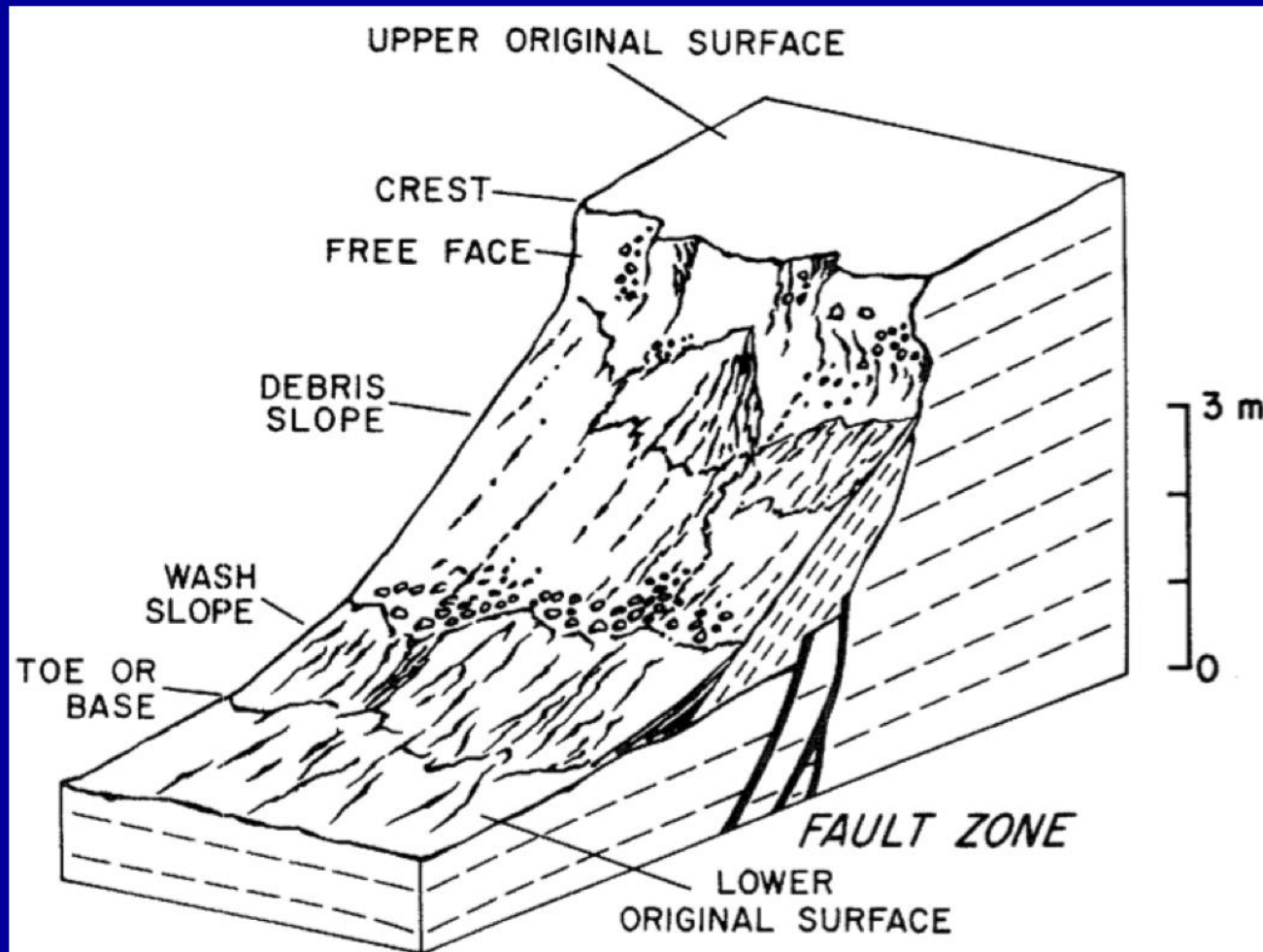
Zlomový svah

- Tektonický tvar reliéfu – zhruba koinciduje s plochou zlomu, který porušil zemský povrch
- Typy svahů
- Tvar svahu
- Difuzní model

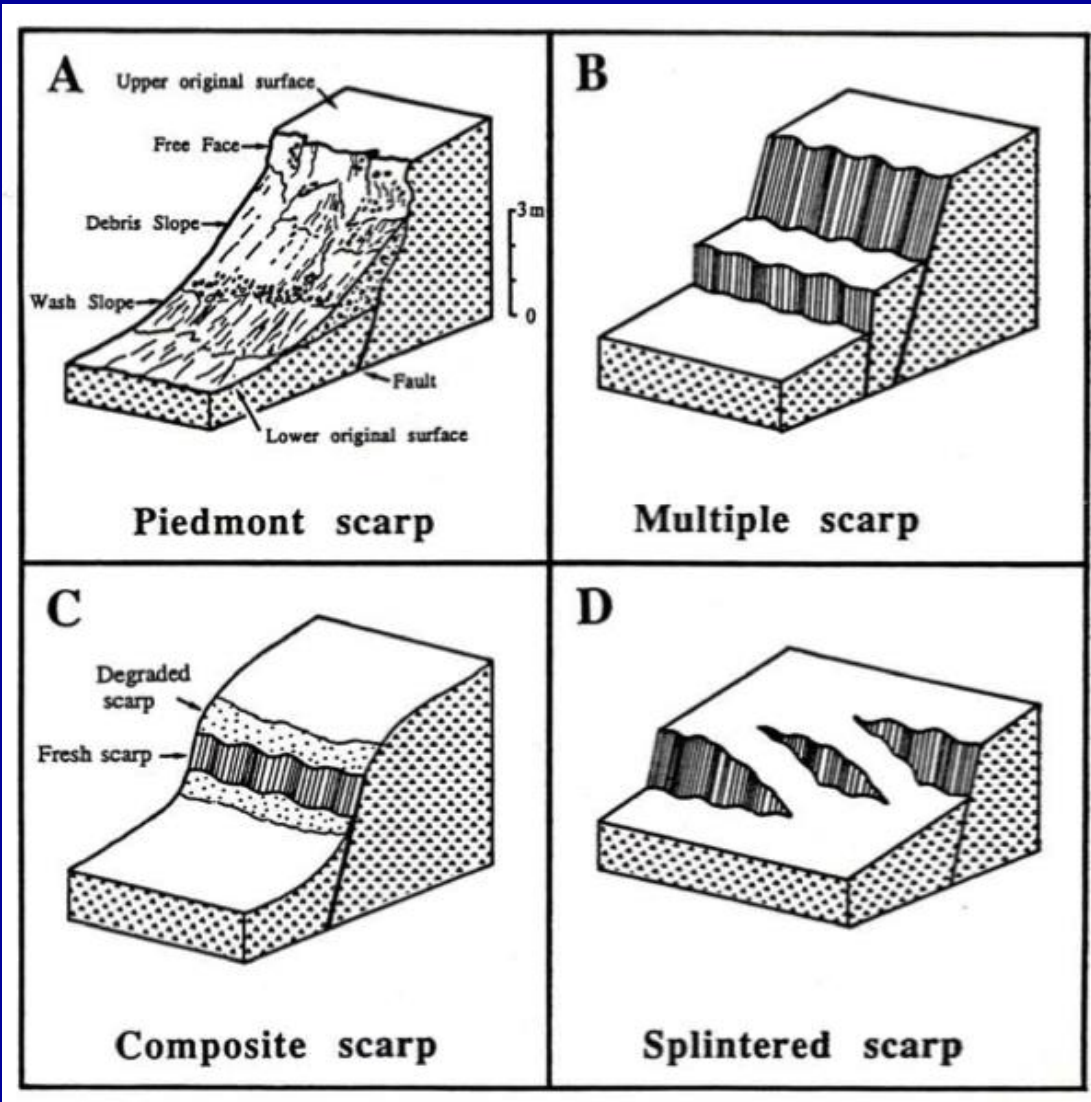
Zlomové svahy

Anatomie zlomového svahu

- *Toe a crest* - horní a spodní hrana zlomového svahu
- *Free face* - subvertikální část, obnažený zpevněný aluviaální kužel nebo svahoviny, vytvořená pohybem – může držet tvar – 10-1000 let
- *Debris slope* – osypový kužel akumulovaný pod free face gravitací
- *Wash slope* - část svahu při úpatí řízena fluviaální erozí nebo akumulací



Zlomové svahy



Piedmont scarp (úpatní scarp)

- vzniká v nezpevněných sedimentech jedním pohybem

Multiple scarp (n-násobný)

- vzniká na paralelních zlomech či větvích jednoho zlomu při jednom pohybu

Composite scarp (složený)

- vzniká obnovením pohybů pohybů a degradací předchozích free face

Splintered scarp (rozštěpený)

- vzniká při pohybu rozloženém na en échelon segmentech zlomu



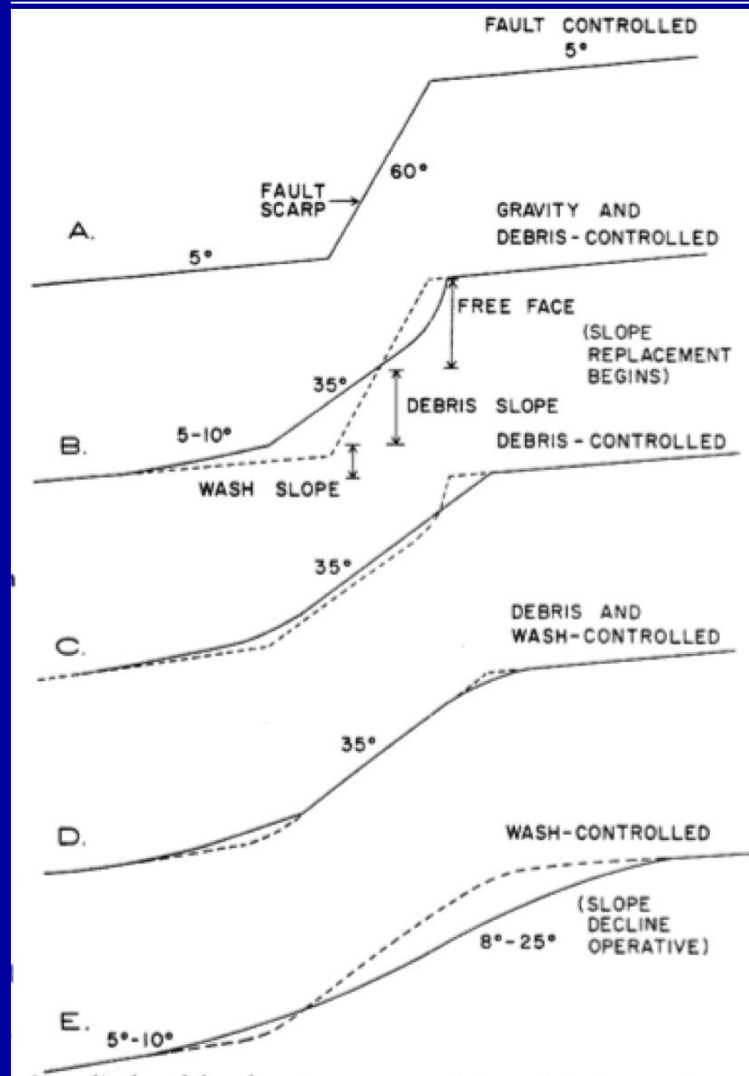
Ohlazy - striace



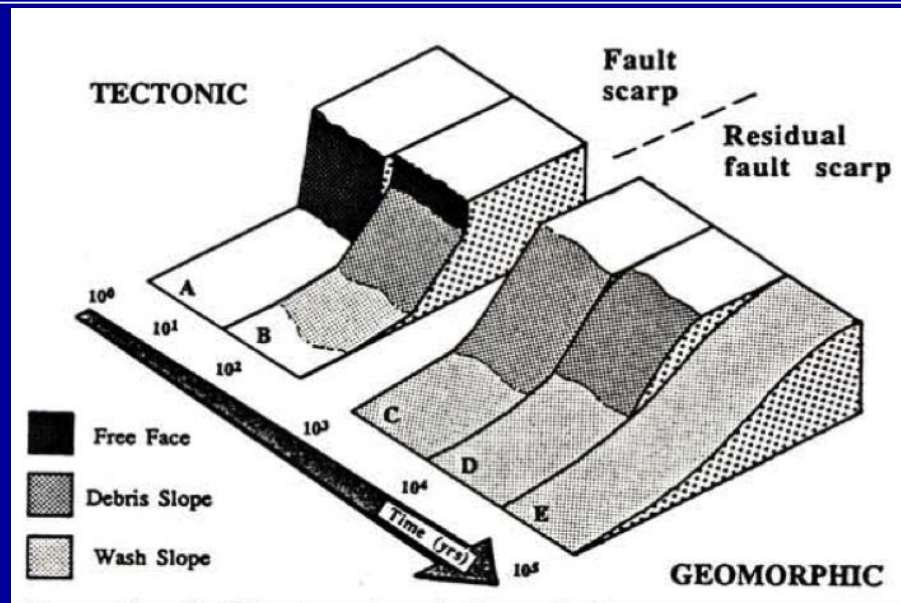
Piedmont scarp
Composite scarp



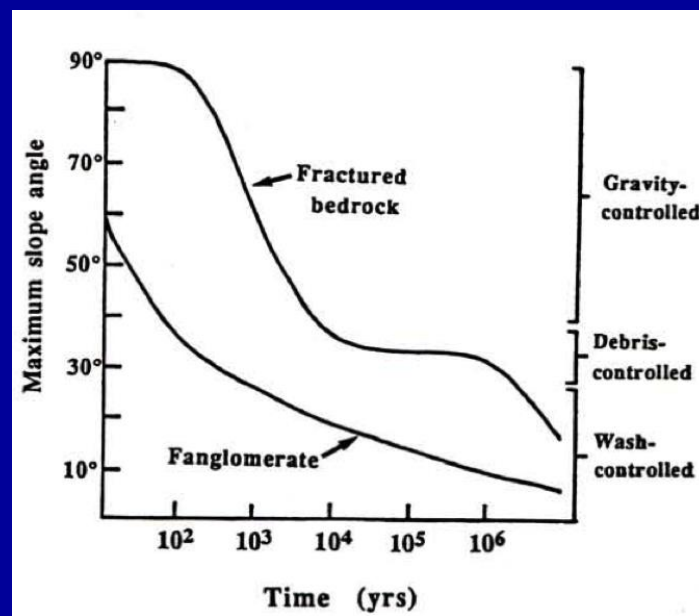
Degradace zlomového svahu



Wallace, 1977



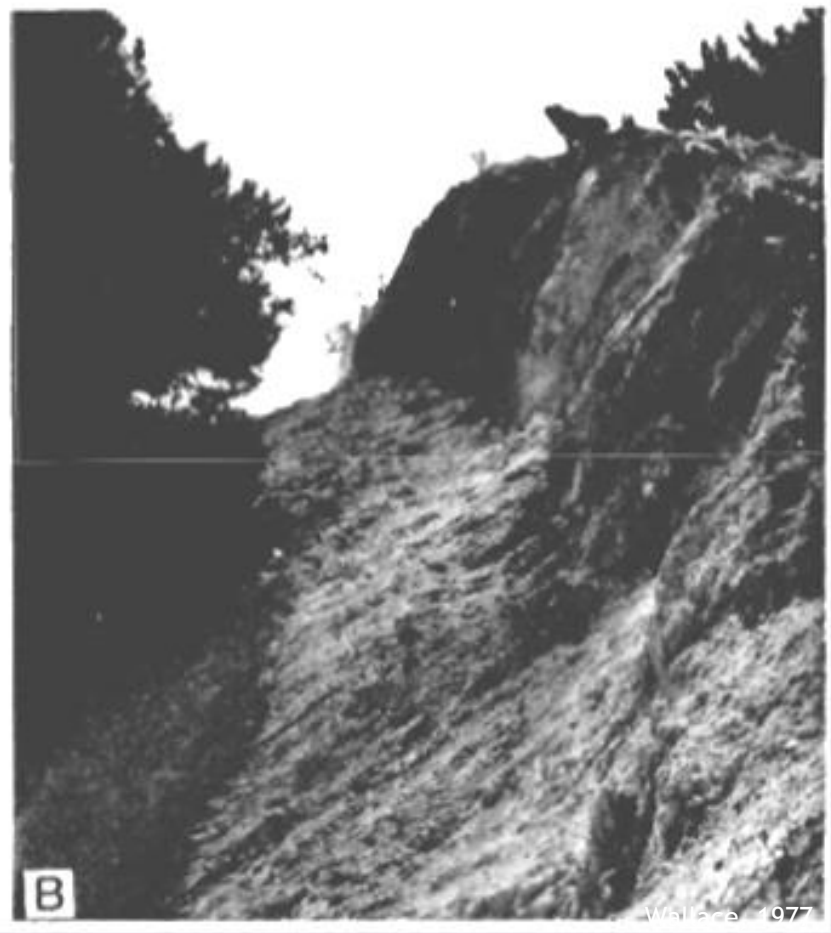
Stewart, Hancock, 1990



Wallace, 1977

Zlomové svahy

Fallon-Stillwater earthquake, July 6th, 1954 M 6.6



Wallace 1977

Pictures taken from 1954 and 1974 show several meters of retreat from the free face, forming a debris-slope.

Zlomové svahy



Hirschfeld



Cunningham



Faktory ovlivňující rychlosť degradace

- Klima
- Výška svahu
- Topografie – sklon svahu
- Litologie
- Vegetace
- Větrná eroze



literatura

Bezvodová B., Demek, J., Zeman, A. *Metody geologického a geomorfologického výzkumu*. Praha: SPN, 1985. 207 s.

Čapek, R. a kol. *Geografická kartografie*. 1. vydání. Praha: SPN, 1992. 373 s.

Doornkamp J.C., Ch. M. King *Numerical analysis in geomorphology*. 1. vydání. London: Edward Arnold, 1971. 372 s.

McCalpin J. (2009) Paleoseismology (2nd Edition), Academic Press.

Kunský, J., Louček, D., Sládek, J. *Praktikum fyzického zeměpisu*. 1. vydání. Praha: Nakladatelství Československé akademie věd, 1959. 266 s.

Morisawa, M. *Geomorphology - Laboratory manuals*. 1. vydání. New York: Wiley, 1976. 253 s.